

# WYNIKI CIĄGŁYCH POMIARÓW HAŁASU W ŚRODOWISKU

## DLA LOTNISKA CHOPINA W WARSZAWIE

Nazwa obiektu: Punkt pomiarowy nr 8 „Ursus”

Data wykonania pomiaru:

początek: 01 - 02 - 2023  
koniec: 28 - 02 - 2023

Lokalizacja punktu pomiarowego: Warszawa, ul. Sosnkowskiego 16

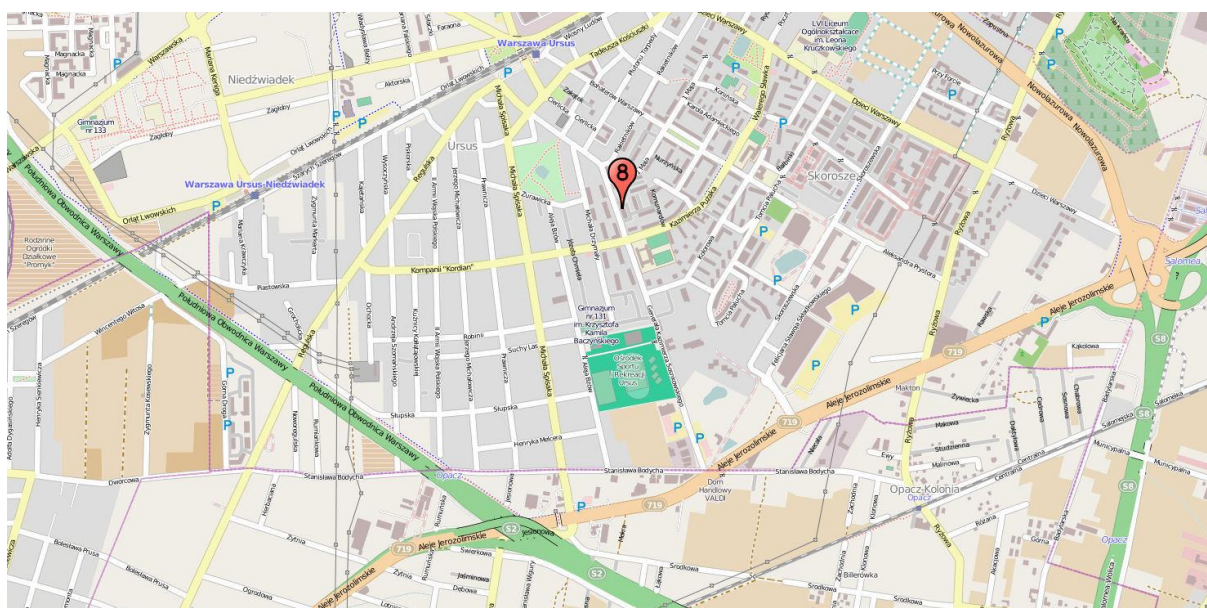
Układ współrzędnych: WGS 84

Szerokość geograficzna: N 52° 11' 27,9"

Długość geograficzna: E 20° 53' 19,9"

Względna wysokość punktu pomiarowego [m]: 20

### Lokalizacja na planie:



### Metoda badań:

Metoda ciągłych lub okresowych pomiarów monitoringowych: metodyka referencyjna, określona w załączniku nr 1 do rozporządzenia Ministra Środowiska z dnia 16.06.2011 w sprawie wymagań w zakresie prowadzenia pomiarów poziomów substancji lub energii w środowisku przez zarządzającego drogą, linią kolejową, linią tramwajową, lotniskiem, portem.

Metody obliczeniowe: jw.

### Aparatura pomiarowa:

Analizator poziomu dźwięku (producent; nr typu): Lochard, EMU-2

Mikrofon/sonda mikrofonowa (producent; nr typu): Lochard, 41DM-2

Świadectwo uwierzytelnienia nr 00027615/02/2021 z dnia 23.06.2021r. wydane przez Laboratorium Akredytowane Nr AP 146

Wzorzec akustyczny (producent; nr typu): Brüel & Kjær; 4228

**Równoważny poziom dźwięku w porze dnia i w porze nocy  
w odniesieniu do jednej doby, wg wskaźników  $L_{AeqD}$  i  $L_{AeqN}$   
powodowany przez starty, lądowania i przeloty statków  
powietrznych**

Dzień miesiąca/ Luty 2023 r.	Równoważny poziom dźwięku	
	Pora dnia $L_{AeqD}$ w dB	Pora nocy $L_{AeqN}$ w dB
1	57,6	49,4
2	57,8	50,5
3	57,8	53,2
4	57,0	47,4
5	57,6	50,6
6	57,6	51,7
7	57,6	51,7
8	57,1	51,2
9	56,8	51,5
10	58,0	51,3
11	56,4	47,6
12	57,5	51,1
13	57,9	50,2
14	57,0	51,1
15	56,0	52,0
16	58,0	52,0
17	57,6	49,2
18	57,5	48,1
19	58,6	50,7
20	57,3	49,0
21	57,4	51,3
22	57,9	54,1
23	57,9	51,7
24	58,4	51,3
25	57,4	48,2
26	57,8	50,1
27	58,1	50,9
28	57,3	51,0

Zgodnie z art. 112a ustawy – Prawo ochrony środowiska oraz rozporządzeniem Ministra Środowiska z dnia 16 czerwca 2011 r. *w sprawie wymagań w zakresie prowadzenia pomiarów poziomów substancji lub energii w środowisku przez zarządzającego drogą, linią kolejową, linią tramwajową, lotniskiem lub portem*, do ustalania i kontroli warunków korzystania ze środowiska mają zastosowanie wskaźniki hałasu odnoszące się do jednej doby:

- $L_{AeqD}$  – równoważny poziom dźwięku A dla pory dnia (rozumianej jako przedział czasu od godz. 6.00 do godz. 22.00),
- $L_{AeqN}$  – równoważny poziom dźwięku A dla pory nocy (rozumianej jako przedział czasu od godz. 22.00 do godz. 6.00).

Wyznaczone wartości tych wskaźników dla poszczególnych dni i nocy w lutym 2023 podano w tabeli powyżej.

W tabelach poniżej podano zestawienia zdarzeń akustycznych zarejestrowanych w punkcie pomiarowym, na podstawie których wyznaczono wartości wskaźników  $L_{AeqD}$  i  $L_{AeqN}$  dla poszczególnych dni i nocy w miesiącu.

**Zestawienie zdarzeń akustycznych spowodowanych przelotami statków powietrznych w porze dnia ( przedział czasu pomiędzy godz. 06.00 – 22.00 )**

Nr punktu pomiarowego	Data i godz. zdarzenia	Samolot	Operacja*	$L_{Aeq}$	$L_{Amax}$	$L_{AE}$
				[dB]	[dB]	[dB]
8	01-02-2023 06:03:18	B38M	D	67,9	69,8	81,3
8	01-02-2023 06:09:56	B738	D	70,4	73,5	85,6
8	01-02-2023 06:11:44	A21N	D	68,7	70,9	82,7
8	01-02-2023 06:13:48	A321	D	68,7	71,4	80,5
8	01-02-2023 06:37:35	A321	D	69,3	72,2	84,4
8	01-02-2023 06:41:43	A320	D	67,1	70,2	77,5
8	01-02-2023 06:52:08	E195	D	66,8	68,4	78,2
8	01-02-2023 06:53:53	A321	D	68,3	72,2	83,7
8	01-02-2023 07:09:15	A21N	D	67,4	69,3	79,1
8	01-02-2023 07:20:30	E195	D	67,4	70,8	81,0
8	01-02-2023 07:23:38	E190	D	67,3	69,5	79,0
8	01-02-2023 07:29:10	A321	D	70,3	75,0	86,3
8	01-02-2023 07:31:11	E195	D	70,0	72,7	83,8
8	01-02-2023 07:33:23	E75S	D	70,6	73,8	84,0
8	01-02-2023 07:35:28	A320	D	70,2	72,7	83,6
8	01-02-2023 07:37:09	E195	D	70,3	75,0	83,9
8	01-02-2023 07:41:59	E195	D	70,4	73,8	83,8
8	01-02-2023 07:43:41	E190	D	68,4	71,6	82,0
8	01-02-2023 07:45:55	E75S	D	69,0	72,2	81,5
8	01-02-2023 07:47:41	E75S	D	68,2	70,0	81,4
8	01-02-2023 07:52:11	B38M	D	67,5	69,7	80,7
8	01-02-2023 07:54:21	E195	D	70,6	74,1	84,6
8	01-02-2023 07:57:51	E190	D	70,3	74,5	83,9
8	01-02-2023 07:59:27	E190	D	69,3	72,1	82,8
8	01-02-2023 08:01:09	A320	D	68,2	70,0	82,2
8	01-02-2023 08:02:50	E170	D	67,6	70,0	81,0
8	01-02-2023 08:04:34	E195	D	69,8	73,2	84,9
8	01-02-2023 08:06:17	B738	D	72,3	76,8	87,3
8	01-02-2023 08:10:51	E190	D	72,1	75,4	85,4
8	01-02-2023 08:14:15	E170	D	70,3	73,7	84,6
8	01-02-2023 09:10:07	E190	D	68,8	71,7	83,4
8	01-02-2023 09:24:02	E170	D	67,3	70,6	80,1
8	01-02-2023 09:27:58	E190	D	68,9	71,2	82,5
8	01-02-2023 09:30:17	B38M	D	68,5	70,2	80,2
8	01-02-2023 09:43:14	A21N	D	68,6	71,1	81,8
8	01-02-2023 09:56:21	E170	D	68,9	70,3	82,6
8	01-02-2023 10:08:15	B738	D	69,4	72,1	84,9
8	01-02-2023 10:12:23	CRJ9	D	68,6	71,5	82,0
8	01-02-2023 10:18:45	E195	D	67,7	69,7	79,5
8	01-02-2023 10:25:03	E75S	D	66,9	69,3	80,4
8	01-02-2023 10:32:13	B738	D	72,2	75,3	85,9
8	01-02-2023 10:34:19	E75S	D	68,4	71,1	81,4
8	01-02-2023 10:35:59	E75S	D	69,8	73,5	83,8
8	01-02-2023 10:40:29	E75S	D	68,4	72,0	81,8
8	01-02-2023 10:42:37	E190	D	69,9	73,4	82,9
8	01-02-2023 10:50:58	E190	D	69,2	72,7	81,8
8	01-02-2023 10:53:56	E75S	D	67,7	70,3	81,3
8	01-02-2023 10:55:33	E190	D	72,5	77,1	86,4
8	01-02-2023 10:56:59	E75S	D	68,4	70,1	80,4
8	01-02-2023 10:58:38	E195	D	68,7	72,0	82,2
8	01-02-2023 11:09:07	E75S	D	69,1	72,2	81,9
8	01-02-2023 11:24:57	A21N	D	68,3	70,3	82,3
8	01-02-2023 11:26:38	B38M	D	67,2	69,7	80,0
8	01-02-2023 11:29:44	E75S	D	70,4	74,4	84,3

Nr punktu pomiarowego	Data i godz. zdarzenia	Samolot	Operacja*	$L_{Aeq}$	$L_{Amax}$	$L_{AE}$
				[dB]	[dB]	[dB]
8	01-02-2023 11:41:40	E195	D	69,6	73,9	84,1
8	01-02-2023 11:47:01	E170	D	67,3	68,8	78,4
8	01-02-2023 12:06:14	A321	D	68,9	73,0	83,9
8	01-02-2023 12:10:41	B738	D	67,2	70,1	78,3
8	01-02-2023 12:12:48	E170	D	71,4	74,3	84,2
8	01-02-2023 12:51:38	B738	D	71,5	76,0	85,1
8	01-02-2023 12:56:43	A321	D	69,2	72,2	82,5
8	01-02-2023 12:59:06	A321	D	69,3	72,0	83,8
8	01-02-2023 13:01:06	A321	D	71,4	75,5	86,6
8	01-02-2023 13:08:42	E195	D	69,7	73,6	82,7
8	01-02-2023 13:13:49	E190	D	70,6	73,5	85,4
8	01-02-2023 13:19:45	A320	D	67,3	69,7	79,1
8	01-02-2023 13:26:01	E190	D	68,2	70,3	82,1
8	01-02-2023 13:28:37	E75S	D	69,1	72,8	83,2
8	01-02-2023 13:31:40	E170	D	69,2	72,4	82,6
8	01-02-2023 13:34:17	E195	D	70,1	73,6	83,5
8	01-02-2023 13:35:45	E190	D	68,2	71,1	81,0
8	01-02-2023 13:40:11	B77W	D	71,9	74,6	86,5
8	01-02-2023 13:43:58	A319	D	69,6	72,3	83,4
8	01-02-2023 13:45:54	E170	D	68,9	72,1	81,9
8	01-02-2023 13:49:01	E190	D	69,2	72,2	82,0
8	01-02-2023 14:25:56	E190	D	72,5	76,0	85,3
8	01-02-2023 14:29:46	E75S	D	70,2	72,8	83,0
8	01-02-2023 14:46:24	B38M	D	69,1	71,3	82,3
8	01-02-2023 14:52:14	E170	D	69,6	71,6	82,9
8	01-02-2023 14:55:44	E75S	D	72,4	76,4	86,4
8	01-02-2023 14:57:08	A320	D	69,3	73,8	82,4
8	01-02-2023 14:58:56	E75S	D	69,7	71,9	83,7
8	01-02-2023 15:19:56	E190	D	68,4	71,8	81,8
8	01-02-2023 15:21:25	E75S	D	69,4	72,0	82,8
8	01-02-2023 15:49:00	E170	D	69,9	74,7	83,5
8	01-02-2023 15:50:56	B38M	D	67,0	69,6	80,6
8	01-02-2023 15:53:43	GLEX	D	69,8	73,4	85,2
8	01-02-2023 15:55:35	E75S	D	72,2	75,8	86,1
8	01-02-2023 15:57:59	B788	D	68,2	71,8	81,8
8	01-02-2023 16:02:57	E190	D	69,2	70,6	81,8
8	01-02-2023 16:11:20	E195	D	73,1	77,9	86,5
8	01-02-2023 16:13:03	E75S	D	67,4	69,9	79,7
8	01-02-2023 16:16:26	A21N	D	68,2	70,6	79,0
8	01-02-2023 16:30:42	E195	D	68,0	71,3	82,2
8	01-02-2023 16:42:33	E195	D	71,2	75,0	83,5
8	01-02-2023 16:48:11	E75S	D	73,5	77,3	87,5
8	01-02-2023 16:53:11	PRM1	D	66,9	68,7	80,5
8	01-02-2023 16:57:34	E195	D	69,9	73,7	83,9
8	01-02-2023 17:01:57	E195	D	69,9	72,6	84,0
8	01-02-2023 17:04:17	E75S	D	69,8	72,8	82,8
8	01-02-2023 17:06:08	E170	D	68,6	70,9	82,9
8	01-02-2023 17:08:05	E170	D	69,3	72,2	82,0
8	01-02-2023 17:10:45	E190	D	69,9	72,2	83,3
8	01-02-2023 17:13:34	E195	D	74,9	80,4	88,1
8	01-02-2023 17:25:18	E190	D	70,9	73,5	83,7
8	01-02-2023 17:26:41	E75S	D	68,7	71,5	82,2
8	01-02-2023 17:30:01	E170	D	68,2	70,2	81,0
8	01-02-2023 17:35:51	E195	D	69,6	72,9	83,4
8	01-02-2023 17:39:45	E190	D	70,7	74,4	83,5
8	01-02-2023 17:41:10	E75S	D	72,6	75,9	86,4
8	01-02-2023 17:42:30	B738	D	71,2	74,4	85,6

Nr punktu pomiarowego	Data i godz. zdarzenia	Samolot	Operacja*	$L_{Aeq}$	$L_{Amax}$	$L_{AE}$
				[dB]	[dB]	[dB]
8	01-02-2023 17:45:34	E195	D	69,6	74,0	83,4
8	01-02-2023 17:47:25	A21N	D	66,6	68,6	78,4
8	01-02-2023 17:49:31	E190	D	68,4	71,5	83,7
8	01-02-2023 17:50:42	E75S	D	73,3	79,3	87,1
8	01-02-2023 17:52:18	A321	D	68,8	72,5	84,2
8	01-02-2023 17:53:46	E190	D	72,5	75,0	85,0
8	01-02-2023 17:55:01	A321	D	67,6	70,9	80,6
8	01-02-2023 17:58:20	E75S	D	67,2	69,0	79,5
8	01-02-2023 18:13:47	A321	D	68,5	72,1	82,9
8	01-02-2023 18:52:27	CRJ9	D	68,6	71,9	83,7
8	01-02-2023 19:20:14	E190	D	69,6	72,5	82,4
8	01-02-2023 19:30:33	E195	D	67,1	69,9	78,9
8	01-02-2023 19:34:56	E75S	D	71,2	74,9	85,2
8	01-02-2023 19:40:46	CRJ9	D	68,6	73,5	82,0
8	01-02-2023 19:45:17	A321	D	68,6	72,3	84,3
8	01-02-2023 20:05:13	E75S	D	69,2	71,7	82,2
8	01-02-2023 20:10:11	E75S	D	67,7	70,2	78,9
8	01-02-2023 20:12:32	E195	D	68,9	72,1	82,1
8	01-02-2023 20:20:11	E75S	D	69,9	74,2	84,2
8	01-02-2023 20:23:05	E170	D	67,8	71,4	81,4
8	01-02-2023 20:27:05	E170	D	68,3	71,4	82,1
8	01-02-2023 20:31:23	E75S	D	69,8	72,6	83,8
8	01-02-2023 20:34:43	B38M	D	66,8	68,8	79,1
8	01-02-2023 20:48:27	E190	D	71,1	75,3	85,2
8	01-02-2023 20:50:03	B38M	D	68,3	71,0	81,7
8	01-02-2023 20:52:04	E190	D	69,0	72,2	82,5
8	01-02-2023 20:54:38	C25B	D	67,0	69,2	78,5
8	01-02-2023 20:56:32	E170	D	68,1	71,6	82,1
8	01-02-2023 21:09:40	B763	D	67,9	71,1	82,0
8	01-02-2023 21:56:00	A306	D	72,2	74,9	87,8
8	01-02-2023 21:57:59	B734	D	70,1	73,0	83,9
8	02-02-2023 06:01:08	B738	D	72,9	77,9	87,9
8	02-02-2023 06:04:56	A21N	D	70,1	72,0	83,4
8	02-02-2023 06:07:34	A321	D	68,8	71,6	84,0
8	02-02-2023 06:08:47	B38M	D	67,6	69,7	81,5
8	02-02-2023 06:10:32	B739	D	71,5	73,6	83,8
8	02-02-2023 06:13:24	A21N	D	68,6	71,2	81,4
8	02-02-2023 06:15:27	A321	D	68,7	72,0	83,9
8	02-02-2023 06:42:34	A321	D	72,1	75,7	86,9
8	02-02-2023 06:44:53	A320	D	67,4	69,4	82,1
8	02-02-2023 06:54:23	A321	D	70,0	73,6	84,4
8	02-02-2023 06:56:02	E195	D	69,0	71,3	82,4
8	02-02-2023 07:09:19	A319	D	68,0	72,1	82,1
8	02-02-2023 07:11:03	A20N	D	68,4	71,5	80,4
8	02-02-2023 07:29:10	E75S	D	69,7	73,5	82,3
8	02-02-2023 07:30:47	E190	D	69,2	71,4	81,5
8	02-02-2023 07:39:11	E75S	D	69,4	72,5	82,4
8	02-02-2023 07:41:08	E195	D	70,9	74,2	84,0
8	02-02-2023 07:42:30	E75S	D	70,4	72,6	83,2
8	02-02-2023 07:44:16	E190	D	71,3	74,6	84,3
8	02-02-2023 07:45:44	E195	D	70,5	73,7	83,3
8	02-02-2023 07:47:26	E190	D	69,5	71,4	82,1
8	02-02-2023 07:49:13	E195	D	70,0	71,8	83,0
8	02-02-2023 07:50:45	E170	D	67,8	70,0	80,9
8	02-02-2023 07:52:06	E75S	D	69,1	72,8	83,1
8	02-02-2023 07:54:22	E190	D	72,0	75,7	85,5
8	02-02-2023 08:06:15	B738	D	73,5	77,0	87,5

Nr punktu pomiarowego	Data i godz. zdarzenia	Samolot	Operacja*	$L_{Aeq}$	$L_{Amax}$	$L_{AE}$
				[dB]	[dB]	[dB]
8	02-02-2023 08:10:43	E195	D	68,5	70,7	82,1
8	02-02-2023 08:13:17	E195	D	74,6	79,9	88,1
8	02-02-2023 08:15:59	E195	D	71,2	74,9	84,2
8	02-02-2023 08:19:25	B38M	D	68,3	69,9	80,8
8	02-02-2023 08:21:25	B38M	D	67,4	69,6	79,2
8	02-02-2023 08:24:31	A320	D	69,0	71,8	81,7
8	02-02-2023 08:27:02	C295	D	85,8	91,9	100,8
8	02-02-2023 08:34:27	C295	D	70,0	73,5	82,6
8	02-02-2023 08:36:07	E75S	D	69,2	71,6	83,1
8	02-02-2023 08:42:11	B38M	D	68,3	71,0	82,0
8	02-02-2023 08:57:20	CL35	D	67,3	68,9	78,7
8	02-02-2023 09:04:25	E190	D	69,9	74,9	84,8
8	02-02-2023 09:06:15	B738	D	72,8	76,8	87,5
8	02-02-2023 09:23:12	B738	D	71,2	73,5	84,4
8	02-02-2023 09:25:07	B738	D	71,6	75,5	86,9
8	02-02-2023 09:29:55	E170	D	69,5	71,7	82,3
8	02-02-2023 09:32:22	A320	D	68,9	71,5	81,9
8	02-02-2023 09:43:01	E170	D	69,0	70,9	82,8
8	02-02-2023 09:49:34	E75S	D	67,7	69,4	79,5
8	02-02-2023 10:09:00	CRJ9	D	69,2	71,6	81,0
8	02-02-2023 10:11:29	B737	D	68,1	70,0	80,9
8	02-02-2023 10:17:23	E170	D	67,6	69,1	79,6
8	02-02-2023 10:21:40	GLF5	D	67,7	69,8	77,7
8	02-02-2023 10:32:47	E195	D	69,1	70,9	81,4
8	02-02-2023 10:35:15	E190	D	68,4	71,1	80,4
8	02-02-2023 10:41:21	E75S	D	71,1	74,1	83,7
8	02-02-2023 10:43:00	E190	D	69,8	71,2	80,6
8	02-02-2023 10:53:01	E190	D	70,3	73,9	82,9
8	02-02-2023 10:54:36	E75S	D	69,5	72,1	81,5
8	02-02-2023 10:56:30	E170	D	69,2	71,6	81,8
8	02-02-2023 10:58:03	E75S	D	69,2	71,2	81,0
8	02-02-2023 10:59:38	E75S	D	68,4	70,8	79,6
8	02-02-2023 11:01:09	E75S	D	68,6	70,2	80,4
8	02-02-2023 11:02:53	E190	D	72,9	75,9	84,6
8	02-02-2023 11:09:45	E195	D	69,1	71,9	82,1
8	02-02-2023 11:11:46	E75S	D	68,7	69,7	80,2
8	02-02-2023 11:21:31	A21N	D	67,6	69,2	77,1
8	02-02-2023 12:01:59	B738	D	67,6	69,0	79,6
8	02-02-2023 12:08:01	E75S	D	73,4	76,5	86,4
8	02-02-2023 12:56:33	A321	D	70,0	73,1	84,5
8	02-02-2023 13:01:05	E190	D	70,8	73,8	84,4
8	02-02-2023 13:03:11	E75L	D	68,2	69,6	79,0
8	02-02-2023 13:05:32	B737	D	69,5	72,8	83,1
8	02-02-2023 13:15:06	E195	D	68,2	70,4	79,7
8	02-02-2023 13:24:01	E75S	D	72,3	76,7	85,7
8	02-02-2023 13:25:42	E190	D	68,4	70,7	81,2
8	02-02-2023 13:32:34	E75S	D	68,3	71,7	80,9
8	02-02-2023 13:34:05	A320	D	83,3	92,0	99,9
8	02-02-2023 13:35:50	CL35	D	67,3	69,1	78,4
8	02-02-2023 13:38:03	E190	D	70,2	74,2	82,3
8	02-02-2023 13:48:04	E170	D	67,5	69,8	81,3
8	02-02-2023 13:52:20	B77W	D	69,4	72,1	84,1
8	02-02-2023 13:56:22	E195	D	69,5	71,3	82,7
8	02-02-2023 13:59:18	E170	D	71,8	75,7	85,8
8	02-02-2023 14:01:08	E195	D	70,0	73,1	83,0
8	02-02-2023 14:07:25	A319	D	70,5	72,7	83,7
8	02-02-2023 14:23:59	E190	D	72,5	76,8	86,7

Nr punktu pomiarowego	Data i godz. zdarzenia	Samolot	Operacja*	$L_{Aeq}$	$L_{Amax}$	$L_{AE}$
				[dB]	[dB]	[dB]
8	02-02-2023 14:27:43	A321	D	69,9	73,4	85,7
8	02-02-2023 14:42:09	B38M	D	70,0	72,5	82,6
8	02-02-2023 14:48:06	A21N	D	68,4	70,7	81,7
8	02-02-2023 14:52:39	A21N	D	68,0	69,8	82,0
8	02-02-2023 15:00:06	E170	D	69,5	72,3	83,5
8	02-02-2023 15:02:20	E75S	D	69,2	71,0	80,9
8	02-02-2023 15:06:21	E75S	D	71,7	74,9	85,6
8	02-02-2023 15:08:54	E190	D	71,0	72,7	83,0
8	02-02-2023 15:12:33	E190	D	71,4	73,8	83,1
8	02-02-2023 15:24:07	E170	D	70,2	73,9	83,2
8	02-02-2023 15:32:17	A319	D	68,2	70,7	79,7
8	02-02-2023 15:39:01	E195	D	69,5	72,5	82,7
8	02-02-2023 15:54:38	B38M	D	69,3	73,1	81,8
8	02-02-2023 15:56:36	E195	D	69,6	72,2	78,7
8	02-02-2023 15:58:02	E190	D	73,8	78,8	87,6
8	02-02-2023 16:05:18	E75S	D	69,1	72,9	82,7
8	02-02-2023 16:06:45	E75S	D	69,8	71,4	82,1
8	02-02-2023 16:08:16	E190	D	71,1	74,0	83,9
8	02-02-2023 16:09:59	E75S	D	71,4	73,6	84,8
8	02-02-2023 16:11:28	E170	D	68,7	70,8	82,4
8	02-02-2023 16:21:51	A321	D	69,7	71,1	84,2
8	02-02-2023 16:37:43	B789	D	73,3	80,2	86,1
8	02-02-2023 16:44:18	E195	D	70,2	74,1	82,5
8	02-02-2023 16:50:06	E190	D	69,9	73,1	83,3
8	02-02-2023 16:51:54	B38M	D	68,8	70,7	81,1
8	02-02-2023 16:54:52	E170	D	69,3	72,2	82,3
8	02-02-2023 16:56:19	E75S	D	71,4	74,0	84,1
8	02-02-2023 17:00:33	E75S	D	70,4	73,3	83,0
8	02-02-2023 17:02:10	E195	D	70,0	72,3	83,1
8	02-02-2023 17:04:05	E75S	D	70,5	73,5	83,9
8	02-02-2023 17:16:57	E75S	D	73,1	77,6	87,5
8	02-02-2023 17:22:35	B38M	D	68,1	69,8	77,1
8	02-02-2023 17:24:17	E190	D	72,4	75,1	85,6
8	02-02-2023 17:26:13	E195	D	71,2	75,0	84,6
8	02-02-2023 17:28:02	E195	D	69,4	72,7	82,4
8	02-02-2023 17:34:04	E195	D	71,5	74,5	84,3
8	02-02-2023 17:35:31	E195	D	74,4	79,3	88,0
8	02-02-2023 17:39:46	E195	D	70,1	72,2	82,9
8	02-02-2023 17:41:24	B38M	D	69,0	71,0	80,8
8	02-02-2023 17:44:49	A321	D	71,2	73,2	86,2
8	02-02-2023 17:53:10	E190	D	70,2	73,7	85,2
8	02-02-2023 17:59:12	E75S	D	73,1	75,8	86,1
8	02-02-2023 18:01:02	A321	D	69,2	72,8	82,4
8	02-02-2023 18:23:35	A320	D	66,3	69,0	77,1
8	02-02-2023 18:30:10	E170	D	68,5	70,7	82,3
8	02-02-2023 18:34:41	A321	D	70,0	72,9	85,2
8	02-02-2023 19:08:23	CRJ9	D	68,5	72,6	84,1
8	02-02-2023 19:10:32	E75S	D	68,7	71,3	82,3
8	02-02-2023 19:26:11	E195	D	68,8	72,7	81,9
8	02-02-2023 19:29:12	CRJ9	D	68,5	71,3	83,3
8	02-02-2023 20:03:48	E75S	D	69,1	71,9	81,9
8	02-02-2023 20:11:31	E190	D	69,1	72,0	82,4
8	02-02-2023 20:18:59	E75S	D	70,2	73,2	83,6
8	02-02-2023 20:20:44	A20N	D	66,3	68,3	77,4
8	02-02-2023 20:22:34	E190	D	72,7	77,9	86,3
8	02-02-2023 20:24:55	E190	D	72,1	74,9	84,7
8	02-02-2023 20:26:33	E75S	D	69,7	73,7	83,4

Nr punktu pomiarowego	Data i godz. zdarzenia	Samolot	Operacja*	$L_{Aeq}$	$L_{Amax}$	$L_{AE}$
				[dB]	[dB]	[dB]
8	02-02-2023 20:29:34	E75S	D	69,5	73,4	83,3
8	02-02-2023 20:33:55	B38M	D	67,9	70,6	79,9
8	02-02-2023 20:39:05	E190	D	71,3	75,2	85,6
8	02-02-2023 20:41:47	E170	D	70,0	72,1	83,2
8	02-02-2023 20:43:35	E195	D	68,6	70,6	80,9
8	02-02-2023 20:46:00	E190	D	73,1	76,8	86,3
8	02-02-2023 20:52:33	E170	D	70,5	73,5	83,3
8	02-02-2023 21:01:53	E195	D	69,8	72,1	82,1
8	02-02-2023 21:03:09	E195	D	74,9	79,8	88,7
8	02-02-2023 21:05:11	E170	D	72,9	77,0	87,3
8	02-02-2023 21:12:24	B762	D	68,5	71,1	82,3
8	02-02-2023 21:15:13	E75S	D	73,1	77,4	86,4
8	02-02-2023 21:23:52	B38M	D	68,1	70,5	79,6
8	02-02-2023 21:25:26	E195	D	70,6	74,6	83,6
8	02-02-2023 21:48:21	B734	D	71,3	75,0	85,4
8	02-02-2023 21:58:30	A306	D	72,5	76,3	88,5
8	03-02-2023 06:02:08	B38M	D	69,5	71,0	82,3
8	03-02-2023 06:18:25	A21N	D	69,6	71,0	82,4
8	03-02-2023 06:26:39	A21N	D	69,0	71,5	82,0
8	03-02-2023 06:30:54	B738	D	70,9	73,0	83,7
8	03-02-2023 06:38:16	A21N	D	70,6	73,1	83,4
8	03-02-2023 06:40:37	A321	D	70,3	71,9	85,0
8	03-02-2023 06:47:44	A321	D	70,5	72,7	85,7
8	03-02-2023 06:53:17	A321	D	70,6	72,8	86,1
8	03-02-2023 07:06:20	E195	D	68,8	69,7	80,2
8	03-02-2023 07:07:50	A320	D	67,8	69,2	81,6
8	03-02-2023 07:10:00	A319	D	69,1	71,1	81,9
8	03-02-2023 07:18:37	A21N	D	69,6	70,8	81,9
8	03-02-2023 07:30:36	E75S	D	72,0	74,0	84,5
8	03-02-2023 07:32:06	E75S	D	70,1	72,1	83,1
8	03-02-2023 07:40:58	E75S	D	69,1	71,4	82,3
8	03-02-2023 07:42:54	E195	D	70,7	73,3	83,2
8	03-02-2023 07:46:41	A321	D	70,2	72,3	84,4
8	03-02-2023 07:50:43	E195	D	70,9	73,3	83,7
8	03-02-2023 07:52:35	E195	D	70,7	72,9	83,0
8	03-02-2023 07:54:07	E195	D	71,0	73,2	83,5
8	03-02-2023 07:57:41	E75S	D	71,2	73,4	84,5
8	03-02-2023 07:59:14	E75S	D	70,7	72,4	82,7
8	03-02-2023 08:07:17	E75S	D	70,9	72,0	83,9
8	03-02-2023 08:09:20	E195	D	74,3	77,6	86,9
8	03-02-2023 08:14:19	E195	D	70,3	72,8	82,9
8	03-02-2023 08:15:42	E190	D	74,4	77,1	86,7
8	03-02-2023 08:17:23	B38M	D	68,7	71,0	80,4
8	03-02-2023 08:19:02	E190	D	70,0	72,0	82,8
8	03-02-2023 08:20:48	E195	D	69,9	72,0	81,9
8	03-02-2023 08:22:32	E75S	D	69,2	70,5	81,8
8	03-02-2023 08:26:10	A321	D	70,0	71,9	83,0
8	03-02-2023 08:28:23	E75S	D	71,4	73,4	84,0
8	03-02-2023 08:30:09	B38M	D	68,3	69,5	80,0
8	03-02-2023 08:31:38	E190	D	72,2	75,9	84,5
8	03-02-2023 08:35:51	B738	D	72,8	74,9	87,5
8	03-02-2023 08:37:28	B738	D	73,2	75,6	87,0
8	03-02-2023 08:42:28	E75S	D	71,1	73,3	83,9
8	03-02-2023 09:13:16	A320	D	74,3	77,4	87,1
8	03-02-2023 09:17:43	B738	D	70,5	73,0	83,3
8	03-02-2023 09:29:57	B738	D	72,1	74,9	87,0
8	03-02-2023 09:39:53	E170	D	71,1	74,6	83,9

Nr punktu pomiarowego	Data i godz. zdarzenia	Samolot	Operacja*	$L_{Aeq}$	$L_{Amax}$	$L_{AE}$
				[dB]	[dB]	[dB]
8	03-02-2023 09:42:14	E75S	D	70,5	74,3	83,5
8	03-02-2023 09:43:52	A320	D	68,9	71,1	81,4
8	03-02-2023 09:46:04	B38M	D	68,2	70,0	80,2
8	03-02-2023 09:59:09	E75S	D	71,2	73,0	82,9
8	03-02-2023 10:14:21	E195	D	68,8	71,6	82,5
8	03-02-2023 10:24:18	E170	D	70,8	73,6	83,6
8	03-02-2023 10:39:04	E170	D	70,9	72,9	82,4
8	03-02-2023 10:40:43	E190	D	74,7	78,5	87,0
8	03-02-2023 10:42:03	E75S	D	71,3	74,3	84,4
8	03-02-2023 10:43:32	E75S	D	70,3	73,5	83,1
8	03-02-2023 10:53:26	E170	D	69,6	72,0	82,6
8	03-02-2023 10:55:17	E195	D	71,0	74,2	83,5
8	03-02-2023 10:57:09	E195	D	69,9	71,8	81,9
8	03-02-2023 11:00:11	E195	D	71,7	74,0	84,0
8	03-02-2023 11:02:01	E75S	D	73,3	76,6	86,0
8	03-02-2023 11:07:52	E190	D	74,3	77,8	86,6
8	03-02-2023 11:10:01	E75S	D	70,6	74,6	83,9
8	03-02-2023 11:18:30	A21N	D	69,2	72,4	81,5
8	03-02-2023 11:29:31	B738	A	72,7	75,9	85,0
8	03-02-2023 11:36:26	E190	A	72,5	75,8	83,9
8	03-02-2023 11:40:08	B789	A	73,3	76,5	85,6
8	03-02-2023 11:43:52	E75S	A	70,6	75,1	83,4
8	03-02-2023 11:45:44	A321	A	72,4	74,3	82,4
8	03-02-2023 11:47:34	B737	A	72,3	74,7	83,1
8	03-02-2023 11:49:23	A21N	A	72,2	74,3	82,2
8	03-02-2023 11:53:33	A21N	A	71,3	74,0	82,1
8	03-02-2023 11:55:38	E190	A	71,1	73,9	82,9
8	03-02-2023 11:57:25	B789	A	71,5	75,4	85,1
8	03-02-2023 11:59:50	A320	A	72,8	78,5	85,8
8	03-02-2023 12:02:10	E190	A	72,2	75,6	83,7
8	03-02-2023 12:04:12	A321	A	71,6	74,2	82,4
8	03-02-2023 12:06:15	E195	A	72,0	74,9	83,1
8	03-02-2023 12:08:04	B788	A	72,0	75,7	84,3
8	03-02-2023 12:11:03	A321	A	71,2	72,4	81,2
8	03-02-2023 12:13:35	E195	A	72,4	75,3	83,9
8	03-02-2023 12:15:27	E195	A	71,9	75,0	83,9
8	03-02-2023 12:21:10	E75S	A	71,6	73,4	81,6
8	03-02-2023 12:23:34	E75S	A	71,2	73,7	81,6
8	03-02-2023 12:35:33	E195	A	71,4	75,2	83,5
8	03-02-2023 12:37:34	E170	A	70,7	72,8	81,1
8	03-02-2023 12:39:38	E195	A	71,6	74,4	83,7
8	03-02-2023 12:41:28	E75S	A	70,7	72,9	81,1
8	03-02-2023 12:43:45	E75S	A	69,9	72,7	81,4
8	03-02-2023 12:46:51	E75S	A	70,7	73,2	81,9
8	03-02-2023 12:48:55	B788	A	71,5	75,1	83,8
8	03-02-2023 12:51:30	E170	A	70,9	73,4	81,7
8	03-02-2023 12:53:25	B788	A	71,4	74,4	84,1
8	03-02-2023 12:55:50	E195	A	71,4	74,6	84,0
8	03-02-2023 12:58:01	CRJ9	A	69,0	71,9	81,7
8	03-02-2023 13:00:01	A319	A	71,2	75,4	83,5
8	03-02-2023 13:02:41	E190	A	72,1	75,6	83,5
8	03-02-2023 13:05:40	B789	A	71,9	75,5	84,4
8	03-02-2023 13:09:33	E195	A	72,7	76,6	85,0
8	03-02-2023 13:13:18	E75S	A	73,1	76,3	83,9
8	03-02-2023 13:17:46	E170	A	70,3	72,8	81,1
8	03-02-2023 13:20:31	E75S	A	72,2	75,0	82,2
8	03-02-2023 13:22:57	A21N	A	70,4	74,0	81,8

Nr punktu pomiarowego	Data i godz. zdarzenia	Samolot	Operacja*	$L_{Aeq}$	$L_{Amax}$	$L_{AE}$
				[dB]	[dB]	[dB]
8	03-02-2023 13:28:55	E75S	A	70,9	73,7	81,7
8	03-02-2023 13:48:56	E195	A	72,5	75,6	83,2
8	03-02-2023 13:54:06	BCS3	A	71,2	73,5	81,2
8	03-02-2023 13:58:03	E190	A	71,9	75,9	83,6
8	03-02-2023 14:00:13	E170	A	70,7	74,2	82,5
8	03-02-2023 14:12:00	TBM9	A	70,7	74,5	83,5
8	03-02-2023 14:19:54	A319	A	73,0	75,7	84,2
8	03-02-2023 14:22:29	B38M	A	72,0	75,5	84,1
8	03-02-2023 14:25:45	CRJ9	A	70,0	72,8	82,3
8	03-02-2023 14:27:45	B38M	A	71,6	75,0	83,7
8	03-02-2023 14:29:42	E75S	A	71,8	74,1	82,9
8	03-02-2023 14:31:43	E195	A	72,1	75,5	84,4
8	03-02-2023 14:34:52	B738	A	72,8	77,4	86,2
8	03-02-2023 14:42:04	B788	A	72,1	75,7	85,7
8	03-02-2023 14:51:24	E195	A	72,3	75,7	85,1
8	03-02-2023 14:53:22	A21N	A	72,7	75,9	83,8
8	03-02-2023 14:55:30	B788	A	71,8	75,1	85,4
8	03-02-2023 14:58:31	E190	A	72,7	76,5	85,5
8	03-02-2023 15:02:01	E190	A	72,4	76,0	86,2
8	03-02-2023 15:19:33	E190	A	72,3	75,6	84,4
8	03-02-2023 15:21:35	B38M	A	72,5	76,2	85,3
8	03-02-2023 15:24:01	E190	A	71,3	74,8	84,1
8	03-02-2023 15:26:29	E195	A	73,0	77,3	85,6
8	03-02-2023 15:52:06	E195	A	72,7	75,8	85,0
8	03-02-2023 15:56:41	E75S	A	71,6	74,7	83,3
8	03-02-2023 15:58:53	E75S	A	69,8	73,2	82,6
8	03-02-2023 16:00:56	E195	A	72,3	76,0	84,9
8	03-02-2023 16:03:04	E75S	A	70,8	73,5	83,6
8	03-02-2023 16:08:35	E75S	A	70,1	72,8	82,7
8	03-02-2023 16:14:43	B38M	A	72,3	76,4	84,7
8	03-02-2023 16:19:33	A321	A	71,7	75,1	84,7
8	03-02-2023 16:22:14	E75S	A	71,7	74,3	82,8
8	03-02-2023 16:39:18	E195	A	71,4	75,2	84,2
8	03-02-2023 16:42:48	E190	A	71,0	73,7	83,6
8	03-02-2023 17:04:02	A321	A	70,5	74,8	83,8
8	03-02-2023 17:06:29	A321	A	71,3	74,6	83,6
8	03-02-2023 17:08:09	E190	A	70,1	74,7	83,7
8	03-02-2023 17:11:16	A30B	A	75,1	79,5	89,1
8	03-02-2023 17:37:32	A321	A	70,9	76,1	84,1
8	03-02-2023 17:40:00	E75S	A	70,3	73,6	82,6
8	03-02-2023 17:41:59	E170	A	71,2	74,7	84,8
8	03-02-2023 17:47:37	A320	A	71,8	75,2	84,4
8	03-02-2023 17:49:58	A332	A	73,5	76,6	88,2
8	03-02-2023 18:08:06	E75S	A	70,6	74,7	83,1
8	03-02-2023 18:10:35	A320	A	72,6	77,2	86,4
8	03-02-2023 18:24:41	CRJ9	A	69,3	72,6	81,9
8	03-02-2023 18:28:17	A320	A	71,1	75,5	84,5
8	03-02-2023 18:39:52	E195	A	71,6	75,7	84,4
8	03-02-2023 18:46:15	E195	A	72,0	76,0	84,7
8	03-02-2023 18:48:51	B38M	A	69,5	74,7	84,3
8	03-02-2023 18:50:53	E75S	A	69,5	73,7	83,1
8	03-02-2023 18:54:49	B738	A	73,6	77,7	87,9
8	03-02-2023 18:58:43	E75S	A	70,9	76,2	86,1
8	03-02-2023 19:01:16	E190	A	70,9	75,3	85,0
8	03-02-2023 19:10:10	E75S	A	70,7	74,2	84,3
8	03-02-2023 19:13:01	E195	A	70,9	75,1	84,7
8	03-02-2023 19:15:59	E190	A	74,2	78,1	88,9

Nr punktu pomiarowego	Data i godz. zdarzenia	Samolot	Operacja*	$L_{Aeq}$	$L_{Amax}$	$L_{AE}$
				[dB]	[dB]	[dB]
8	03-02-2023 19:20:43	E170	A	70,9	74,4	82,3
8	03-02-2023 19:25:33	B38M	A	71,7	75,3	83,5
8	03-02-2023 19:28:32	E190	A	71,9	75,7	84,5
8	03-02-2023 19:31:33	E170	A	70,0	72,9	82,0
8	03-02-2023 19:33:13	E190	A	71,7	74,9	84,7
8	03-02-2023 19:35:53	E190	A	71,0	75,2	84,0
8	03-02-2023 19:39:14	E75S	A	70,5	74,3	83,0
8	03-02-2023 20:11:25	E75S	A	71,2	74,3	83,5
8	03-02-2023 20:22:36	B738	A	72,6	77,7	85,8
8	03-02-2023 20:33:22	E75S	A	71,0	74,2	83,0
8	03-02-2023 20:40:46	B738	A	74,5	78,4	87,7
8	03-02-2023 20:57:49	E75S	A	71,0	74,3	82,5
8	03-02-2023 21:06:39	E195	A	70,9	75,7	84,7
8	03-02-2023 21:11:57	E195	A	72,6	76,2	84,9
8	03-02-2023 21:29:36	A20N	A	69,9	73,0	81,6
8	03-02-2023 21:35:29	E75S	P	70,2	74,5	83,2
8	03-02-2023 21:37:52	B738	A	73,0	77,3	84,7
8	03-02-2023 21:42:30	E190	A	71,8	74,9	83,9
8	03-02-2023 21:46:03	E190	A	71,3	74,2	83,6
8	03-02-2023 21:49:39	B38M	A	69,6	73,8	82,8
8	03-02-2023 21:56:34	E195	A	70,6	74,4	84,4
8	03-02-2023 21:58:33	E75S	A	70,5	74,6	82,8
8	04-02-2023 06:17:05	A321	D	71,0	75,5	85,0
8	04-02-2023 06:25:46	A21N	D	69,1	70,5	79,9
8	04-02-2023 06:31:37	B738	D	70,7	74,2	83,8
8	04-02-2023 06:36:32	A21N	D	68,1	71,0	79,5
8	04-02-2023 06:46:05	A321	D	69,4	72,5	82,8
8	04-02-2023 06:50:27	A321	D	69,8	73,6	84,7
8	04-02-2023 06:52:15	A321	D	69,8	73,2	84,1
8	04-02-2023 06:55:58	A321	D	70,7	74,9	85,0
8	04-02-2023 07:02:38	A21N	D	69,6	72,2	81,0
8	04-02-2023 07:15:10	E195	D	68,3	71,4	80,6
8	04-02-2023 07:27:39	B38M	D	68,8	71,7	80,3
8	04-02-2023 07:29:27	A319	D	69,1	71,4	82,7
8	04-02-2023 07:31:12	B738	D	71,5	75,7	85,7
8	04-02-2023 07:42:31	B38M	D	66,3	68,0	77,1
8	04-02-2023 07:47:02	E75S	D	69,9	72,4	81,7
8	04-02-2023 07:49:14	E75S	D	68,0	70,1	77,5
8	04-02-2023 07:50:50	A320	D	70,4	73,7	81,6
8	04-02-2023 07:56:03	B38M	D	68,5	70,8	78,9
8	04-02-2023 07:58:27	E75S	D	69,4	71,5	81,7
8	04-02-2023 08:00:29	E190	D	68,4	71,4	79,6
8	04-02-2023 08:02:14	E170	D	70,4	74,1	81,5
8	04-02-2023 08:03:46	E190	D	74,2	78,2	86,0
8	04-02-2023 08:05:12	E170	D	69,8	72,0	82,1
8	04-02-2023 08:07:23	E195	D	69,2	71,6	80,3
8	04-02-2023 08:10:45	E75S	D	69,8	73,1	82,3
8	04-02-2023 08:14:14	E190	D	73,4	76,9	85,9
8	04-02-2023 08:15:46	E170	D	68,7	70,2	80,5
8	04-02-2023 08:17:06	E75S	D	72,2	75,3	85,2
8	04-02-2023 08:18:10	A30B	D	70,9	73,3	84,9
8	04-02-2023 08:25:00	E195	D	70,6	73,6	82,0
8	04-02-2023 08:26:27	E195	D	68,8	71,2	80,0
8	04-02-2023 08:28:23	E195	D	70,5	73,3	81,3
8	04-02-2023 09:06:00	E190	D	72,0	76,5	85,9
8	04-02-2023 09:24:32	B38M	D	67,5	69,9	76,5
8	04-02-2023 09:33:54	E170	D	70,1	72,3	82,8

Nr punktu pomiarowego	Data i godz. zdarzenia	Samolot	Operacja*	$L_{Aeq}$	$L_{Amax}$	$L_{AE}$
				[dB]	[dB]	[dB]
8	04-02-2023 09:37:07	B738	D	70,0	73,3	83,0
8	04-02-2023 09:39:04	B738	D	71,1	73,8	84,8
8	04-02-2023 09:55:50	E195	D	68,4	71,1	80,7
8	04-02-2023 10:20:42	B738	D	68,9	71,2	81,6
8	04-02-2023 10:50:47	E195	D	69,5	71,6	80,6
8	04-02-2023 10:52:47	E190	D	73,1	76,5	84,9
8	04-02-2023 10:58:01	E75S	D	68,3	69,7	80,4
8	04-02-2023 11:02:58	E75S	D	68,3	70,7	80,1
8	04-02-2023 11:06:21	E170	D	69,8	71,4	80,3
8	04-02-2023 11:12:00	E190	D	70,9	73,5	82,7
8	04-02-2023 11:13:26	E75S	D	71,9	75,1	85,4
8	04-02-2023 11:15:39	E75S	D	68,9	70,8	80,0
8	04-02-2023 11:17:17	E195	D	70,7	73,6	81,1
8	04-02-2023 11:38:28	A21N	D	68,1	69,6	80,4
8	04-02-2023 11:45:18	B738	D	69,8	73,1	83,6
8	04-02-2023 11:53:51	A320	D	66,9	69,3	78,7
8	04-02-2023 11:55:34	E195	D	68,8	72,9	81,8
8	04-02-2023 12:09:56	E190	D	73,6	77,5	84,8
8	04-02-2023 12:16:50	B38M	D	66,2	68,0	75,3
8	04-02-2023 12:23:43	B738	D	71,3	76,4	84,7
8	04-02-2023 12:30:25	A321	D	67,1	68,8	80,3
8	04-02-2023 12:44:58	A321	D	69,0	72,0	83,3
8	04-02-2023 12:59:30	A321	D	67,3	69,3	76,9
8	04-02-2023 13:06:05	B738	D	72,0	76,5	86,6
8	04-02-2023 13:08:18	A321	D	68,5	70,5	81,9
8	04-02-2023 13:17:09	A321	D	68,5	71,2	82,1
8	04-02-2023 13:20:57	B737	D	68,7	71,3	80,8
8	04-02-2023 13:24:44	E195	D	67,6	70,1	79,6
8	04-02-2023 13:28:58	E190	D	71,7	76,8	86,7
8	04-02-2023 13:30:36	A321	D	69,2	72,1	84,4
8	04-02-2023 13:33:31	E190	D	73,1	77,6	86,4
8	04-02-2023 13:35:08	B77W	D	70,4	73,3	85,4
8	04-02-2023 13:41:18	E75S	D	69,1	71,4	81,9
8	04-02-2023 13:45:31	E195	D	70,1	73,1	82,9
8	04-02-2023 13:48:41	E190	D	69,4	72,7	80,9
8	04-02-2023 13:51:06	A321	D	69,8	72,9	84,0
8	04-02-2023 13:53:56	E75S	D	69,9	73,4	80,7
8	04-02-2023 13:55:55	E190	D	70,5	73,7	82,5
8	04-02-2023 14:00:07	B738	D	70,9	74,4	83,9
8	04-02-2023 14:29:48	E190	D	73,8	78,6	86,1
8	04-02-2023 15:00:08	E75S	D	69,6	71,5	81,3
8	04-02-2023 15:06:04	A21N	D	68,3	70,3	80,0
8	04-02-2023 15:08:49	E170	D	68,6	71,0	80,7
8	04-02-2023 15:10:55	E195	D	69,2	71,5	81,5
8	04-02-2023 15:13:03	A21N	D	67,9	69,7	78,7
8	04-02-2023 15:15:00	E75S	D	69,2	72,2	81,2
8	04-02-2023 15:17:01	E170	D	69,6	72,9	82,2
8	04-02-2023 15:18:51	B738	D	69,6	71,7	82,9
8	04-02-2023 15:22:04	E75S	D	68,2	71,2	80,3
8	04-02-2023 15:24:19	E170	D	71,6	75,6	85,2
8	04-02-2023 15:26:06	B38M	D	67,1	69,1	77,5
8	04-02-2023 15:30:51	E195	D	69,4	72,9	81,7
8	04-02-2023 15:35:59	E75S	D	72,0	76,1	85,3
8	04-02-2023 15:38:41	A321	D	69,6	72,1	81,4
8	04-02-2023 15:49:35	E170	D	67,0	68,9	79,6
8	04-02-2023 15:52:17	E190	D	72,9	77,3	85,2
8	04-02-2023 15:55:56	B788	D	67,7	68,7	79,4

Nr punktu pomiarowego	Data i godz. zdarzenia	Samolot	Operacja*	$L_{Aeq}$	$L_{Amax}$	$L_{AE}$
				[dB]	[dB]	[dB]
8	04-02-2023 15:58:45	E195	D	69,0	70,8	80,7
8	04-02-2023 16:05:33	E190	D	70,3	72,4	82,0
8	04-02-2023 16:44:28	E75S	D	69,2	70,4	81,0
8	04-02-2023 16:53:52	E195	D	69,7	71,4	81,1
8	04-02-2023 16:55:09	E170	D	68,4	70,0	79,8
8	04-02-2023 17:02:38	E75S	D	69,3	71,0	80,7
8	04-02-2023 17:04:08	E190	D	73,3	75,8	85,1
8	04-02-2023 17:06:05	E195	D	69,5	73,0	81,5
8	04-02-2023 17:07:39	E195	D	70,8	74,1	82,6
8	04-02-2023 17:17:04	E195	D	70,5	73,1	82,3
8	04-02-2023 17:22:14	E75S	D	69,1	70,6	80,2
8	04-02-2023 17:23:59	E195	D	68,7	70,2	80,5
8	04-02-2023 17:25:42	E190	D	68,4	69,7	79,2
8	04-02-2023 17:27:05	E190	D	69,4	71,4	80,2
8	04-02-2023 17:30:37	A21N	D	67,2	67,7	76,7
8	04-02-2023 17:31:58	E190	D	71,2	72,8	82,0
8	04-02-2023 17:40:53	E195	D	69,4	72,4	80,2
8	04-02-2023 17:43:28	E75S	D	72,1	74,2	84,9
8	04-02-2023 17:45:06	E195	D	73,7	76,8	85,7
8	04-02-2023 17:47:23	B38M	D	67,6	69,3	78,1
8	04-02-2023 18:27:16	A321	D	68,7	70,6	82,5
8	04-02-2023 18:29:27	B789	D	66,9	67,6	77,3
8	04-02-2023 18:59:22	A321	D	68,9	70,6	82,5
8	04-02-2023 19:20:48	E190	D	70,5	72,9	84,6
8	04-02-2023 19:56:46	A320	D	68,5	70,8	81,5
8	04-02-2023 20:14:14	E195	D	69,1	71,7	80,8
8	04-02-2023 20:15:46	E75S	D	68,8	71,3	82,1
8	04-02-2023 20:17:11	E170	D	71,0	74,3	84,2
8	04-02-2023 20:30:04	A321	D	68,2	70,0	82,2
8	04-02-2023 21:01:42	B38M	D	66,8	67,8	77,9
8	04-02-2023 21:06:24	E75S	D	72,2	75,6	86,7
8	04-02-2023 21:15:52	A21N	D	72,6	76,2	84,9
8	05-02-2023 06:04:14	A321	D	70,3	72,4	84,1
8	05-02-2023 06:10:22	A319	D	69,4	71,6	82,9
8	05-02-2023 06:13:35	A321	D	70,3	72,3	84,1
8	05-02-2023 06:15:57	B738	D	71,6	74,3	85,3
8	05-02-2023 06:18:09	A21N	D	69,3	71,1	80,1
8	05-02-2023 06:20:48	A21N	D	72,2	74,6	84,5
8	05-02-2023 06:27:32	A321	D	68,8	71,3	83,2
8	05-02-2023 06:30:52	B737	D	70,0	71,5	81,2
8	05-02-2023 06:48:13	A321	D	69,6	72,0	83,6
8	05-02-2023 07:04:09	A320	D	68,4	69,5	81,1
8	05-02-2023 07:06:03	A21N	D	69,2	70,9	80,7
8	05-02-2023 07:08:08	A321	D	69,8	71,1	82,8
8	05-02-2023 07:30:51	A320	D	68,7	69,8	80,7
8	05-02-2023 07:38:24	E75S	D	70,9	73,2	82,7
8	05-02-2023 07:39:58	E75S	D	68,7	70,6	80,5
8	05-02-2023 07:41:40	E75S	D	69,3	70,7	81,3
8	05-02-2023 07:43:32	E195	D	70,6	72,4	82,0
8	05-02-2023 07:45:26	B738	D	71,0	74,0	85,2
8	05-02-2023 07:46:54	E75S	D	70,2	71,5	81,7
8	05-02-2023 07:48:32	E190	D	69,6	71,3	80,7
8	05-02-2023 07:49:53	E75S	D	68,8	69,7	79,3
8	05-02-2023 07:51:27	A21N	D	68,9	70,4	80,3
8	05-02-2023 07:58:26	B738	D	72,0	75,6	85,4
8	05-02-2023 08:00:20	E195	D	69,5	72,1	79,9
8	05-02-2023 08:09:40	E75S	D	68,8	70,0	79,6

Nr punktu pomiarowego	Data i godz. zdarzenia	Samolot	Operacja*	$L_{Aeq}$	$L_{Amax}$	$L_{AE}$
				[dB]	[dB]	[dB]
8	05-02-2023 08:11:45	E195	D	70,0	72,2	81,7
8	05-02-2023 08:19:54	E195	D	74,8	77,6	86,3
8	05-02-2023 08:23:10	E170	D	74,0	77,2	86,3
8	05-02-2023 08:33:58	B38M	D	67,2	68,4	77,6
8	05-02-2023 08:51:33	B38M	D	68,3	70,2	80,1
8	05-02-2023 09:04:12	E190	D	73,0	77,1	86,8
8	05-02-2023 09:10:53	B738	D	69,3	71,9	81,9
8	05-02-2023 09:30:12	B738	D	71,4	75,2	83,7
8	05-02-2023 09:31:46	E190	D	70,8	73,5	82,6
8	05-02-2023 09:34:18	B738	D	71,9	74,8	83,4
8	05-02-2023 10:27:36	E170	D	68,8	71,1	81,4
8	05-02-2023 10:34:49	E190	D	68,5	71,0	80,0
8	05-02-2023 10:44:00	E170	D	68,8	71,1	80,3
8	05-02-2023 10:45:40	E75S	D	67,9	71,0	79,4
8	05-02-2023 10:47:50	B738	D	70,8	73,8	85,1
8	05-02-2023 10:52:04	B738	D	73,4	76,3	85,9
8	05-02-2023 10:58:31	E75S	D	72,4	76,3	86,0
8	05-02-2023 11:02:10	E190	D	72,9	76,3	85,2
8	05-02-2023 11:13:59	E195	D	70,2	72,7	82,2
8	05-02-2023 11:17:16	A21N	D	69,3	73,0	81,3
8	05-02-2023 11:19:01	E75S	D	70,5	73,0	82,0
8	05-02-2023 11:27:18	B38M	D	68,1	69,4	78,9
8	05-02-2023 11:39:37	E195	D	70,2	73,4	82,0
8	05-02-2023 11:41:21	E190	D	71,0	73,5	82,5
8	05-02-2023 11:43:10	E190	D	69,8	73,4	81,0
8	05-02-2023 11:49:11	E170	D	68,8	71,3	80,8
8	05-02-2023 11:56:18	E75S	D	70,5	74,7	82,5
8	05-02-2023 12:34:22	E190	D	74,4	77,8	86,4
8	05-02-2023 12:36:02	A21N	D	68,5	69,7	79,7
8	05-02-2023 12:45:59	A321	D	73,1	76,3	87,4
8	05-02-2023 12:56:44	E190	D	72,8	76,8	87,3
8	05-02-2023 13:00:05	A321	D	72,4	74,9	87,2
8	05-02-2023 13:11:46	A321	D	69,6	72,5	82,8
8	05-02-2023 13:16:59	B737	D	70,2	72,9	83,4
8	05-02-2023 13:30:46	E195	D	73,8	77,1	85,9
8	05-02-2023 13:33:34	A321	D	70,0	72,3	83,6
8	05-02-2023 13:36:39	E170	D	68,5	71,0	81,0
8	05-02-2023 13:39:56	E195	D	69,7	72,2	80,1
8	05-02-2023 13:42:15	E75S	D	73,3	76,1	85,6
8	05-02-2023 13:49:51	B77W	D	70,7	74,3	85,3
8	05-02-2023 13:56:08	E170	D	70,8	73,0	82,9
8	05-02-2023 14:04:00	E75S	D	69,3	71,7	80,8
8	05-02-2023 14:15:18	A319	D	67,6	69,2	79,1
8	05-02-2023 14:17:14	E190	D	70,1	72,2	81,6
8	05-02-2023 14:22:41	E190	D	73,8	76,7	86,1
8	05-02-2023 14:25:04	B38M	D	67,8	69,5	78,2
8	05-02-2023 14:44:54	A21N	D	69,7	71,5	80,9
8	05-02-2023 14:58:02	E195	D	68,4	70,4	80,4
8	05-02-2023 15:02:10	E195	D	70,6	73,7	82,6
8	05-02-2023 15:03:49	E75S	D	68,6	70,1	78,1
8	05-02-2023 15:06:29	E170	D	72,4	76,4	86,1
8	05-02-2023 15:08:13	A21N	D	69,1	70,4	80,2
8	05-02-2023 15:12:54	A319	D	68,2	69,9	80,0
8	05-02-2023 15:19:54	E195	D	69,9	73,6	81,4
8	05-02-2023 15:22:01	BCS3	D	67,7	70,1	77,3
8	05-02-2023 15:27:58	E75S	D	69,5	71,6	81,3
8	05-02-2023 15:38:25	E75S	D	69,6	71,2	81,9

Nr punktu pomiarowego	Data i godz. zdarzenia	Samolot	Operacja*	$L_{Aeq}$	$L_{Amax}$	$L_{AE}$
				[dB]	[dB]	[dB]
8	05-02-2023 15:54:11	E170	D	69,1	70,8	80,6
8	05-02-2023 15:56:28	E195	D	74,7	78,3	86,7
8	05-02-2023 16:00:23	E75S	D	69,9	71,6	81,3
8	05-02-2023 16:04:30	B788	D	68,2	69,7	79,9
8	05-02-2023 16:08:13	E190	D	73,0	77,1	86,0
8	05-02-2023 16:11:45	E75S	D	69,6	70,9	81,1
8	05-02-2023 16:13:45	B738	D	69,6	71,4	83,8
8	05-02-2023 16:15:29	E190	D	69,1	71,6	80,6
8	05-02-2023 16:23:28	A321	D	70,2	71,8	84,0
8	05-02-2023 16:44:37	E170	D	69,2	70,8	81,5
8	05-02-2023 16:46:07	E195	D	69,5	71,7	81,6
8	05-02-2023 16:56:54	E190	D	69,6	71,0	81,1
8	05-02-2023 16:59:43	E195	D	69,8	71,4	81,3
8	05-02-2023 17:04:15	E75S	D	73,9	77,1	86,4
8	05-02-2023 17:08:01	E195	D	68,5	70,5	79,6
8	05-02-2023 17:11:04	E75S	D	69,1	71,4	80,9
8	05-02-2023 17:12:14	B38M	D	71,1	72,9	82,2
8	05-02-2023 17:14:19	E190	D	69,6	70,7	80,7
8	05-02-2023 17:15:49	E195	D	72,8	76,3	85,6
8	05-02-2023 17:21:32	E195	D	74,6	78,2	86,9
8	05-02-2023 17:25:51	B38M	D	66,9	67,5	76,4
8	05-02-2023 17:27:15	E75S	D	70,5	72,1	82,8
8	05-02-2023 17:28:29	E75S	D	68,4	71,9	81,6
8	05-02-2023 17:33:20	E195	D	70,1	72,3	81,6
8	05-02-2023 17:35:01	E195	D	69,5	71,6	80,9
8	05-02-2023 17:36:17	E170	D	69,1	71,0	80,8
8	05-02-2023 17:37:49	E190	D	69,8	73,3	83,3
8	05-02-2023 17:39:02	E195	D	74,7	78,2	86,4
8	05-02-2023 17:40:43	A321	D	69,9	72,1	84,3
8	05-02-2023 17:42:12	E195	D	69,5	72,2	81,6
8	05-02-2023 17:43:34	E170	D	73,0	75,4	85,1
8	05-02-2023 17:45:03	E190	D	71,7	74,3	82,8
8	05-02-2023 17:56:04	A321	D	70,0	71,7	83,3
8	05-02-2023 17:57:54	E170	D	69,2	70,5	80,9
8	05-02-2023 18:08:02	B738	D	70,9	74,2	83,0
8	05-02-2023 18:15:36	A321	D	69,8	71,6	83,4
8	05-02-2023 18:19:41	A320	D	67,8	69,0	80,1
8	05-02-2023 18:32:09	E75S	D	69,4	71,4	82,4
8	05-02-2023 18:40:06	CRJ9	D	72,2	74,9	85,2
8	05-02-2023 19:08:18	CRJ9	D	70,2	73,4	84,5
8	05-02-2023 19:31:49	A321	D	69,6	71,5	84,2
8	05-02-2023 19:39:49	E190	D	70,1	72,2	81,9
8	05-02-2023 19:48:57	E190	D	72,5	76,0	86,7
8	05-02-2023 20:04:23	A20N	D	68,0	70,0	79,1
8	05-02-2023 20:05:50	E170	D	70,4	71,9	82,5
8	05-02-2023 20:13:44	E170	D	69,8	72,1	82,4
8	05-02-2023 20:20:32	E75S	D	69,2	70,7	81,5
8	05-02-2023 20:27:18	E195	D	77,0	84,5	90,9
8	05-02-2023 20:36:29	E190	D	74,2	77,6	85,9
8	05-02-2023 20:37:50	E75S	D	70,0	71,3	82,1
8	05-02-2023 20:40:02	E190	D	68,8	70,6	82,0
8	05-02-2023 20:44:33	B38M	D	66,7	68,1	78,2
8	05-02-2023 20:47:16	E75S	D	68,9	70,2	81,7
8	05-02-2023 20:48:50	E550	D	67,0	67,9	77,0
8	05-02-2023 20:52:04	E195	D	75,0	79,1	87,6
8	05-02-2023 20:54:01	E190	D	74,1	77,3	86,1
8	05-02-2023 20:56:15	E195	D	75,2	78,9	87,7

Nr punktu pomiarowego	Data i godz. zdarzenia	Samolot	Operacja*	$L_{Aeq}$	$L_{Amax}$	$L_{AE}$
				[dB]	[dB]	[dB]
8	05-02-2023 21:01:31	E75S	D	69,5	70,9	81,8
8	05-02-2023 21:03:36	A321	D	68,8	70,6	81,1
8	05-02-2023 21:18:23	A21N	D	69,3	71,0	83,1
8	05-02-2023 21:35:16	B38M	D	68,4	69,6	79,6
8	05-02-2023 21:37:48	B38M	D	69,6	70,9	81,7
8	06-02-2023 06:19:25	A319	D	67,8	68,5	76,8
8	06-02-2023 06:24:55	A321	D	68,7	69,3	81,9
8	06-02-2023 06:29:28	A321	D	69,7	70,8	83,2
8	06-02-2023 06:32:48	B737	D	71,2	74,0	83,3
8	06-02-2023 06:35:20	A21N	D	68,9	70,0	78,4
8	06-02-2023 06:38:05	A21N	D	71,1	72,9	82,9
8	06-02-2023 06:43:57	A21N	D	68,9	70,1	80,9
8	06-02-2023 07:01:33	A321	D	69,8	71,0	83,4
8	06-02-2023 07:03:14	A321	D	69,5	70,9	83,8
8	06-02-2023 07:11:55	E195	D	68,3	69,3	78,7
8	06-02-2023 07:35:06	E170	D	68,5	69,9	80,3
8	06-02-2023 07:37:58	A21N	D	68,9	69,6	78,9
8	06-02-2023 07:45:25	E195	D	71,6	74,8	83,0
8	06-02-2023 07:55:52	E190	D	69,2	70,8	80,4
8	06-02-2023 08:00:46	B738	D	69,3	72,0	82,1
8	06-02-2023 08:10:01	E195	D	69,9	72,7	82,9
8	06-02-2023 08:12:26	E195	D	70,2	72,6	81,6
8	06-02-2023 08:18:05	E195	D	74,5	78,3	86,3
8	06-02-2023 08:24:02	B38M	D	67,8	68,9	78,6
8	06-02-2023 08:26:16	E190	D	70,4	72,3	82,2
8	06-02-2023 08:31:27	E170	D	73,7	76,7	86,3
8	06-02-2023 08:33:36	E75S	D	69,4	71,6	81,5
8	06-02-2023 08:35:36	E170	D	70,1	72,0	82,2
8	06-02-2023 08:43:15	E195	D	69,8	72,2	80,9
8	06-02-2023 08:45:10	E190	D	71,5	73,5	82,7
8	06-02-2023 08:46:51	E75S	D	70,7	72,3	83,2
8	06-02-2023 08:48:30	E195	D	75,0	78,6	87,5
8	06-02-2023 08:52:50	B738	D	70,5	72,6	82,5
8	06-02-2023 08:54:47	E195	D	70,4	72,2	81,8
8	06-02-2023 08:58:35	E170	D	69,4	71,5	82,4
8	06-02-2023 09:00:20	E190	D	74,2	78,1	86,3
8	06-02-2023 09:04:44	E195	D	71,1	74,4	82,9
8	06-02-2023 09:10:00	A321	D	68,9	70,0	81,5
8	06-02-2023 09:12:10	B38M	D	67,8	68,9	79,3
8	06-02-2023 09:17:54	E190	D	72,8	75,6	86,6
8	06-02-2023 09:34:58	B738	D	71,9	75,8	86,5
8	06-02-2023 09:40:08	E75S	D	71,0	72,5	83,0
8	06-02-2023 09:46:04	B738	D	69,6	71,0	82,1
8	06-02-2023 09:52:09	E170	D	70,9	72,9	83,2
8	06-02-2023 10:02:19	A321	D	68,8	71,4	82,9
8	06-02-2023 10:05:42	E195	D	70,6	73,1	82,0
8	06-02-2023 10:16:13	CRJ9	D	68,9	70,5	80,1
8	06-02-2023 10:35:48	CRJ9	D	68,5	70,8	82,1
8	06-02-2023 10:40:44	E195	D	69,3	71,3	81,8
8	06-02-2023 10:42:36	E170	D	73,1	75,5	85,1
8	06-02-2023 10:47:32	E190	D	70,0	71,5	81,1
8	06-02-2023 10:51:59	E75S	D	68,3	69,6	80,6
8	06-02-2023 10:53:53	E190	D	69,0	70,5	79,5
8	06-02-2023 10:59:50	E170	D	68,8	70,2	80,9
8	06-02-2023 11:03:13	E195	D	69,7	72,0	81,7
8	06-02-2023 11:07:26	E75S	D	70,1	72,1	82,2
8	06-02-2023 11:14:36	E75S	D	73,8	76,8	86,1

Nr punktu pomiarowego	Data i godz. zdarzenia	Samolot	Operacja*	$L_{Aeq}$	$L_{Amax}$	$L_{AE}$
				[dB]	[dB]	[dB]
8	06-02-2023 11:18:28	E195	D	71,3	74,0	83,6
8	06-02-2023 11:19:50	E195	D	71,2	73,3	82,3
8	06-02-2023 11:21:33	E75S	D	68,6	69,7	79,8
8	06-02-2023 11:24:30	E190	D	71,0	73,5	82,1
8	06-02-2023 11:35:06	E75S	D	73,8	76,3	86,6
8	06-02-2023 11:39:16	B738	D	68,7	71,0	81,8
8	06-02-2023 11:40:59	A21N	D	69,2	71,2	81,8
8	06-02-2023 11:45:42	E75S	D	70,1	72,3	81,9
8	06-02-2023 11:51:50	E195	D	71,5	74,0	83,0
8	06-02-2023 12:08:49	E170	D	69,9	71,9	82,5
8	06-02-2023 12:27:39	A321	D	69,8	71,8	84,1
8	06-02-2023 12:36:46	A21N	D	70,0	72,5	81,8
8	06-02-2023 12:42:20	E75S	D	74,1	78,0	87,1
8	06-02-2023 12:59:44	A321	D	70,4	71,9	83,2
8	06-02-2023 13:04:50	B738	D	71,0	73,4	83,1
8	06-02-2023 13:13:12	E190	D	72,0	74,8	86,0
8	06-02-2023 13:17:11	A321	D	73,1	77,2	87,9
8	06-02-2023 13:26:39	A21N	D	69,6	72,4	82,8
8	06-02-2023 13:30:28	A21N	D	69,7	71,4	81,8
8	06-02-2023 13:39:08	E170	D	67,7	69,1	80,0
8	06-02-2023 13:40:54	E190	D	71,4	74,2	83,7
8	06-02-2023 13:44:51	E195	D	71,2	74,2	82,7
8	06-02-2023 13:47:35	E75S	D	70,6	72,3	82,6
8	06-02-2023 13:51:16	E195	D	69,6	71,8	81,3
8	06-02-2023 13:55:39	E195	D	69,6	72,7	81,1
8	06-02-2023 14:00:51	A319	D	69,3	71,2	81,4
8	06-02-2023 14:05:31	BCS3	D	67,2	68,1	76,2
8	06-02-2023 14:07:13	B77W	D	72,2	74,5	85,9
8	06-02-2023 14:09:35	B38M	D	67,3	68,9	78,5
8	06-02-2023 14:11:17	A21N	D	67,5	68,2	76,6
8	06-02-2023 14:18:21	E170	D	72,1	74,7	84,2
8	06-02-2023 14:20:37	E190	D	71,4	74,3	82,8
8	06-02-2023 14:23:12	E195	D	70,6	73,0	81,8
8	06-02-2023 14:38:36	A21N	D	68,5	70,1	80,6
8	06-02-2023 14:39:53	B38M	D	67,9	68,9	77,5
8	06-02-2023 14:42:38	E190	D	73,8	76,6	85,8
8	06-02-2023 15:04:54	E75S	D	68,9	70,6	81,5
8	06-02-2023 15:07:03	E170	D	69,3	71,1	81,3
8	06-02-2023 15:10:03	E195	D	68,7	70,3	81,2
8	06-02-2023 15:12:54	E170	D	71,4	73,9	83,4
8	06-02-2023 15:14:55	E75S	D	69,7	71,7	82,7
8	06-02-2023 15:16:53	A319	D	67,9	69,2	79,7
8	06-02-2023 15:18:35	E195	D	69,1	70,9	80,6
8	06-02-2023 15:34:30	E195	D	71,1	74,4	82,6
8	06-02-2023 15:36:05	E195	D	69,9	71,8	81,4
8	06-02-2023 15:40:28	E75S	D	69,8	71,7	82,4
8	06-02-2023 15:42:48	E190	D	74,4	77,3	86,7
8	06-02-2023 15:49:31	E190	D	74,5	77,9	86,0
8	06-02-2023 15:51:30	E75S	D	74,0	76,8	86,8
8	06-02-2023 15:53:36	A321	D	70,1	71,3	83,7
8	06-02-2023 15:55:53	E75S	D	69,5	70,9	81,8
8	06-02-2023 16:03:43	E170	D	69,2	70,3	80,7
8	06-02-2023 16:07:03	E75S	D	70,0	71,4	82,3
8	06-02-2023 16:23:00	B788	D	68,0	69,9	81,4
8	06-02-2023 16:25:26	A321	D	70,1	71,3	83,9
8	06-02-2023 16:39:15	E195	D	70,3	72,6	82,4
8	06-02-2023 16:43:24	E170	D	72,9	75,6	84,7

Nr punktu pomiarowego	Data i godz. zdarzenia	Samolot	Operacja*	$L_{Aeq}$	$L_{Amax}$	$L_{AE}$
				[dB]	[dB]	[dB]
8	06-02-2023 16:57:14	E170	D	69,7	71,3	82,7
8	06-02-2023 16:59:00	E190	D	69,0	70,7	81,1
8	06-02-2023 17:05:39	B38M	D	67,3	67,5	77,3
8	06-02-2023 17:23:38	E195	D	71,1	73,9	84,1
8	06-02-2023 17:27:14	E195	D	69,8	71,6	82,4
8	06-02-2023 17:28:55	E195	D	74,6	78,5	86,9
8	06-02-2023 17:34:20	E195	D	71,5	74,5	84,3
8	06-02-2023 17:36:41	E75S	D	69,6	71,5	81,7
8	06-02-2023 17:38:30	E190	D	72,8	75,2	84,8
8	06-02-2023 17:40:35	E190	D	71,5	74,1	84,1
8	06-02-2023 17:44:36	A321	D	70,2	71,5	84,7
8	06-02-2023 17:47:14	E190	D	70,6	72,5	84,3
8	06-02-2023 17:51:45	E195	D	74,8	78,6	87,6
8	06-02-2023 17:56:08	E195	D	69,9	71,5	81,3
8	06-02-2023 18:03:26	A20N	D	67,4	68,1	77,4
8	06-02-2023 18:24:21	A321	D	68,9	70,5	83,8
8	06-02-2023 18:41:05	E190	D	69,4	71,3	81,2
8	06-02-2023 18:49:40	A21N	D	69,2	71,5	82,2
8	06-02-2023 18:57:34	CRJ9	D	68,4	70,5	81,6
8	06-02-2023 19:25:28	E75S	D	70,0	72,2	83,5
8	06-02-2023 19:29:51	A321	D	70,9	73,9	86,6
8	06-02-2023 19:31:38	E190	D	67,8	69,1	78,3
8	06-02-2023 20:09:57	E75S	D	68,4	69,9	81,2
8	06-02-2023 20:25:13	E170	D	68,0	69,0	80,6
8	06-02-2023 20:27:10	E195	D	68,3	70,3	81,7
8	06-02-2023 20:28:29	E75S	D	72,9	75,2	85,9
8	06-02-2023 20:30:28	A320	D	67,6	68,7	79,6
8	06-02-2023 20:32:43	E170	D	69,8	71,5	82,5
8	06-02-2023 20:36:08	E75S	D	69,7	71,4	82,5
8	06-02-2023 20:40:25	E170	D	67,9	69,4	80,2
8	06-02-2023 20:41:57	E195	D	69,7	71,7	82,3
8	06-02-2023 20:43:42	E170	D	67,9	68,8	79,0
8	06-02-2023 20:57:26	E195	D	74,3	77,8	87,3
8	06-02-2023 21:26:12	B752	D	66,2	67,2	76,6
8	06-02-2023 21:54:36	B738	D	70,3	72,8	83,1
8	07-02-2023 06:11:45	A21N	D	67,3	68,1	76,9
8	07-02-2023 06:18:15	A21N	D	69,2	70,8	80,6
8	07-02-2023 06:25:24	A21N	D	69,8	71,8	81,8
8	07-02-2023 06:29:03	B738	D	72,8	75,6	86,2
8	07-02-2023 06:31:32	A321	D	69,8	71,9	83,9
8	07-02-2023 06:41:46	A21N	D	69,5	72,5	82,0
8	07-02-2023 06:44:09	A321	D	69,7	71,5	83,7
8	07-02-2023 07:10:21	BCS3	D	67,2	68,7	77,6
8	07-02-2023 07:18:16	A320	D	69,7	73,0	81,7
8	07-02-2023 07:24:07	B38M	D	68,6	70,1	80,9
8	07-02-2023 07:30:49	E75S	D	70,6	72,6	81,7
8	07-02-2023 07:37:19	GLF5	D	71,5	73,9	83,8
8	07-02-2023 07:39:49	E195	D	70,4	72,7	82,2
8	07-02-2023 07:42:39	E195	D	70,3	72,5	83,1
8	07-02-2023 07:51:00	E190	D	69,4	72,1	82,4
8	07-02-2023 07:53:09	E195	D	71,0	73,2	82,8
8	07-02-2023 07:55:01	E195	D	71,7	75,6	83,7
8	07-02-2023 07:58:31	E190	D	74,3	78,6	87,3
8	07-02-2023 08:01:06	E195	D	71,5	75,1	83,8
8	07-02-2023 08:02:25	E170	D	69,0	70,1	80,7
8	07-02-2023 08:03:58	E190	D	70,0	71,6	82,3
8	07-02-2023 08:05:20	E195	D	71,7	74,5	83,7

Nr punktu pomiarowego	Data i godz. zdarzenia	Samolot	Operacja*	$L_{Aeq}$	$L_{Amax}$	$L_{AE}$
				[dB]	[dB]	[dB]
8	07-02-2023 08:11:12	E170	D	70,9	72,7	83,2
8	07-02-2023 08:13:03	E190	D	72,4	74,9	84,2
8	07-02-2023 08:20:38	E195	D	71,0	75,2	83,8
8	07-02-2023 08:22:09	E75S	D	74,0	76,2	86,6
8	07-02-2023 08:24:22	E195	D	75,5	79,3	87,5
8	07-02-2023 08:38:01	B38M	D	68,0	69,7	81,0
8	07-02-2023 08:47:34	E75S	D	70,5	72,3	83,1
8	07-02-2023 08:48:52	E190	D	73,2	76,3	87,1
8	07-02-2023 08:55:31	B738	D	73,0	74,8	87,4
8	07-02-2023 08:58:08	B38M	D	69,3	71,8	80,7
8	07-02-2023 09:08:15	CL35	D	68,0	70,0	80,1
8	07-02-2023 09:36:31	B38M	D	69,9	71,1	81,3
8	07-02-2023 09:40:59	E75S	D	71,2	73,3	84,0
8	07-02-2023 09:44:42	E195	D	70,8	72,5	82,8
8	07-02-2023 09:53:23	C560	D	69,5	72,0	82,0
8	07-02-2023 10:00:24	E170	D	69,3	71,1	81,6
8	07-02-2023 10:01:53	B738	D	68,6	72,0	82,2
8	07-02-2023 10:16:02	CRJ9	D	69,1	70,5	81,6
8	07-02-2023 10:18:11	E195	D	70,9	73,5	82,7
8	07-02-2023 10:43:34	E170	D	73,3	77,0	85,8
8	07-02-2023 10:48:28	E75S	D	70,7	72,9	82,7
8	07-02-2023 10:57:08	E190	D	70,1	71,5	80,1
8	07-02-2023 10:58:33	E75S	D	69,9	72,6	81,9
8	07-02-2023 11:04:25	E170	D	71,0	73,1	83,5
8	07-02-2023 11:07:15	B738	D	67,9	69,7	81,3
8	07-02-2023 11:09:15	E190	D	70,3	72,6	81,5
8	07-02-2023 11:10:34	E190	D	73,8	77,5	86,6
8	07-02-2023 11:13:15	E75S	D	70,2	72,8	82,5
8	07-02-2023 11:14:34	E170	D	70,3	71,8	82,9
8	07-02-2023 11:16:12	E75S	D	71,2	73,4	83,5
8	07-02-2023 11:18:04	E195	D	71,2	73,2	83,2
8	07-02-2023 11:21:21	E75S	D	74,5	77,9	87,5
8	07-02-2023 11:23:29	E195	D	72,6	76,0	84,3
8	07-02-2023 11:30:36	A21N	D	70,4	74,3	83,2
8	07-02-2023 12:13:59	A321	D	68,9	70,4	83,2
8	07-02-2023 12:16:44	B738	D	72,5	74,8	86,0
8	07-02-2023 12:31:02	B738	D	68,7	71,4	82,5
8	07-02-2023 12:34:07	B738	D	67,3	68,3	80,5
8	07-02-2023 12:40:17	E195	D	75,6	79,0	87,9
8	07-02-2023 13:00:39	E170	D	67,6	68,9	79,0
8	07-02-2023 13:02:53	E190	D	73,4	77,1	87,8
8	07-02-2023 13:08:05	E195	D	70,0	72,2	82,1
8	07-02-2023 13:10:19	A321	D	71,3	73,5	85,3
8	07-02-2023 13:21:44	A321	D	73,8	76,6	88,1
8	07-02-2023 13:26:02	A321	D	70,4	72,8	85,2
8	07-02-2023 13:28:15	B738	D	71,6	73,9	85,0
8	07-02-2023 13:31:06	E170	D	71,4	74,7	84,8
8	07-02-2023 13:33:35	E190	D	70,5	73,5	82,3
8	07-02-2023 13:38:17	E75S	D	69,4	71,5	82,6
8	07-02-2023 13:39:32	E190	D	69,9	72,2	81,7
8	07-02-2023 13:41:07	E195	D	69,7	71,9	81,2
8	07-02-2023 13:45:58	E75S	D	71,8	73,7	84,4
8	07-02-2023 13:47:27	B77W	D	71,7	74,1	85,3
8	07-02-2023 13:56:52	E75S	D	70,5	72,5	82,3
8	07-02-2023 13:59:33	E170	D	70,8	74,3	84,3
8	07-02-2023 14:11:00	A319	D	67,5	69,7	79,3
8	07-02-2023 14:40:38	GLEX	D	68,3	70,3	79,4

Nr punktu pomiarowego	Data i godz. zdarzenia	Samolot	Operacja*	$L_{Aeq}$	$L_{Amax}$	$L_{AE}$
				[dB]	[dB]	[dB]
8	07-02-2023 14:43:53	B38M	D	68,2	69,3	79,4
8	07-02-2023 14:46:48	E190	D	74,1	77,5	87,1
8	07-02-2023 14:55:16	A321	D	70,7	73,3	84,5
8	07-02-2023 14:57:32	E170	D	70,7	73,0	83,1
8	07-02-2023 15:02:13	A21N	D	69,6	71,8	81,9
8	07-02-2023 15:04:22	E75S	D	74,1	77,3	86,8
8	07-02-2023 15:07:57	E75S	D	70,9	72,7	82,6
8	07-02-2023 15:13:41	E190	D	71,9	75,0	83,4
8	07-02-2023 15:15:32	E75S	D	70,2	72,1	82,5
8	07-02-2023 15:18:15	E195	D	70,5	74,1	83,1
8	07-02-2023 15:19:46	E190	D	70,6	73,2	82,4
8	07-02-2023 15:21:20	A319	D	68,7	70,4	81,5
8	07-02-2023 15:30:48	E75S	D	73,9	76,6	86,2
8	07-02-2023 15:36:57	E195	D	70,0	71,9	81,4
8	07-02-2023 15:44:27	E75S	D	70,1	72,5	81,8
8	07-02-2023 15:46:37	E170	D	75,6	79,2	88,1
8	07-02-2023 15:55:34	E195	D	70,2	73,7	83,0
8	07-02-2023 15:58:53	E170	D	70,6	72,3	82,7
8	07-02-2023 16:02:27	B788	D	69,4	71,2	81,7
8	07-02-2023 16:06:13	B38M	D	67,0	69,2	78,1
8	07-02-2023 16:10:20	E75S	D	71,1	73,4	83,7
8	07-02-2023 16:47:07	E75S	D	73,0	76,3	86,7
8	07-02-2023 16:48:35	E195	D	70,1	71,9	81,3
8	07-02-2023 16:58:53	E195	D	70,4	73,0	82,4
8	07-02-2023 17:02:21	E75S	D	70,9	73,0	82,4
8	07-02-2023 17:03:39	E75S	D	71,5	74,7	83,2
8	07-02-2023 17:06:43	B738	D	70,6	72,8	83,6
8	07-02-2023 17:08:07	E170	D	69,7	72,2	81,5
8	07-02-2023 17:10:18	B789	D	73,7	76,4	86,7
8	07-02-2023 17:12:29	E190	D	74,6	78,6	86,9
8	07-02-2023 17:15:48	A21N	D	69,6	71,2	81,6
8	07-02-2023 17:17:14	E195	D	74,7	78,8	87,5
8	07-02-2023 17:18:37	E195	D	71,0	73,6	83,0
8	07-02-2023 17:20:03	E190	D	70,9	73,8	82,4
8	07-02-2023 17:23:37	E170	D	71,2	73,4	84,2
8	07-02-2023 17:25:18	E190	D	73,0	77,3	84,8
8	07-02-2023 17:27:22	E195	D	69,7	72,1	80,9
8	07-02-2023 17:30:26	E190	D	74,7	77,7	86,8
8	07-02-2023 17:36:16	B738	D	70,3	72,0	82,6
8	07-02-2023 17:38:52	E170	D	69,2	70,6	83,0
8	07-02-2023 17:40:50	A321	D	70,7	72,6	85,2
8	07-02-2023 17:53:52	E170	D	70,3	71,6	82,1
8	07-02-2023 18:08:55	B38M	D	69,2	71,1	81,0
8	07-02-2023 18:13:53	A320	D	67,2	69,2	80,2
8	07-02-2023 18:25:00	A321	D	70,9	73,6	85,5
8	07-02-2023 18:28:34	E190	D	69,5	71,7	81,2
8	07-02-2023 19:03:19	CRJ9	D	68,7	70,5	82,1
8	07-02-2023 19:29:25	E190	D	72,1	75,7	86,1
8	07-02-2023 19:31:08	E195	D	69,2	72,4	82,7
8	07-02-2023 19:40:26	E75S	D	69,7	72,0	84,5
8	07-02-2023 20:16:37	E75S	D	71,1	73,4	84,1
8	07-02-2023 20:24:14	E170	D	70,3	72,1	82,4
8	07-02-2023 20:25:55	E195	D	70,5	73,8	82,9
8	07-02-2023 20:27:24	E75S	D	73,2	77,7	86,2
8	07-02-2023 20:28:57	E75S	D	69,5	70,9	81,6
8	07-02-2023 20:30:50	E195	D	69,8	73,2	81,9
8	07-02-2023 20:38:04	E75S	D	71,1	73,1	83,7

Nr punktu pomiarowego	Data i godz. zdarzenia	Samolot	Operacja*	$L_{Aeq}$	$L_{Amax}$	$L_{AE}$
				[dB]	[dB]	[dB]
8	07-02-2023 20:40:43	E75S	D	68,8	70,7	80,8
8	07-02-2023 20:42:26	E195	D	72,7	76,0	85,1
8	07-02-2023 20:47:27	E170	D	72,8	77,3	85,8
8	07-02-2023 20:49:15	E170	D	70,7	73,1	83,0
8	07-02-2023 20:57:31	E170	D	71,9	74,7	84,0
8	07-02-2023 21:00:31	E190	D	74,1	77,2	86,1
8	07-02-2023 21:05:15	B38M	D	69,9	71,9	81,3
8	07-02-2023 21:12:32	B763	D	68,3	70,8	83,0
8	07-02-2023 21:26:08	A21N	D	72,6	75,2	85,1
8	08-02-2023 06:10:19	B738	D	72,1	74,5	84,9
8	08-02-2023 06:12:12	A321	D	70,8	72,7	84,7
8	08-02-2023 06:21:57	B38M	D	70,0	71,5	81,8
8	08-02-2023 06:33:12	A321	D	70,6	72,1	84,1
8	08-02-2023 06:46:57	BCS3	D	67,5	68,4	77,5
8	08-02-2023 06:49:09	A321	D	71,3	73,8	85,2
8	08-02-2023 06:51:24	E195	D	71,1	74,7	84,5
8	08-02-2023 07:06:52	A21N	D	70,7	72,5	83,5
8	08-02-2023 07:15:27	A21N	D	69,7	72,4	81,7
8	08-02-2023 07:22:21	E75S	D	70,5	71,7	82,8
8	08-02-2023 07:24:07	A320	D	69,2	70,9	81,8
8	08-02-2023 07:25:38	E195	D	71,3	73,1	82,4
8	08-02-2023 07:29:40	E190	D	72,1	74,6	84,2
8	08-02-2023 07:37:31	E195	D	71,0	73,1	83,7
8	08-02-2023 07:38:44	E75S	D	71,1	73,1	83,9
8	08-02-2023 07:40:37	E195	D	70,8	73,4	82,8
8	08-02-2023 07:41:59	E195	D	71,4	74,1	84,4
8	08-02-2023 07:43:25	E75S	D	70,5	71,7	82,3
8	08-02-2023 07:46:29	E190	D	75,4	78,7	87,5
8	08-02-2023 07:47:39	E195	D	71,5	74,5	83,5
8	08-02-2023 07:55:35	E195	D	71,0	73,1	82,8
8	08-02-2023 07:57:01	E195	D	70,2	72,3	81,9
8	08-02-2023 07:58:32	E195	D	71,9	74,9	83,4
8	08-02-2023 08:09:45	B738	D	73,5	76,5	86,7
8	08-02-2023 08:14:56	E190	D	75,3	79,1	87,1
8	08-02-2023 08:17:00	E75S	D	74,4	77,1	87,0
8	08-02-2023 09:15:50	A320	D	67,6	69,1	78,4
8	08-02-2023 09:17:22	E190	D	73,5	76,4	87,3
8	08-02-2023 09:28:44	E195	D	70,9	73,7	83,9
8	08-02-2023 09:31:24	E170	D	70,6	73,4	83,6
8	08-02-2023 09:34:20	E190	D	71,0	72,8	82,7
8	08-02-2023 09:39:02	B38M	D	68,6	70,4	80,6
8	08-02-2023 09:56:46	E75S	D	70,6	72,0	82,7
8	08-02-2023 10:00:08	A319	D	68,2	69,8	80,9
8	08-02-2023 10:16:46	CRJ9	D	69,7	71,3	82,0
8	08-02-2023 10:20:20	B738	D	74,1	76,9	87,1
8	08-02-2023 10:25:38	E170	D	70,4	71,6	81,8
8	08-02-2023 10:33:26	E75S	D	71,3	73,5	83,3
8	08-02-2023 10:34:58	E170	D	74,7	77,5	86,8
8	08-02-2023 10:36:52	E170	D	69,3	70,7	81,3
8	08-02-2023 10:49:21	E195	D	70,3	72,7	82,0
8	08-02-2023 10:52:46	E195	D	72,1	75,8	83,8
8	08-02-2023 10:58:38	E75S	D	70,8	73,5	83,1
8	08-02-2023 11:01:48	E195	D	70,8	73,3	82,6
8	08-02-2023 11:04:40	E190	D	74,7	78,0	86,5
8	08-02-2023 11:06:23	E75S	D	70,4	72,2	82,5
8	08-02-2023 11:07:57	E75S	D	70,3	73,4	82,8
8	08-02-2023 11:22:34	E75S	D	70,9	73,6	82,9

Nr punktu pomiarowego	Data i godz. zdarzenia	Samolot	Operacja*	$L_{Aeq}$	$L_{Amax}$	$L_{AE}$
				[dB]	[dB]	[dB]
8	08-02-2023 11:30:13	A21N	D	70,1	72,3	81,5
8	08-02-2023 11:35:20	A320	D	67,4	69,6	78,2
8	08-02-2023 11:45:22	E190	D	71,3	73,8	82,8
8	08-02-2023 11:50:49	E170	D	70,8	73,3	83,4
8	08-02-2023 12:12:21	E75S	D	73,9	76,7	86,7
8	08-02-2023 12:26:13	A321	D	70,0	72,2	83,9
8	08-02-2023 12:51:02	E195	A	70,9	72,6	81,7
8	08-02-2023 12:53:13	A319	A	71,2	73,2	81,6
8	08-02-2023 12:59:09	E195	A	71,8	74,5	82,6
8	08-02-2023 13:01:48	A21N	A	70,1	72,0	80,8
8	08-02-2023 13:08:00	E195	A	71,4	73,1	82,9
8	08-02-2023 13:11:24	B789	A	71,8	74,1	83,6
8	08-02-2023 13:17:43	B788	A	70,6	73,9	83,2
8	08-02-2023 13:20:16	E75S	A	70,2	73,8	81,7
8	08-02-2023 13:29:53	E170	A	70,4	72,8	81,5
8	08-02-2023 13:35:43	B738	A	72,2	74,5	83,3
8	08-02-2023 13:45:57	AT73	A	70,2	71,9	81,0
8	08-02-2023 13:49:23	E190	A	70,7	73,0	81,5
8	08-02-2023 13:52:00	E75S	A	69,9	71,5	80,3
8	08-02-2023 14:05:11	E195	A	71,7	74,1	82,1
8	08-02-2023 14:42:41	E75S	A	70,1	71,7	80,1
8	08-02-2023 14:51:21	E75S	A	68,5	69,6	77,6
8	08-02-2023 15:08:37	E75S	A	70,6	72,8	80,6
8	08-02-2023 15:11:54	B38M	A	72,1	74,4	82,5
8	08-02-2023 15:22:21	E75S	A	70,1	72,1	80,9
8	08-02-2023 15:24:05	E170	A	69,9	72,5	80,7
8	08-02-2023 15:27:21	E75S	A	69,1	71,3	79,5
8	08-02-2023 15:29:25	E170	A	70,7	73,7	81,1
8	08-02-2023 15:31:02	E195	A	71,6	73,7	82,1
8	08-02-2023 15:32:28	E190	A	69,8	72,2	80,6
8	08-02-2023 15:34:11	E75S	A	69,7	71,4	79,3
8	08-02-2023 15:36:54	B38M	A	71,8	74,4	82,9
8	08-02-2023 15:38:36	E75S	A	70,5	72,8	80,0
8	08-02-2023 15:40:37	E190	A	70,9	73,0	81,3
8	08-02-2023 15:43:05	E170	A	70,1	71,7	79,1
8	08-02-2023 15:53:33	E190	A	70,4	72,5	81,2
8	08-02-2023 15:59:14	E195	A	71,0	72,8	81,4
8	08-02-2023 16:02:40	W3	A	72,8	76,4	86,0
8	08-02-2023 16:24:48	A319	A	71,3	73,8	82,4
8	08-02-2023 16:31:47	B350	A	69,3	70,7	78,3
8	08-02-2023 16:35:31	E190	A	70,7	72,5	81,5
8	08-02-2023 16:37:48	E195	A	72,7	75,4	83,8
8	08-02-2023 16:56:01	B738	A	73,0	75,3	84,1
8	08-02-2023 16:59:10	A321	A	70,7	73,0	81,1
8	08-02-2023 17:01:19	B38M	A	70,4	72,3	80,8
8	08-02-2023 17:03:49	A321	A	69,9	71,7	79,9
8	08-02-2023 17:18:13	E170	A	69,6	71,3	79,1
8	08-02-2023 17:23:36	A21N	A	70,4	72,5	80,9
8	08-02-2023 17:27:07	CRJ9	A	68,9	69,9	78,0
8	08-02-2023 17:38:27	E195	A	71,3	73,4	82,1
8	08-02-2023 17:49:24	A321	A	70,2	72,0	80,2
8	08-02-2023 17:51:52	E170	A	69,7	71,6	79,7
8	08-02-2023 17:55:52	E75S	A	70,3	72,8	81,1
8	08-02-2023 18:12:29	E190	A	71,0	73,1	82,2
8	08-02-2023 18:22:52	A319	A	71,7	74,3	83,1
8	08-02-2023 18:27:44	E75S	A	70,5	72,7	81,3
8	08-02-2023 18:31:51	E195	A	70,8	72,8	82,0

Nr punktu pomiarowego	Data i godz. zdarzenia	Samolot	Operacja*	$L_{Aeq}$	$L_{Amax}$	$L_{AE}$
				[dB]	[dB]	[dB]
8	08-02-2023 18:34:37	E190	A	71,3	73,6	82,8
8	08-02-2023 18:44:12	E190	A	70,9	73,9	83,0
8	08-02-2023 18:48:25	CRJ9	A	69,1	71,3	80,3
8	08-02-2023 18:51:00	E75S	A	69,8	71,9	81,2
8	08-02-2023 18:53:56	A320	A	70,8	73,4	82,3
8	08-02-2023 18:57:21	E75S	A	69,9	71,8	80,7
8	08-02-2023 19:00:07	E195	A	72,2	75,5	84,8
8	08-02-2023 19:03:10	E170	A	69,8	72,1	80,6
8	08-02-2023 19:05:34	B788	A	71,4	74,7	84,2
8	08-02-2023 19:09:26	BCS1	A	68,5	70,0	78,0
8	08-02-2023 19:12:36	E75S	A	70,8	73,3	81,6
8	08-02-2023 19:16:10	B38M	A	70,7	74,0	83,0
8	08-02-2023 19:18:41	A321	A	71,3	74,5	83,1
8	08-02-2023 19:32:18	E190	A	70,6	72,8	81,7
8	08-02-2023 19:35:17	B738	A	72,4	75,4	83,9
8	08-02-2023 19:37:40	E75S	A	69,2	70,9	79,6
8	08-02-2023 19:52:40	E195	A	72,1	74,5	83,5
8	08-02-2023 19:55:06	E170	A	69,7	71,7	80,5
8	08-02-2023 19:58:01	B38M	A	70,8	73,3	81,9
8	08-02-2023 20:45:59	E170	A	70,2	72,1	81,0
8	08-02-2023 20:48:18	E170	A	69,9	72,3	81,3
8	08-02-2023 20:52:30	B38M	A	69,4	71,7	80,6
8	08-02-2023 20:54:25	E195	A	71,0	73,5	82,7
8	08-02-2023 20:56:53	E195	A	71,7	74,0	82,9
8	08-02-2023 21:05:36	W3	A	74,3	78,8	88,1
8	08-02-2023 21:13:21	E190	A	72,0	75,0	84,0
8	08-02-2023 21:15:59	E170	A	69,3	71,4	80,5
8	08-02-2023 21:18:38	E75S	A	70,3	72,4	81,1
8	08-02-2023 21:20:30	E195	A	72,3	75,4	84,0
8	08-02-2023 21:25:25	E195	A	71,7	75,1	84,3
8	08-02-2023 21:29:20	E195	A	71,1	73,7	82,9
8	08-02-2023 21:32:35	E190	A	71,4	73,2	82,5
8	08-02-2023 21:35:11	E195	A	71,9	74,8	83,7
8	08-02-2023 21:37:46	E190	A	71,2	74,7	83,0
8	08-02-2023 21:39:35	E195	A	70,9	73,1	82,6
8	08-02-2023 21:42:51	B38M	A	72,1	75,5	83,2
8	08-02-2023 21:44:53	E75S	A	68,9	70,6	80,0
8	08-02-2023 21:48:25	E195	A	71,9	75,0	83,6
8	08-02-2023 21:50:01	B738	A	71,8	74,3	83,5
8	08-02-2023 21:52:06	E75S	A	70,7	73,2	82,7
8	08-02-2023 21:54:29	E75S	A	69,9	72,0	81,1
8	08-02-2023 21:56:30	A320	A	70,8	73,7	82,2
8	09-02-2023 06:10:01	E195	A	71,6	74,2	82,7
8	09-02-2023 06:11:39	B738	A	71,2	73,5	82,6
8	09-02-2023 06:13:32	E75S	A	70,7	72,9	80,7
8	09-02-2023 06:15:34	E190	A	71,2	72,8	81,6
8	09-02-2023 06:22:47	B734	A	74,2	78,2	86,5
8	09-02-2023 06:24:34	E195	A	71,0	73,8	82,4
8	09-02-2023 06:26:33	E170	A	70,6	71,8	80,1
8	09-02-2023 06:28:21	E75S	A	70,0	71,5	80,0
8	09-02-2023 06:30:36	E195	A	71,2	73,8	82,7
8	09-02-2023 06:33:57	E75S	A	69,9	72,0	80,7
8	09-02-2023 06:39:18	B738	A	71,1	73,0	81,5
8	09-02-2023 07:52:39	E190	A	70,9	73,3	82,1
8	09-02-2023 08:26:32	B737	A	72,1	74,0	82,5
8	09-02-2023 08:30:06	E75S	A	70,0	71,5	79,6
8	09-02-2023 08:32:19	A320	A	71,6	73,3	82,0

Nr punktu pomiarowego	Data i godz. zdarzenia	Samolot	Operacja*	$L_{Aeq}$	$L_{Amax}$	$L_{AE}$
				[dB]	[dB]	[dB]
8	09-02-2023 08:34:17	E170	A	69,4	70,7	79,4
8	09-02-2023 08:37:30	E195	A	72,5	74,6	83,6
8	09-02-2023 08:46:30	E75S	A	69,7	71,2	79,7
8	09-02-2023 08:49:18	E190	A	70,6	72,2	80,6
8	09-02-2023 09:01:53	A21N	A	70,8	73,0	81,6
8	09-02-2023 09:12:27	A320	A	72,0	74,8	83,1
8	09-02-2023 09:15:36	E170	A	69,6	70,7	78,6
8	09-02-2023 09:20:03	CRJ9	A	69,6	70,7	79,6
8	09-02-2023 09:23:01	E190	A	71,4	73,8	82,2
8	09-02-2023 09:35:08	E75S	A	69,0	71,1	79,0
8	09-02-2023 09:39:42	E170	A	69,5	71,3	78,5
8	09-02-2023 09:43:53	E75S	A	69,7	71,2	78,7
8	09-02-2023 09:46:14	E75S	A	69,6	71,2	79,2
8	09-02-2023 10:23:45	E190	A	70,8	73,2	81,6
8	09-02-2023 10:42:23	E170	A	70,1	72,5	80,1
8	09-02-2023 10:44:49	E195	A	71,5	75,2	83,5
8	09-02-2023 11:12:50	B77W	A	73,3	77,6	86,1
8	09-02-2023 11:15:33	E195	A	70,8	73,4	82,0
8	09-02-2023 11:19:58	A321	A	70,3	72,3	80,3
8	09-02-2023 11:33:36	E190	A	72,8	75,9	83,6
8	09-02-2023 11:35:30	A321	A	70,1	73,3	81,2
8	09-02-2023 11:39:21	A321	A	70,4	72,2	79,5
8	09-02-2023 11:42:09	A321	A	70,4	73,2	80,8
8	09-02-2023 11:45:30	B737	A	70,8	73,0	81,6
8	09-02-2023 11:47:58	B738	A	71,4	73,2	81,4
8	09-02-2023 11:50:35	E75S	A	70,9	73,0	79,9
8	09-02-2023 11:53:07	A21N	A	70,0	72,8	80,5
8	09-02-2023 12:05:17	E190	A	70,1	72,3	80,5
8	09-02-2023 12:07:48	B788	A	70,9	73,4	82,0
8	09-02-2023 12:10:28	E170	A	70,4	72,4	79,4
8	09-02-2023 12:16:44	B789	A	71,3	74,7	83,1
8	09-02-2023 12:18:56	E75S	A	68,9	70,1	77,9
8	09-02-2023 12:20:25	B38M	A	69,7	71,9	80,1
8	09-02-2023 12:22:33	E170	A	69,2	70,2	78,7
8	09-02-2023 12:24:26	E195	A	71,8	74,1	82,6
8	09-02-2023 12:25:54	E190	A	71,7	73,6	81,7
8	09-02-2023 12:27:59	E195	A	71,1	73,9	82,3
8	09-02-2023 12:29:51	B788	A	72,2	78,0	85,3
8	09-02-2023 12:32:18	B789	A	71,5	73,9	82,7
8	09-02-2023 12:34:23	E190	A	70,8	72,6	81,2
8	09-02-2023 12:37:26	E75S	A	69,8	71,5	78,8
8	09-02-2023 12:38:50	E75S	A	70,8	73,8	82,2
8	09-02-2023 12:40:25	E190	A	70,2	72,0	80,6
8	09-02-2023 12:41:55	E195	A	71,0	73,6	82,2
8	09-02-2023 12:47:57	BCS3	A	69,2	71,4	79,2
8	09-02-2023 12:49:52	B738	A	71,5	74,1	82,3
8	09-02-2023 12:53:26	E75S	A	69,7	71,5	80,1
8	09-02-2023 13:04:44	A319	A	71,8	74,9	82,2
8	09-02-2023 13:06:42	E195	A	72,2	74,9	82,7
8	09-02-2023 13:18:16	E75S	A	68,8	71,8	80,3
8	09-02-2023 13:21:22	B788	A	70,4	73,5	84,2
8	09-02-2023 13:35:46	A321	A	70,2	72,9	81,0
8	09-02-2023 13:42:55	E170	A	69,4	70,6	79,4
8	09-02-2023 13:45:19	E170	A	70,4	73,0	80,8
8	09-02-2023 13:48:09	A21N	A	70,8	72,8	80,4
8	09-02-2023 13:50:03	E75S	A	70,3	73,6	80,3
8	09-02-2023 14:00:18	B38M	A	72,0	74,4	82,4

Nr punktu pomiarowego	Data i godz. zdarzenia	Samolot	Operacja*	$L_{Aeq}$	$L_{Amax}$	$L_{AE}$
				[dB]	[dB]	[dB]
8	09-02-2023 14:14:27	B738	A	71,9	74,9	82,7
8	09-02-2023 14:34:47	E190	A	72,0	74,4	82,0
8	09-02-2023 14:43:37	E75S	A	71,6	73,7	81,6
8	09-02-2023 14:46:10	A21N	A	70,2	72,1	80,2
8	09-02-2023 14:58:22	E75S	A	69,4	71,2	79,4
8	09-02-2023 15:05:11	B738	A	71,9	76,8	84,2
8	09-02-2023 15:15:49	B789	A	71,4	73,6	83,2
8	09-02-2023 15:19:07	E75S	A	70,0	71,4	79,1
8	09-02-2023 15:28:54	E75S	A	69,4	70,6	79,0
8	09-02-2023 15:31:52	E75S	A	69,9	71,5	79,9
8	09-02-2023 15:34:41	E195	A	71,3	74,8	82,4
8	09-02-2023 15:38:58	E190	A	71,6	74,4	82,4
8	09-02-2023 15:43:31	E190	A	71,4	73,3	81,4
8	09-02-2023 15:45:21	E195	A	72,3	75,2	82,7
8	09-02-2023 15:47:12	E195	A	71,5	74,4	82,3
8	09-02-2023 15:49:38	E75S	A	69,7	71,6	79,2
8	09-02-2023 15:51:21	B789	A	71,1	73,3	82,8
8	09-02-2023 15:54:45	E195	A	72,4	76,3	83,2
8	09-02-2023 15:56:52	E75S	A	70,0	72,0	80,0
8	09-02-2023 16:28:48	E190	A	70,2	72,5	80,6
8	09-02-2023 16:42:14	A320	A	70,2	72,0	79,7
8	09-02-2023 16:55:29	A321	A	70,2	72,4	80,6
8	09-02-2023 16:59:57	B789	A	71,4	73,8	82,5
8	09-02-2023 17:07:31	E170	A	69,6	71,1	79,1
8	09-02-2023 17:13:22	B788	A	70,8	73,3	82,5
8	09-02-2023 17:29:29	B788	A	71,1	73,8	82,2
8	09-02-2023 17:39:26	CRJ9	A	69,5	71,4	79,9
8	09-02-2023 17:43:20	E190	A	70,4	72,8	81,6
8	09-02-2023 17:46:55	E75S	A	69,8	72,3	80,2
8	09-02-2023 17:51:46	E170	A	70,0	71,5	79,1
8	09-02-2023 18:25:40	E195	A	71,1	74,2	82,9
8	09-02-2023 18:27:57	E190	A	70,6	72,8	81,4
8	09-02-2023 18:29:58	E170	A	69,0	70,7	79,4
8	09-02-2023 18:32:11	B738	A	71,7	74,8	83,5
8	09-02-2023 18:35:00	A321	A	69,7	72,1	80,8
8	09-02-2023 18:39:22	CRJ9	A	69,3	71,9	80,1
8	09-02-2023 18:51:03	E195	A	70,9	73,6	81,7
8	09-02-2023 18:53:22	E75S	A	69,9	72,6	81,4
8	09-02-2023 18:55:42	E190	A	71,2	74,8	82,7
8	09-02-2023 18:58:01	E75S	A	70,0	72,3	80,4
8	09-02-2023 18:59:46	E195	A	71,7	74,7	82,1
8	09-02-2023 19:02:02	E75S	A	71,3	74,9	82,4
8	09-02-2023 19:03:59	BCS1	A	69,2	71,4	79,2
8	09-02-2023 19:06:27	B738	A	71,6	75,6	84,1
8	09-02-2023 19:08:48	E190	A	71,8	75,2	83,8
8	09-02-2023 19:10:36	E195	A	71,0	74,9	83,0
8	09-02-2023 19:12:29	E75S	A	69,9	72,6	80,3
8	09-02-2023 19:15:05	E170	A	71,0	73,4	81,8
8	09-02-2023 19:24:32	B38M	A	71,4	74,4	83,1
8	09-02-2023 19:27:26	E75S	A	75,6	81,7	88,6
8	09-02-2023 19:44:20	E195	A	72,1	76,4	83,2
8	09-02-2023 19:46:59	E75S	A	69,8	72,5	80,6
8	09-02-2023 20:24:30	W3	A	72,9	77,7	86,9
8	09-02-2023 20:39:01	E75S	A	69,0	72,6	79,8
8	09-02-2023 20:50:02	E195	A	71,6	75,8	83,6
8	09-02-2023 20:58:23	E190	A	71,6	74,7	82,7
8	09-02-2023 21:02:53	B38M	A	70,2	72,8	81,0

Nr punktu pomiarowego	Data i godz. zdarzenia	Samolot	Operacja*	$L_{Aeq}$	$L_{Amax}$	$L_{AE}$
				[dB]	[dB]	[dB]
8	09-02-2023 21:16:22	E170	A	69,9	72,5	79,9
8	09-02-2023 21:20:30	E195	A	72,2	76,2	83,6
8	09-02-2023 21:22:00	B38M	A	70,3	74,0	82,6
8	09-02-2023 21:23:52	E195	A	70,4	73,9	82,2
8	09-02-2023 21:26:08	E195	A	71,7	75,2	82,5
8	09-02-2023 21:28:18	E75S	A	70,1	72,2	79,6
8	09-02-2023 21:32:40	E75S	A	69,0	71,2	79,4
8	09-02-2023 21:35:22	A21N	A	69,5	72,8	81,0
8	09-02-2023 21:36:53	E195	A	70,4	74,5	82,7
8	09-02-2023 21:38:41	B38M	A	72,9	75,3	83,3
8	09-02-2023 21:41:20	E190	A	70,7	74,2	81,5
8	09-02-2023 21:42:33	E195	A	71,4	74,7	83,1
8	09-02-2023 21:44:35	E75S	A	69,4	71,9	79,4
8	09-02-2023 21:47:14	B738	A	71,5	75,3	84,0
8	09-02-2023 21:50:28	E170	A	70,6	74,6	80,2
8	09-02-2023 21:52:09	BCS3	A	68,4	70,4	77,5
8	09-02-2023 21:57:02	B38M	A	70,3	73,8	82,0
8	09-02-2023 21:59:18	E195	A	70,2	73,2	81,3
8	10-02-2023 06:06:21	B738	D	71,5	75,4	84,7
8	10-02-2023 06:10:43	A321	D	69,0	71,7	83,5
8	10-02-2023 06:19:05	A321	D	69,4	73,3	82,6
8	10-02-2023 06:24:01	A21N	D	69,9	71,9	82,5
8	10-02-2023 06:26:32	A21N	D	68,5	71,1	79,9
8	10-02-2023 06:40:25	B38M	D	67,9	69,3	77,9
8	10-02-2023 06:51:12	A321	D	69,0	71,4	83,7
8	10-02-2023 07:00:37	A321	D	68,0	70,8	82,9
8	10-02-2023 07:08:49	E195	D	68,0	69,7	77,5
8	10-02-2023 07:16:56	E190	D	68,9	71,2	80,4
8	10-02-2023 07:30:27	E195	D	68,6	70,9	81,8
8	10-02-2023 07:32:31	A320	D	68,7	70,7	79,5
8	10-02-2023 07:34:08	E75S	D	68,8	71,5	80,6
8	10-02-2023 07:35:44	E195	D	68,3	71,4	81,6
8	10-02-2023 07:39:13	E195	D	69,1	71,2	81,4
8	10-02-2023 07:40:57	B738	D	68,7	71,2	81,7
8	10-02-2023 07:42:33	E75S	D	69,1	72,3	82,6
8	10-02-2023 07:47:30	E75S	D	68,8	70,1	81,8
8	10-02-2023 07:49:21	B38M	D	67,6	70,1	76,6
8	10-02-2023 07:51:58	E195	D	69,7	74,2	82,2
8	10-02-2023 07:53:40	E170	D	69,1	72,1	83,4
8	10-02-2023 07:56:28	E190	D	72,6	75,5	85,4
8	10-02-2023 07:58:11	E190	D	69,9	72,7	82,7
8	10-02-2023 08:04:52	E195	D	69,4	71,9	82,4
8	10-02-2023 08:07:34	E195	D	73,8	77,5	87,1
8	10-02-2023 08:09:12	B738	D	69,2	72,0	82,4
8	10-02-2023 08:11:37	E170	D	67,6	69,8	80,8
8	10-02-2023 08:16:21	B738	D	71,8	75,7	86,7
8	10-02-2023 08:19:59	E75S	D	72,1	75,1	85,9
8	10-02-2023 08:25:31	B738	D	72,4	76,3	87,9
8	10-02-2023 08:43:24	B738	D	71,3	75,7	86,3
8	10-02-2023 09:07:03	B738	D	72,1	75,1	87,0
8	10-02-2023 09:20:49	B738	D	69,5	72,1	83,4
8	10-02-2023 09:28:40	E190	D	70,2	74,0	84,4
8	10-02-2023 09:30:45	E170	D	69,3	71,1	82,8
8	10-02-2023 09:43:18	A320	D	68,5	70,9	82,1
8	10-02-2023 09:47:16	E195	D	69,4	73,0	82,8
8	10-02-2023 10:01:15	E170	D	68,3	69,8	79,5
8	10-02-2023 10:12:52	E195	D	68,5	72,8	82,5

Nr punktu pomiarowego	Data i godz. zdarzenia	Samolot	Operacja*	$L_{Aeq}$	$L_{Amax}$	$L_{AE}$
				[dB]	[dB]	[dB]
8	10-02-2023 10:17:36	B738	D	70,6	74,5	84,1
8	10-02-2023 10:27:19	E190	D	84,4	93,1	99,5
8	10-02-2023 10:34:20	E75S	D	69,5	72,9	82,7
8	10-02-2023 10:35:40	E75S	D	72,3	75,7	85,7
8	10-02-2023 10:40:25	E170	D	70,0	72,6	82,8
8	10-02-2023 10:47:11	E190	D	69,4	72,3	82,1
8	10-02-2023 10:48:43	A21N	D	68,6	71,4	81,6
8	10-02-2023 10:50:52	E75S	D	70,0	72,8	83,2
8	10-02-2023 10:52:51	E75S	D	69,6	72,1	82,9
8	10-02-2023 10:54:47	E75S	D	70,7	73,4	83,5
8	10-02-2023 10:59:28	E190	D	68,9	71,3	80,6
8	10-02-2023 11:06:03	A21N	D	68,7	71,9	81,0
8	10-02-2023 11:12:07	E195	D	73,6	77,5	87,4
8	10-02-2023 11:21:18	E195	D	68,2	71,3	81,7
8	10-02-2023 11:23:29	B38M	D	68,2	70,7	80,0
8	10-02-2023 11:25:06	E190	D	72,3	75,2	84,6
8	10-02-2023 11:39:33	B38M	D	68,5	70,6	81,1
8	10-02-2023 11:45:36	E195	D	69,4	74,3	82,8
8	10-02-2023 11:50:12	A321	D	67,5	70,9	82,2
8	10-02-2023 11:54:13	E195	D	69,8	74,5	82,2
8	10-02-2023 12:01:52	B738	D	71,5	74,7	84,3
8	10-02-2023 12:23:39	A321	D	68,0	70,3	82,7
8	10-02-2023 12:26:04	E195	D	70,2	73,0	81,7
8	10-02-2023 12:52:17	B738	D	70,4	72,6	84,4
8	10-02-2023 13:03:10	A321	D	68,0	69,6	81,2
8	10-02-2023 13:08:09	B738	D	66,8	68,9	81,7
8	10-02-2023 13:09:39	A321	D	68,4	70,8	84,1
8	10-02-2023 13:13:14	B738	D	73,4	77,4	87,0
8	10-02-2023 13:14:50	E195	D	68,8	70,9	82,0
8	10-02-2023 13:20:08	E190	D	71,2	75,0	85,5
8	10-02-2023 13:28:21	A21N	D	67,0	69,3	80,2
8	10-02-2023 13:29:35	E195	D	68,9	71,8	81,4
8	10-02-2023 13:31:16	E75S	D	69,3	71,0	81,8
8	10-02-2023 13:32:46	E190	D	69,9	72,8	82,9
8	10-02-2023 13:33:58	E75S	D	69,6	72,0	82,8
8	10-02-2023 13:35:43	E75S	D	69,0	72,6	81,8
8	10-02-2023 13:42:42	A321	D	71,1	73,9	85,9
8	10-02-2023 13:46:12	B77W	D	72,2	75,8	85,7
8	10-02-2023 13:48:22	E195	D	70,1	72,6	82,9
8	10-02-2023 13:56:02	E75S	D	71,3	74,2	84,7
8	10-02-2023 14:01:44	A319	D	68,3	70,6	81,5
8	10-02-2023 14:04:33	E195	D	70,3	72,9	83,6
8	10-02-2023 14:14:24	A21N	D	66,4	68,2	77,8
8	10-02-2023 14:32:45	E190	D	68,3	70,6	79,8
8	10-02-2023 14:52:37	B738	D	70,2	73,2	83,4
8	10-02-2023 15:11:36	E195	D	68,0	69,4	78,0
8	10-02-2023 15:15:30	E190	D	69,9	73,5	81,0
8	10-02-2023 15:17:09	E190	D	67,4	69,4	79,2
8	10-02-2023 15:21:09	E75S	D	72,6	75,3	84,0
8	10-02-2023 15:24:50	E170	D	68,5	70,1	80,0
8	10-02-2023 15:30:58	E75S	D	69,0	71,1	81,0
8	10-02-2023 15:38:34	E170	D	69,9	71,8	81,9
8	10-02-2023 15:44:09	E75S	D	67,2	69,7	80,0
8	10-02-2023 15:51:07	B738	D	68,5	71,1	79,9
8	10-02-2023 15:55:05	E75S	D	68,8	72,6	80,9
8	10-02-2023 16:01:09	B38M	D	71,4	74,3	83,7
8	10-02-2023 16:06:29	E75S	D	67,9	69,5	80,7

Nr punktu pomiarowego	Data i godz. zdarzenia	Samolot	Operacja*	$L_{Aeq}$	$L_{Amax}$	$L_{AE}$
				[dB]	[dB]	[dB]
8	10-02-2023 16:08:01	A333	D	68,6	72,5	83,6
8	10-02-2023 16:15:08	A321	D	69,4	73,0	83,9
8	10-02-2023 16:28:52	B738	D	68,1	70,0	82,1
8	10-02-2023 16:36:37	E195	D	68,4	71,4	80,9
8	10-02-2023 16:50:30	B38M	D	68,0	69,8	78,0
8	10-02-2023 16:52:42	E190	D	69,3	71,9	81,9
8	10-02-2023 16:56:25	E195	D	72,5	76,6	85,0
8	10-02-2023 16:57:47	E170	D	67,2	68,0	77,2
8	10-02-2023 16:59:31	E195	D	68,7	71,8	80,5
8	10-02-2023 17:03:00	E190	D	83,8	91,3	99,9
8	10-02-2023 17:06:29	E75S	D	67,4	68,9	78,2
8	10-02-2023 17:10:11	E195	D	73,3	76,4	85,3
8	10-02-2023 17:15:26	E195	D	68,4	70,6	80,4
8	10-02-2023 17:18:15	E75S	D	73,5	77,4	86,5
8	10-02-2023 17:19:43	B38M	D	67,0	68,2	78,1
8	10-02-2023 17:22:02	E190	D	68,3	70,6	78,8
8	10-02-2023 17:26:57	B38M	D	68,6	70,2	80,1
8	10-02-2023 17:29:07	E195	D	69,4	71,1	81,9
8	10-02-2023 17:30:38	A21N	D	68,1	70,1	77,6
8	10-02-2023 17:32:13	E75S	D	69,5	70,9	81,8
8	10-02-2023 17:37:31	E75S	D	69,4	72,2	80,9
8	10-02-2023 17:40:11	E170	D	69,2	70,8	80,3
8	10-02-2023 17:41:43	E75S	D	67,8	69,1	77,4
8	10-02-2023 17:43:57	A319	D	70,3	72,5	82,9
8	10-02-2023 17:45:48	E195	D	74,6	77,8	86,7
8	10-02-2023 17:58:55	E195	D	68,2	70,4	80,7
8	10-02-2023 18:02:23	E170	D	68,7	72,6	83,3
8	10-02-2023 18:06:02	E75S	D	68,3	70,6	81,1
8	10-02-2023 18:47:57	B738	D	68,7	70,6	81,5
8	10-02-2023 19:00:38	A21N	D	68,6	71,0	80,6
8	10-02-2023 19:02:21	A321	D	67,2	69,6	81,4
8	10-02-2023 19:08:13	A320	D	65,9	67,8	78,0
8	10-02-2023 19:25:57	A321	D	66,3	67,8	75,9
8	10-02-2023 19:30:17	CRJ9	D	66,8	69,5	78,0
8	10-02-2023 19:32:27	B738	D	69,0	73,0	82,3
8	10-02-2023 19:34:18	A321	D	66,9	68,8	79,2
8	10-02-2023 19:41:18	E190	D	70,8	75,2	85,1
8	10-02-2023 19:45:36	A321	D	72,3	76,0	87,4
8	10-02-2023 19:47:08	E195	D	66,4	68,5	78,4
8	10-02-2023 19:48:53	CRJ9	D	66,8	68,2	76,8
8	10-02-2023 19:59:00	A333	D	67,5	70,5	83,7
8	10-02-2023 20:03:22	E190	D	70,0	72,7	82,8
8	10-02-2023 20:09:22	E75S	D	72,3	75,5	85,3
8	10-02-2023 20:11:11	E190	D	70,0	73,0	82,8
8	10-02-2023 20:12:32	E170	D	69,6	72,0	82,9
8	10-02-2023 20:27:40	E170	D	69,5	71,5	82,8
8	10-02-2023 20:29:13	E170	D	70,5	73,0	84,3
8	10-02-2023 20:35:23	E190	D	70,5	72,7	83,5
8	10-02-2023 20:37:16	E75S	D	70,2	72,1	84,0
8	10-02-2023 20:41:28	E170	D	68,4	70,4	81,6
8	10-02-2023 20:48:43	B38M	D	69,7	72,3	82,0
8	10-02-2023 21:04:23	E75S	D	69,7	72,4	83,1
8	10-02-2023 21:13:25	B38M	D	67,7	69,2	80,0
8	10-02-2023 21:18:50	B738	D	70,9	73,5	83,4
8	10-02-2023 21:20:10	B763	D	68,8	71,2	82,8
8	10-02-2023 21:57:14	B734	D	69,4	73,1	84,2
8	11-02-2023 06:09:23	A21N	D	70,2	72,7	82,5

Nr punktu pomiarowego	Data i godz. zdarzenia	Samolot	Operacja*	$L_{Aeq}$	$L_{Amax}$	$L_{AE}$
				[dB]	[dB]	[dB]
8	11-02-2023 06:14:19	A321	D	68,7	71,4	83,8
8	11-02-2023 06:15:45	B738	D	70,7	75,2	85,0
8	11-02-2023 06:19:04	A321	D	68,5	72,2	84,6
8	11-02-2023 06:21:19	A319	D	67,1	69,3	80,3
8	11-02-2023 06:27:33	A321	D	68,6	71,1	80,1
8	11-02-2023 06:29:24	A21N	D	68,7	72,6	79,8
8	11-02-2023 06:53:01	A321	D	69,0	72,1	83,6
8	11-02-2023 06:55:04	A321	D	68,8	71,2	84,0
8	11-02-2023 06:59:06	E195	D	68,7	72,9	83,3
8	11-02-2023 07:06:15	B38M	D	68,1	70,5	80,1
8	11-02-2023 07:10:38	A21N	D	68,6	71,4	80,7
8	11-02-2023 07:13:07	B38M	D	68,4	70,6	80,5
8	11-02-2023 07:26:12	E190	D	69,9	72,7	81,4
8	11-02-2023 07:37:23	A21N	D	67,8	70,3	80,4
8	11-02-2023 07:38:59	E190	D	67,2	69,5	79,0
8	11-02-2023 07:40:33	A320	D	70,2	73,3	81,4
8	11-02-2023 07:47:49	E75S	D	68,5	71,5	78,5
8	11-02-2023 07:49:13	E195	D	70,4	73,9	83,4
8	11-02-2023 07:50:36	B38M	D	67,3	69,1	79,6
8	11-02-2023 07:51:58	E195	D	68,8	71,0	81,4
8	11-02-2023 07:53:19	E195	D	70,6	74,7	83,4
8	11-02-2023 07:54:34	E75S	D	68,1	72,1	82,8
8	11-02-2023 07:56:17	E170	D	68,7	72,2	82,5
8	11-02-2023 07:57:38	E170	D	67,7	69,8	77,2
8	11-02-2023 07:59:31	B38M	D	68,2	69,6	78,2
8	11-02-2023 08:04:10	B738	D	74,2	78,0	87,8
8	11-02-2023 08:05:37	E195	D	69,1	73,5	82,6
8	11-02-2023 08:09:45	A320	D	68,1	70,2	79,6
8	11-02-2023 08:12:47	E195	D	69,0	71,6	81,8
8	11-02-2023 08:17:59	E75S	D	71,5	76,6	85,8
8	11-02-2023 08:21:08	E190	D	70,6	74,8	83,6
8	11-02-2023 08:35:53	E195	D	71,0	73,4	84,0
8	11-02-2023 09:07:13	E190	D	68,5	72,2	81,5
8	11-02-2023 09:31:12	E170	D	66,7	69,0	80,1
8	11-02-2023 09:33:01	B738	D	67,4	71,3	80,2
8	11-02-2023 10:03:10	A321	D	66,9	68,4	76,9
8	11-02-2023 10:09:54	E195	D	86,2	92,5	100,4
8	11-02-2023 10:57:46	E195	D	67,0	69,0	77,0
8	11-02-2023 11:01:33	E75S	D	70,7	73,0	82,2
8	11-02-2023 11:04:06	B738	D	66,7	69,6	77,9
8	11-02-2023 11:05:36	E75S	D	70,8	72,5	82,8
8	11-02-2023 11:06:59	B38M	D	67,5	69,7	78,3
8	11-02-2023 11:08:58	E170	D	66,3	67,4	75,8
8	11-02-2023 11:10:30	E190	D	67,4	69,9	78,2
8	11-02-2023 11:16:00	B738	D	67,2	68,6	77,2
8	11-02-2023 11:18:06	E75S	D	66,7	68,1	75,7
8	11-02-2023 11:30:16	E195	D	67,1	68,5	78,6
8	11-02-2023 11:36:45	B738	D	67,3	69,9	77,3
8	11-02-2023 11:40:36	B738	D	68,8	71,7	80,8
8	11-02-2023 12:57:41	B737	D	68,3	69,8	81,1
8	11-02-2023 13:02:53	A321	D	66,3	68,4	75,3
8	11-02-2023 13:29:02	E195	D	66,4	67,8	77,2
8	11-02-2023 13:33:51	E75S	D	66,8	67,6	75,8
8	11-02-2023 13:39:13	E190	D	68,4	69,5	78,0
8	11-02-2023 13:41:33	A320	D	76,6	83,8	90,9
8	11-02-2023 14:18:07	B738	D	66,4	70,0	77,8
8	11-02-2023 14:20:31	E190	D	67,6	69,2	78,0

Nr punktu pomiarowego	Data i godz. zdarzenia	Samolot	Operacja*	$L_{Aeq}$	$L_{Amax}$	$L_{AE}$
				[dB]	[dB]	[dB]
8	11-02-2023 14:24:18	B77W	D	67,7	70,8	81,0
8	11-02-2023 14:27:23	C17	D	67,9	70,3	84,6
8	11-02-2023 14:42:44	A21N	D	69,5	72,1	79,5
8	11-02-2023 14:47:07	A321	D	67,2	70,2	80,2
8	11-02-2023 15:11:05	E190	D	68,3	70,6	80,3
8	11-02-2023 15:12:44	A21N	D	65,7	68,2	76,5
8	11-02-2023 15:30:35	E195	D	67,7	70,5	81,0
8	11-02-2023 15:37:25	A321	D	66,8	68,5	79,6
8	11-02-2023 15:39:32	E195	D	67,7	69,3	79,4
8	11-02-2023 15:46:26	E190	D	69,9	73,2	82,2
8	11-02-2023 16:09:24	B738	D	68,7	72,0	83,4
8	11-02-2023 16:43:29	C17	D	68,4	71,6	84,2
8	11-02-2023 16:48:58	A21N	D	66,7	68,0	77,1
8	11-02-2023 16:52:01	E75S	D	67,7	69,8	79,1
8	11-02-2023 16:53:32	E195	D	67,6	69,8	79,7
8	11-02-2023 16:55:23	E75S	D	66,6	67,8	78,9
8	11-02-2023 16:56:56	E190	D	70,2	72,9	82,0
8	11-02-2023 17:07:44	E195	D	67,2	70,0	80,5
8	11-02-2023 17:12:48	B738	D	66,9	68,7	77,3
8	11-02-2023 17:19:31	E190	D	71,8	74,3	83,6
8	11-02-2023 17:24:28	E75S	D	67,1	69,4	79,9
8	11-02-2023 17:28:23	E170	D	66,7	68,7	80,0
8	11-02-2023 17:31:44	A321	D	67,9	69,6	80,2
8	11-02-2023 17:33:23	E195	D	69,2	70,5	78,2
8	11-02-2023 17:36:31	B738	D	68,7	70,9	81,9
8	11-02-2023 19:23:10	E190	D	69,0	71,9	82,7
8	11-02-2023 19:43:26	A320	D	65,9	67,8	75,5
8	11-02-2023 20:08:26	E170	D	70,1	74,6	83,4
8	11-02-2023 20:12:43	E195	D	69,4	73,1	81,4
8	11-02-2023 20:14:05	E195	D	68,6	70,5	80,6
8	11-02-2023 20:35:28	A21N	D	68,1	71,7	79,9
8	11-02-2023 21:05:01	B38M	D	66,9	68,3	80,3
8	11-02-2023 21:12:52	E75S	D	73,1	77,2	87,0
8	12-02-2023 06:02:23	A21N	D	70,3	72,0	81,8
8	12-02-2023 06:05:40	A321	D	70,7	73,6	84,5
8	12-02-2023 06:09:00	A319	D	67,7	72,0	81,5
8	12-02-2023 06:10:21	A321	D	70,7	73,4	84,5
8	12-02-2023 06:11:57	B38M	D	68,1	70,8	79,8
8	12-02-2023 06:13:05	B738	D	71,3	74,8	84,9
8	12-02-2023 06:31:43	E75S	A	71,6	73,8	82,0
8	12-02-2023 06:36:02	A21N	D	69,4	71,5	81,1
8	12-02-2023 06:38:43	A321	D	70,4	72,4	84,2
8	12-02-2023 06:57:32	A321	D	71,3	73,0	84,8
8	12-02-2023 07:20:37	A321	D	70,6	73,8	84,4
8	12-02-2023 07:22:16	A320	D	68,7	71,5	81,5
8	12-02-2023 07:24:05	A320	D	68,0	69,3	79,8
8	12-02-2023 07:28:31	E75S	D	69,5	71,5	82,0
8	12-02-2023 07:32:24	E195	D	70,5	73,0	82,6
8	12-02-2023 07:42:55	E190	D	72,8	75,3	84,8
8	12-02-2023 07:46:36	E190	D	70,6	73,5	82,9
8	12-02-2023 07:47:56	E75S	D	70,3	72,0	82,6
8	12-02-2023 07:52:24	E75S	D	70,2	72,5	82,7
8	12-02-2023 07:53:59	E75S	D	70,7	72,7	82,8
8	12-02-2023 07:57:35	B38M	D	68,7	70,3	79,9
8	12-02-2023 08:00:27	B38M	D	68,6	70,5	79,8
8	12-02-2023 08:02:10	E75S	D	71,0	73,1	84,0
8	12-02-2023 08:03:39	E170	D	69,9	71,8	82,2

Nr punktu pomiarowego	Data i godz. zdarzenia	Samolot	Operacja*	$L_{Aeq}$	$L_{Amax}$	$L_{AE}$
				[dB]	[dB]	[dB]
8	12-02-2023 08:05:37	B38M	D	68,5	69,9	79,7
8	12-02-2023 08:08:16	B738	D	73,8	77,0	86,1
8	12-02-2023 08:10:47	E195	D	71,1	73,4	83,1
8	12-02-2023 08:14:37	E75S	D	75,7	79,3	89,2
8	12-02-2023 08:26:51	B738	D	72,9	75,9	86,9
8	12-02-2023 08:28:26	A21N	D	68,4	70,1	80,9
8	12-02-2023 08:54:10	E190	D	73,8	77,7	87,7
8	12-02-2023 09:16:03	E75S	D	70,7	73,2	83,5
8	12-02-2023 09:24:13	B738	D	71,4	74,4	85,2
8	12-02-2023 09:28:23	B738	D	71,1	73,7	83,1
8	12-02-2023 09:38:21	B738	D	71,9	75,1	85,7
8	12-02-2023 10:02:58	M28	D	70,6	73,4	79,7
8	12-02-2023 10:21:41	E75S	D	71,1	72,6	83,1
8	12-02-2023 10:25:47	E170	D	69,6	72,5	81,9
8	12-02-2023 10:35:40	B738	D	71,5	73,9	85,3
8	12-02-2023 10:45:12	E190	D	68,1	70,9	80,9
8	12-02-2023 10:50:54	E190	D	72,9	76,0	84,7
8	12-02-2023 10:52:10	E170	D	69,7	71,9	82,0
8	12-02-2023 10:53:35	E195	D	71,2	74,2	83,8
8	12-02-2023 10:54:50	E75S	D	74,2	76,5	86,0
8	12-02-2023 10:56:37	B738	D	71,8	75,4	85,4
8	12-02-2023 10:59:43	E75S	D	73,1	76,0	85,6
8	12-02-2023 11:05:41	E75S	D	70,7	73,3	83,2
8	12-02-2023 11:08:12	B38M	D	69,1	70,7	80,8
8	12-02-2023 11:17:13	E195	D	72,7	76,4	85,0
8	12-02-2023 11:18:57	A21N	D	69,8	72,0	81,9
8	12-02-2023 11:34:15	E195	D	71,0	73,3	81,8
8	12-02-2023 11:36:13	E170	D	69,9	71,9	82,9
8	12-02-2023 11:41:20	E75S	D	69,0	71,3	81,8
8	12-02-2023 12:08:07	E195	D	73,6	78,1	87,1
8	12-02-2023 12:57:23	B738	D	71,4	73,8	84,2
8	12-02-2023 13:01:38	A321	D	69,6	72,7	84,2
8	12-02-2023 13:04:06	E190	D	70,4	73,2	84,0
8	12-02-2023 13:05:40	A320	D	68,3	72,3	81,1
8	12-02-2023 13:09:38	E195	D	70,5	72,6	82,8
8	12-02-2023 13:15:43	A321	D	70,3	73,4	85,0
8	12-02-2023 13:18:29	A321	D	69,7	75,0	84,2
8	12-02-2023 13:22:36	E75S	D	71,2	73,1	83,5
8	12-02-2023 13:25:59	A21N	D	68,6	70,8	80,9
8	12-02-2023 13:27:53	E75S	D	74,1	77,0	85,8
8	12-02-2023 13:31:11	E190	D	70,7	74,0	82,2
8	12-02-2023 13:32:45	E195	D	73,5	77,1	85,8
8	12-02-2023 13:37:02	E75S	D	69,6	72,5	82,2
8	12-02-2023 13:38:52	A321	D	69,6	71,4	82,8
8	12-02-2023 13:41:06	E190	D	70,4	72,6	81,8
8	12-02-2023 13:54:35	E170	D	72,7	75,2	85,3
8	12-02-2023 14:05:04	E170	D	67,4	69,3	77,0
8	12-02-2023 14:19:13	B77W	D	72,4	74,8	86,3
8	12-02-2023 14:22:11	A319	D	68,4	70,6	81,4
8	12-02-2023 14:25:57	E190	D	73,3	76,9	86,1
8	12-02-2023 14:29:56	B38M	D	69,8	71,1	81,8
8	12-02-2023 14:56:30	A21N	D	68,7	69,6	78,7
8	12-02-2023 15:00:56	E170	D	73,9	77,6	87,2
8	12-02-2023 15:02:35	E75S	D	71,2	72,9	83,5
8	12-02-2023 15:05:59	E195	D	69,0	71,0	81,3
8	12-02-2023 15:13:49	E75S	D	70,6	73,2	83,1
8	12-02-2023 15:16:33	E195	D	68,8	71,7	82,1

Nr punktu pomiarowego	Data i godz. zdarzenia	Samolot	Operacja*	$L_{Aeq}$	$L_{Amax}$	$L_{AE}$
				[dB]	[dB]	[dB]
8	12-02-2023 15:18:55	E75S	D	71,3	74,0	84,1
8	12-02-2023 15:32:24	E170	D	73,7	77,0	86,0
8	12-02-2023 15:47:33	A21N	D	68,5	69,8	80,5
8	12-02-2023 15:52:28	E190	D	70,0	73,2	81,5
8	12-02-2023 15:54:06	B38M	D	67,7	70,1	80,0
8	12-02-2023 15:55:22	E190	D	87,8	92,7	103,7
8	12-02-2023 15:59:08	B738	D	69,0	71,3	83,6
8	12-02-2023 16:01:34	E75S	D	70,6	73,2	83,8
8	12-02-2023 16:04:18	E75S	D	73,4	75,9	85,9
8	12-02-2023 16:06:01	E75S	D	70,4	73,0	83,6
8	12-02-2023 16:21:18	A333	D	70,3	73,7	85,1
8	12-02-2023 16:38:46	E195	D	70,4	72,8	83,0
8	12-02-2023 16:40:16	E195	D	71,3	74,2	84,1
8	12-02-2023 16:42:51	E190	D	71,2	74,0	84,0
8	12-02-2023 16:46:44	E170	D	72,1	74,7	84,6
8	12-02-2023 16:48:14	A321	D	68,9	70,9	82,7
8	12-02-2023 16:50:58	E170	D	69,7	71,4	81,7
8	12-02-2023 16:52:53	E195	D	71,7	74,0	84,2
8	12-02-2023 17:02:01	E190	D	69,5	70,9	81,2
8	12-02-2023 17:10:07	E75S	D	68,6	70,2	80,9
8	12-02-2023 17:11:59	E195	D	70,3	72,0	82,3
8	12-02-2023 17:15:56	E195	D	69,9	71,2	82,2
8	12-02-2023 17:17:10	B38M	D	72,6	75,1	84,3
8	12-02-2023 17:21:48	E190	D	73,3	76,1	85,1
8	12-02-2023 17:23:13	E75S	D	68,8	70,5	80,9
8	12-02-2023 17:26:50	E75S	D	69,0	70,1	81,7
8	12-02-2023 17:30:42	E75S	D	71,3	73,4	83,3
8	12-02-2023 17:32:26	E195	D	69,5	71,3	81,8
8	12-02-2023 17:35:30	B38M	D	68,0	68,7	79,1
8	12-02-2023 17:36:37	E170	D	68,3	69,1	80,9
8	12-02-2023 17:38:23	E195	D	69,5	71,3	81,8
8	12-02-2023 17:39:54	E195	D	72,7	80,0	88,5
8	12-02-2023 17:45:29	E75S	D	69,5	70,9	82,3
8	12-02-2023 17:53:13	E190	D	69,3	70,8	83,3
8	12-02-2023 17:57:49	A321	D	70,3	71,5	84,1
8	12-02-2023 17:59:14	B738	D	71,3	73,3	84,5
8	12-02-2023 18:02:00	E170	D	68,5	69,5	81,2
8	12-02-2023 18:03:38	A321	D	68,3	69,8	82,1
8	12-02-2023 18:05:58	A321	D	68,3	69,7	82,3
8	12-02-2023 18:33:39	CRJ9	D	69,0	70,8	82,4
8	12-02-2023 18:35:50	E75S	D	69,6	72,0	83,7
8	12-02-2023 19:26:02	A321	D	68,5	71,1	83,4
8	12-02-2023 19:37:15	E190	D	67,1	68,5	79,4
8	12-02-2023 19:38:20	A319	D	72,6	75,6	85,6
8	12-02-2023 19:39:44	A319	D	68,0	69,8	80,8
8	12-02-2023 19:45:22	E195	D	67,6	69,4	80,4
8	12-02-2023 20:11:51	E170	D	66,0	67,1	76,5
8	12-02-2023 20:13:11	E75S	D	67,8	70,2	80,8
8	12-02-2023 20:37:31	E190	D	68,7	71,6	81,9
8	12-02-2023 20:39:14	E75S	D	67,5	69,6	81,2
8	12-02-2023 20:44:34	E75S	D	69,1	70,8	81,9
8	12-02-2023 20:45:53	E190	D	66,0	67,3	75,5
8	12-02-2023 20:51:00	E195	D	73,2	77,3	86,0
8	12-02-2023 20:52:33	E195	D	68,4	70,7	81,4
8	12-02-2023 21:00:24	E75S	D	68,2	70,4	81,2
8	12-02-2023 21:02:09	B38M	D	67,1	68,6	78,8
8	12-02-2023 21:15:07	A21N	D	67,8	69,5	81,2

Nr punktu pomiarowego	Data i godz. zdarzenia	Samolot	Operacja*	$L_{Aeq}$	$L_{Amax}$	$L_{AE}$
				[dB]	[dB]	[dB]
8	12-02-2023 21:21:21	B738	D	70,6	73,5	83,9
8	13-02-2023 06:01:27	A21N	D	69,2	72,0	82,0
8	13-02-2023 06:08:37	A321	D	69,6	73,6	84,9
8	13-02-2023 06:10:50	B737	D	70,7	72,6	83,9
8	13-02-2023 06:16:07	A21N	D	68,4	71,0	82,2
8	13-02-2023 06:17:58	A21N	D	68,2	70,0	81,0
8	13-02-2023 06:25:38	B38M	D	68,8	71,1	82,4
8	13-02-2023 06:30:33	A319	D	67,4	69,0	78,6
8	13-02-2023 06:37:37	A321	D	70,2	72,3	85,4
8	13-02-2023 06:51:45	E195	D	69,5	73,5	83,8
8	13-02-2023 06:59:36	BCS3	D	67,4	69,0	76,4
8	13-02-2023 07:07:34	A321	D	71,1	74,1	86,0
8	13-02-2023 07:17:54	A21N	D	69,1	71,8	82,7
8	13-02-2023 07:19:52	E75S	D	69,2	70,9	82,4
8	13-02-2023 07:22:20	A20N	D	70,0	73,7	81,5
8	13-02-2023 07:29:54	E170	D	69,8	71,0	82,4
8	13-02-2023 07:31:27	E170	D	70,3	72,7	82,6
8	13-02-2023 07:34:35	E190	D	69,7	73,0	82,3
8	13-02-2023 07:36:14	E195	D	70,0	73,2	83,0
8	13-02-2023 07:38:12	E195	D	70,9	75,2	84,1
8	13-02-2023 07:45:41	E170	D	70,3	73,1	82,6
8	13-02-2023 07:47:07	B38M	D	68,4	71,1	81,8
8	13-02-2023 07:48:49	E190	D	70,0	73,2	82,7
8	13-02-2023 07:50:33	E75S	D	70,7	73,0	82,7
8	13-02-2023 07:52:04	E75S	D	71,0	73,2	84,4
8	13-02-2023 07:53:42	E195	D	69,7	71,9	82,4
8	13-02-2023 07:55:17	B38M	D	69,5	71,3	82,5
8	13-02-2023 07:57:20	E195	D	70,1	73,0	83,4
8	13-02-2023 07:59:17	E195	D	69,1	71,7	82,1
8	13-02-2023 08:00:38	E75S	D	69,0	72,4	83,7
8	13-02-2023 08:02:16	B738	D	70,2	73,6	84,0
8	13-02-2023 08:03:49	E170	D	70,6	73,8	83,8
8	13-02-2023 08:11:46	E190	D	73,5	78,2	87,1
8	13-02-2023 08:18:41	A320	D	68,9	71,4	81,2
8	13-02-2023 08:20:54	B738	D	72,8	75,5	87,4
8	13-02-2023 08:22:58	E190	D	72,0	75,3	85,2
8	13-02-2023 08:26:44	E190	D	70,7	72,9	83,5
8	13-02-2023 08:29:28	E75S	D	71,0	75,0	83,8
8	13-02-2023 08:56:42	B38M	D	68,5	71,2	82,3
8	13-02-2023 09:03:52	E190	D	69,4	71,6	82,1
8	13-02-2023 09:07:44	B738	D	71,3	74,8	86,7
8	13-02-2023 09:12:12	B738	D	71,2	74,4	86,4
8	13-02-2023 09:22:18	E195	D	73,3	78,1	88,0
8	13-02-2023 09:24:45	E75S	D	67,3	68,7	80,1
8	13-02-2023 09:29:14	E170	D	67,6	70,5	82,2
8	13-02-2023 09:38:54	B738	D	71,3	74,3	86,3
8	13-02-2023 09:40:03	A320	D	69,5	73,2	83,5
8	13-02-2023 09:45:43	CRJ9	D	69,3	72,6	84,1
8	13-02-2023 09:57:20	A21N	D	67,6	69,4	80,6
8	13-02-2023 10:01:50	E170	D	69,0	72,4	83,0
8	13-02-2023 10:03:27	CRJ9	D	68,7	70,7	78,7
8	13-02-2023 10:11:09	B738	D	70,5	74,0	85,3
8	13-02-2023 10:14:36	E195	D	68,9	70,3	83,0
8	13-02-2023 10:23:44	B38M	D	68,6	71,1	81,8
8	13-02-2023 10:32:17	B738	D	71,0	72,4	82,7
8	13-02-2023 10:34:29	E190	D	71,8	75,6	85,2
8	13-02-2023 10:36:37	E170	D	69,4	72,6	82,8

Nr punktu pomiarowego	Data i godz. zdarzenia	Samolot	Operacja*	$L_{Aeq}$	$L_{Amax}$	$L_{AE}$
				[dB]	[dB]	[dB]
8	13-02-2023 10:38:00	E170	D	70,4	73,3	84,2
8	13-02-2023 10:46:59	E75S	D	71,0	75,0	84,4
8	13-02-2023 10:53:12	E190	D	70,0	72,3	83,0
8	13-02-2023 10:54:51	E75S	D	72,1	75,5	85,9
8	13-02-2023 10:56:51	E75S	D	73,5	76,5	86,7
8	13-02-2023 10:58:37	E75S	D	69,4	71,1	81,7
8	13-02-2023 11:06:06	E195	D	70,8	73,8	84,0
8	13-02-2023 11:08:06	E195	D	69,2	71,2	82,4
8	13-02-2023 11:09:28	B38M	D	69,0	71,1	82,0
8	13-02-2023 11:10:52	E75S	D	73,7	77,3	86,5
8	13-02-2023 11:12:29	A21N	D	68,5	71,8	80,8
8	13-02-2023 11:19:05	E195	D	68,4	72,3	82,0
8	13-02-2023 11:32:14	B38M	D	68,1	70,1	79,6
8	13-02-2023 11:41:32	B738	D	69,1	72,6	83,5
8	13-02-2023 11:47:45	E75S	D	69,3	71,9	81,9
8	13-02-2023 11:57:26	CL35	D	67,0	68,9	79,5
8	13-02-2023 11:59:37	E75S	D	68,8	72,1	82,6
8	13-02-2023 12:10:02	A321	D	69,8	72,0	84,6
8	13-02-2023 12:14:24	E170	D	73,0	77,3	86,2
8	13-02-2023 12:16:38	E75S	D	68,9	72,0	82,6
8	13-02-2023 12:30:21	A21N	D	69,0	72,2	82,4
8	13-02-2023 12:43:20	A321	D	69,4	72,4	85,0
8	13-02-2023 13:06:54	A321	D	69,1	72,5	85,1
8	13-02-2023 13:09:15	E195	D	68,9	70,9	82,0
8	13-02-2023 13:11:57	A320	D	66,7	67,9	76,2
8	13-02-2023 13:13:34	E190	D	71,3	76,4	85,1
8	13-02-2023 13:15:06	A21N	D	70,0	72,3	83,0
8	13-02-2023 13:17:37	BCS3	D	68,0	69,5	78,8
8	13-02-2023 13:25:59	E75S	D	69,5	73,4	83,6
8	13-02-2023 13:32:56	E190	D	70,9	74,9	83,2
8	13-02-2023 13:35:36	E195	D	72,5	76,0	85,8
8	13-02-2023 13:38:06	E75S	D	68,4	71,1	84,1
8	13-02-2023 13:43:13	E75S	D	69,1	71,5	82,7
8	13-02-2023 13:49:46	E195	D	69,1	72,4	82,4
8	13-02-2023 14:04:07	B38M	D	67,9	69,4	80,4
8	13-02-2023 14:05:24	E170	D	72,4	75,4	85,0
8	13-02-2023 14:07:35	B77W	D	70,9	73,7	85,6
8	13-02-2023 14:11:47	B38M	D	69,5	72,3	83,7
8	13-02-2023 14:28:15	B738	D	70,6	75,1	84,4
8	13-02-2023 14:30:20	E190	D	72,6	75,2	85,1
8	13-02-2023 14:38:34	A21N	D	67,5	68,6	78,3
8	13-02-2023 14:57:19	E195	D	68,7	71,6	82,9
8	13-02-2023 15:02:14	B738	D	70,8	73,4	83,8
8	13-02-2023 15:04:25	E75S	D	70,7	73,9	85,1
8	13-02-2023 15:06:44	E170	D	67,8	69,2	79,2
8	13-02-2023 15:08:14	E190	D	73,0	77,4	86,8
8	13-02-2023 15:10:11	E75S	D	70,1	72,9	82,9
8	13-02-2023 15:15:02	E190	D	68,7	70,8	81,2
8	13-02-2023 15:16:22	A319	D	68,9	72,6	83,2
8	13-02-2023 15:33:27	E190	D	72,7	75,7	85,5
8	13-02-2023 15:37:28	E195	D	71,1	74,3	84,3
8	13-02-2023 15:40:19	A321	D	69,5	72,5	84,3
8	13-02-2023 15:42:49	E170	D	69,8	72,5	83,1
8	13-02-2023 15:45:19	E190	D	69,8	73,4	83,0
8	13-02-2023 15:51:13	E75S	D	69,0	71,6	81,8
8	13-02-2023 15:54:19	E75S	D	74,3	78,2	87,7
8	13-02-2023 16:02:57	B38M	D	68,3	71,3	78,3

Nr punktu pomiarowego	Data i godz. zdarzenia	Samolot	Operacja*	$L_{Aeq}$	$L_{Amax}$	$L_{AE}$
				[dB]	[dB]	[dB]
8	13-02-2023 16:04:45	E170	D	69,5	71,9	82,9
8	13-02-2023 16:09:15	A333	D	72,1	78,3	88,3
8	13-02-2023 16:13:57	A321	D	69,5	71,8	84,0
8	13-02-2023 16:36:08	E75S	D	71,3	75,0	86,3
8	13-02-2023 16:41:16	E195	D	70,4	73,1	83,8
8	13-02-2023 16:47:01	E75S	D	70,1	72,9	83,9
8	13-02-2023 16:52:29	E190	D	70,4	73,8	84,1
8	13-02-2023 16:59:22	E195	D	73,7	78,3	87,4
8	13-02-2023 17:00:43	B38M	D	69,6	72,1	81,9
8	13-02-2023 17:02:17	E75S	D	70,0	73,5	83,0
8	13-02-2023 17:07:19	E75S	D	68,8	71,5	82,4
8	13-02-2023 17:12:04	B38M	D	67,4	70,6	80,6
8	13-02-2023 17:18:41	E195	D	70,7	74,2	83,7
8	13-02-2023 17:20:07	E75S	D	70,3	72,9	82,8
8	13-02-2023 17:21:38	E190	D	71,0	74,2	84,0
8	13-02-2023 17:23:05	E195	D	69,3	72,8	83,0
8	13-02-2023 17:26:21	E195	D	76,2	80,4	88,8
8	13-02-2023 17:33:01	E190	D	69,3	72,6	83,9
8	13-02-2023 17:35:58	A321	D	70,5	73,4	85,9
8	13-02-2023 17:39:17	E195	D	71,1	73,6	83,6
8	13-02-2023 17:51:23	A21N	D	68,9	70,8	81,4
8	13-02-2023 17:54:24	A321	D	69,1	72,2	83,6
8	13-02-2023 18:09:05	E170	D	68,8	72,0	82,4
8	13-02-2023 18:10:37	A321	D	68,0	71,3	82,0
8	13-02-2023 18:36:42	E170	D	69,0	71,0	81,8
8	13-02-2023 18:57:32	A321	D	69,0	72,3	84,7
8	13-02-2023 19:09:27	A332	D	72,6	75,4	88,7
8	13-02-2023 19:26:35	E75S	D	69,9	72,4	83,1
8	13-02-2023 19:32:01	E190	D	71,6	74,1	86,4
8	13-02-2023 20:00:34	E75S	D	69,0	71,3	82,1
8	13-02-2023 20:02:06	E195	D	70,6	74,2	83,6
8	13-02-2023 20:06:07	A20N	D	66,2	68,1	79,0
8	13-02-2023 20:08:13	E75S	D	71,8	75,1	85,8
8	13-02-2023 20:10:34	E195	D	70,1	73,2	84,1
8	13-02-2023 20:12:32	E170	D	68,9	71,3	81,2
8	13-02-2023 20:15:19	E75S	D	68,7	70,7	82,1
8	13-02-2023 20:20:12	E170	D	69,3	74,4	83,1
8	13-02-2023 20:23:58	E75S	D	68,0	70,5	82,3
8	13-02-2023 20:30:57	E170	D	68,6	71,6	81,8
8	13-02-2023 20:32:35	E190	D	70,5	74,1	84,3
8	13-02-2023 20:56:41	E190	D	72,6	77,5	86,9
8	13-02-2023 21:01:18	B38M	D	68,5	70,6	82,3
8	13-02-2023 21:08:57	B752	D	68,0	70,7	82,4
8	13-02-2023 21:51:07	B738	D	68,5	71,2	83,7
8	14-02-2023 06:05:35	A321	D	70,2	74,3	84,7
8	14-02-2023 06:11:45	A319	D	66,9	68,6	76,9
8	14-02-2023 06:16:06	B737	D	68,7	71,1	80,7
8	14-02-2023 06:18:07	A321	D	69,8	71,6	83,0
8	14-02-2023 06:28:58	A21N	D	67,7	69,5	78,8
8	14-02-2023 06:30:55	A21N	D	68,1	69,0	78,5
8	14-02-2023 06:49:21	A21N	D	67,9	69,8	79,0
8	14-02-2023 07:06:05	A320	D	66,6	68,6	78,3
8	14-02-2023 07:22:22	E75S	D	68,8	71,4	80,2
8	14-02-2023 07:32:14	E75S	D	67,8	68,8	78,9
8	14-02-2023 07:34:02	E195	D	67,9	69,3	78,6
8	14-02-2023 07:35:40	E195	D	67,2	68,7	78,3
8	14-02-2023 07:42:45	E75S	D	68,5	70,1	79,7

Nr punktu pomiarowego	Data i godz. zdarzenia	Samolot	Operacja*	$L_{Aeq}$	$L_{Amax}$	$L_{AE}$
				[dB]	[dB]	[dB]
8	14-02-2023 07:44:19	E75S	D	68,9	70,2	80,1
8	14-02-2023 07:45:53	E190	D	69,2	70,6	79,9
8	14-02-2023 07:49:47	E190	D	69,9	72,9	81,4
8	14-02-2023 07:53:27	E170	D	67,8	69,9	79,2
8	14-02-2023 07:55:08	E195	D	68,7	70,6	80,5
8	14-02-2023 08:03:04	E170	D	68,4	69,7	78,8
8	14-02-2023 08:04:43	E75S	D	69,4	71,6	81,2
8	14-02-2023 08:07:28	E195	D	69,0	71,8	81,0
8	14-02-2023 08:11:11	E195	D	73,6	77,1	86,4
8	14-02-2023 08:37:11	B738	D	68,8	71,0	81,8
8	14-02-2023 08:58:59	E190	D	71,3	74,4	84,8
8	14-02-2023 09:01:37	B737	D	69,0	71,0	79,4
8	14-02-2023 09:33:38	E190	D	68,6	71,6	81,2
8	14-02-2023 09:42:13	E195	D	68,6	70,7	78,2
8	14-02-2023 10:39:31	E170	D	67,2	70,3	78,6
8	14-02-2023 10:43:28	E170	D	71,8	74,2	83,8
8	14-02-2023 10:45:11	E195	D	68,1	70,1	78,5
8	14-02-2023 10:48:06	E170	D	68,4	69,2	78,8
8	14-02-2023 10:51:04	E190	D	72,2	75,2	83,7
8	14-02-2023 10:54:51	E75S	D	73,0	75,8	85,3
8	14-02-2023 10:56:02	E75S	D	68,1	70,0	79,8
8	14-02-2023 11:00:01	E75S	D	67,3	69,2	78,4
8	14-02-2023 11:06:51	E75S	D	69,4	71,8	80,2
8	14-02-2023 11:12:15	E190	D	70,8	73,5	81,6
8	14-02-2023 11:19:05	A21N	D	68,3	69,6	77,8
8	14-02-2023 11:20:29	E190	D	70,9	73,5	82,9
8	14-02-2023 12:09:21	E75S	D	71,0	73,2	83,3
8	14-02-2023 12:21:27	A321	D	69,3	72,2	83,5
8	14-02-2023 12:43:11	A321	D	71,6	75,4	87,1
8	14-02-2023 12:48:01	A321	D	70,5	74,4	84,7
8	14-02-2023 12:52:37	E75L	D	69,4	73,4	82,2
8	14-02-2023 13:01:19	E190	D	72,8	75,6	87,1
8	14-02-2023 13:26:02	A21N	D	68,5	70,0	79,6
8	14-02-2023 13:31:42	E75S	D	67,8	70,3	79,2
8	14-02-2023 13:33:32	E195	D	69,0	71,0	80,4
8	14-02-2023 13:36:54	E170	D	71,9	74,8	84,2
8	14-02-2023 13:38:23	E195	D	68,4	70,5	77,9
8	14-02-2023 13:39:55	E75S	D	67,9	69,6	78,4
8	14-02-2023 13:41:29	E190	D	67,4	70,3	78,8
8	14-02-2023 13:46:00	E195	D	69,0	70,4	80,1
8	14-02-2023 13:49:36	B77W	D	71,6	74,7	85,0
8	14-02-2023 13:55:03	E75S	D	71,6	75,2	85,9
8	14-02-2023 14:02:03	PC24	D	67,5	69,7	78,9
8	14-02-2023 14:04:21	A319	D	67,5	68,7	77,9
8	14-02-2023 14:22:05	E190	D	72,8	75,7	85,6
8	14-02-2023 14:34:52	B38M	D	68,8	70,9	81,1
8	14-02-2023 14:50:57	E170	D	70,3	73,0	82,4
8	14-02-2023 14:53:00	A321	D	70,0	72,5	83,4
8	14-02-2023 14:55:17	E75S	D	69,0	71,2	82,2
8	14-02-2023 14:59:07	A320	D	67,2	69,2	77,2
8	14-02-2023 15:02:56	E195	D	67,9	69,7	79,9
8	14-02-2023 15:06:18	A21N	D	68,6	70,8	80,9
8	14-02-2023 15:07:38	E75S	D	72,0	76,1	85,8
8	14-02-2023 15:13:12	E195	D	70,5	74,2	82,8
8	14-02-2023 15:15:26	E190	D	70,8	73,6	82,3
8	14-02-2023 15:17:15	E75S	D	68,1	70,3	79,6
8	14-02-2023 15:18:42	A321	D	68,6	72,1	81,4

Nr punktu pomiarowego	Data i godz. zdarzenia	Samolot	Operacja*	$L_{Aeq}$	$L_{Amax}$	$L_{AE}$
				[dB]	[dB]	[dB]
8	14-02-2023 15:21:12	E170	D	68,8	70,9	81,1
8	14-02-2023 15:37:46	A21N	D	68,4	69,7	79,9
8	14-02-2023 15:39:44	E195	D	69,1	72,4	82,1
8	14-02-2023 15:43:21	E170	D	73,0	75,4	85,1
8	14-02-2023 15:46:08	E195	D	69,8	73,2	81,3
8	14-02-2023 15:47:56	E170	D	69,5	70,9	82,0
8	14-02-2023 15:50:16	E190	D	73,7	76,6	85,8
8	14-02-2023 15:57:19	B788	D	68,7	70,3	81,7
8	14-02-2023 15:59:43	E75S	D	67,7	69,1	79,1
8	14-02-2023 16:07:21	E75S	D	68,8	71,2	81,1
8	14-02-2023 16:09:35	E75S	D	70,1	71,7	82,8
8	14-02-2023 16:24:15	B38M	D	68,6	70,8	80,9
8	14-02-2023 16:38:31	E195	D	70,0	72,7	82,6
8	14-02-2023 16:40:23	E75S	D	72,3	75,0	85,1
8	14-02-2023 16:47:46	E170	D	69,7	71,5	81,4
8	14-02-2023 16:52:22	E195	D	70,4	73,4	82,7
8	14-02-2023 16:54:40	E195	D	70,0	72,6	81,8
8	14-02-2023 16:58:14	E75S	D	69,8	72,2	82,8
8	14-02-2023 17:00:59	B38M	D	67,4	69,6	78,8
8	14-02-2023 17:03:04	E170	D	68,5	71,3	82,3
8	14-02-2023 17:05:56	E75S	D	68,7	71,4	81,5
8	14-02-2023 17:16:57	E75S	D	69,9	73,2	82,5
8	14-02-2023 17:21:39	E195	D	70,1	71,5	82,4
8	14-02-2023 17:23:35	E190	D	74,3	77,6	86,6
8	14-02-2023 17:25:55	E195	D	69,5	71,8	81,3
8	14-02-2023 17:27:34	E195	D	69,7	72,6	82,5
8	14-02-2023 17:29:16	E190	D	70,6	73,2	84,4
8	14-02-2023 17:33:34	GLEX	D	68,3	70,1	78,3
8	14-02-2023 17:35:33	A321	D	70,6	72,8	84,4
8	14-02-2023 17:38:24	E190	D	69,6	72,1	82,1
8	14-02-2023 17:42:00	E195	D	74,5	78,2	87,7
8	14-02-2023 17:53:49	A321	D	70,0	72,0	84,2
8	14-02-2023 18:02:22	B38M	D	68,3	70,9	81,7
8	14-02-2023 18:04:18	A320	D	66,2	67,9	77,3
8	14-02-2023 18:23:10	A321	D	69,6	73,0	84,5
8	14-02-2023 18:31:14	E170	D	70,1	71,4	82,4
8	14-02-2023 19:23:46	A321	D	71,2	73,3	85,7
8	14-02-2023 19:28:01	E195	D	68,8	71,6	83,1
8	14-02-2023 19:29:14	E75S	D	70,9	73,1	84,1
8	14-02-2023 19:30:43	CRJ9	D	67,9	69,0	80,9
8	14-02-2023 19:34:24	E190	D	73,0	76,3	87,6
8	14-02-2023 20:12:06	E75S	D	70,4	72,7	83,8
8	14-02-2023 20:14:46	E195	D	70,9	74,6	83,5
8	14-02-2023 20:17:13	E75S	D	70,9	72,9	83,2
8	14-02-2023 20:21:55	E195	D	73,5	78,4	87,0
8	14-02-2023 20:23:49	E75S	D	69,9	72,3	82,5
8	14-02-2023 20:29:54	E75S	D	69,4	72,6	82,8
8	14-02-2023 20:31:45	E190	D	71,7	74,6	84,0
8	14-02-2023 20:33:33	E195	D	69,7	72,4	82,2
8	14-02-2023 20:39:57	E75S	D	71,4	74,9	84,8
8	14-02-2023 20:43:56	E170	D	71,1	74,3	84,3
8	14-02-2023 20:50:23	E190	D	73,3	77,2	86,3
8	14-02-2023 20:52:10	E170	D	70,5	73,3	83,3
8	14-02-2023 20:55:28	E170	D	70,9	72,5	84,0
8	14-02-2023 21:05:28	E75S	D	71,4	73,5	84,4
8	14-02-2023 21:09:01	A21N	D	70,3	72,8	83,3
8	14-02-2023 21:12:46	B763	D	69,7	71,6	84,4

Nr punktu pomiarowego	Data i godz. zdarzenia	Samolot	Operacja*	$L_{Aeq}$	$L_{Amax}$	$L_{AE}$
				[dB]	[dB]	[dB]
8	14-02-2023 21:42:12	B38M	D	69,1	71,2	82,5
8	14-02-2023 21:47:59	B734	D	71,5	74,7	86,7
8	15-02-2023 06:20:10	B738	D	67,5	68,0	78,3
8	15-02-2023 07:53:08	E195	D	72,3	75,5	83,4
8	15-02-2023 07:59:17	E195	D	71,3	73,8	81,7
8	15-02-2023 08:04:24	B738	D	68,7	70,9	79,5
8	15-02-2023 08:09:50	E190	D	70,3	72,0	79,4
8	15-02-2023 08:13:47	E75S	D	71,0	72,7	81,4
8	15-02-2023 09:17:24	E190	D	71,5	74,6	84,0
8	15-02-2023 10:20:07	B738	D	70,2	72,1	81,4
8	15-02-2023 10:33:06	E170	D	73,4	76,7	83,8
8	15-02-2023 10:48:33	E170	D	67,0	67,8	76,5
8	15-02-2023 11:00:19	E75S	D	72,8	74,7	83,6
8	15-02-2023 11:31:59	E75S	D	68,4	70,1	78,4
8	15-02-2023 11:43:57	CL35	D	67,2	68,0	77,6
8	15-02-2023 12:02:32	A321	D	67,5	68,9	79,0
8	15-02-2023 12:09:47	E170	D	82,0	89,3	96,9
8	15-02-2023 12:41:16	A321	D	67,1	68,6	77,9
8	15-02-2023 12:52:35	B738	D	68,2	70,0	77,8
8	15-02-2023 12:58:44	A321	D	67,6	68,8	77,1
8	15-02-2023 13:19:55	B738	D	66,4	67,5	76,0
8	15-02-2023 13:27:00	B738	D	67,2	70,0	81,4
8	15-02-2023 13:28:18	E190	D	71,1	73,2	82,6
8	15-02-2023 13:30:06	E75S	D	66,6	68,8	77,4
8	15-02-2023 13:33:08	E170	D	69,9	71,5	80,3
8	15-02-2023 13:41:43	B77W	D	70,1	71,9	82,6
8	15-02-2023 13:46:25	E170	D	68,9	71,0	79,7
8	15-02-2023 14:26:48	E190	D	72,7	75,0	83,9
8	15-02-2023 14:55:28	E75S	D	70,0	71,7	80,4
8	15-02-2023 14:59:16	E195	D	67,4	69,4	78,2
8	15-02-2023 15:07:29	E75S	D	67,7	69,3	78,1
8	15-02-2023 15:09:48	E195	D	75,3	78,7	86,4
8	15-02-2023 15:11:41	E195	D	68,2	69,3	78,6
8	15-02-2023 15:23:33	E75S	D	68,0	69,4	79,2
8	15-02-2023 15:33:02	B738	D	68,9	70,4	81,9
8	15-02-2023 15:35:39	E190	D	69,7	72,2	81,2
8	15-02-2023 15:37:46	E190	D	70,5	73,3	80,9
8	15-02-2023 15:39:39	E190	D	73,5	76,9	84,3
8	15-02-2023 15:41:35	E75S	D	67,6	69,7	77,6
8	15-02-2023 15:49:06	E170	D	72,4	76,0	84,4
8	15-02-2023 15:53:31	A319	D	67,9	68,9	78,3
8	15-02-2023 16:04:14	A333	D	71,7	75,2	85,9
8	15-02-2023 16:06:27	E75S	D	68,3	70,6	79,1
8	15-02-2023 16:21:47	A21N	D	69,8	71,8	80,9
8	15-02-2023 16:45:05	E195	D	70,1	72,5	80,5
8	15-02-2023 16:56:17	E75S	D	67,7	69,5	80,5
8	15-02-2023 16:57:54	E195	D	68,5	70,0	79,3
8	15-02-2023 17:00:34	E170	D	66,5	67,8	78,0
8	15-02-2023 17:03:57	E190	D	71,0	73,2	81,4
8	15-02-2023 17:15:10	E195	D	75,3	77,9	86,1
8	15-02-2023 17:18:10	E195	D	67,9	69,3	77,9
8	15-02-2023 17:21:25	E195	D	73,7	76,3	84,5
8	15-02-2023 17:23:02	E190	D	69,1	70,7	79,9
8	15-02-2023 17:25:27	E195	D	69,8	72,5	79,3
8	15-02-2023 17:35:12	E75S	D	68,2	71,0	78,6
8	15-02-2023 17:39:23	E75S	D	68,3	70,7	80,1
8	15-02-2023 17:44:00	A21N	D	68,3	69,1	78,7

Nr punktu pomiarowego	Data i godz. zdarzenia	Samolot	Operacja*	$L_{Aeq}$	$L_{Amax}$	$L_{AE}$
				[dB]	[dB]	[dB]
8	15-02-2023 17:51:09	E75S	D	67,3	69,0	77,8
8	15-02-2023 17:53:11	E195	D	70,2	73,0	81,7
8	15-02-2023 17:56:07	A21N	D	69,2	70,5	79,2
8	15-02-2023 17:58:36	A321	D	69,1	70,7	82,7
8	15-02-2023 18:02:10	E170	D	68,6	71,2	80,9
8	15-02-2023 18:14:38	B738	D	70,6	73,6	84,9
8	15-02-2023 18:16:55	A321	D	69,4	71,7	83,4
8	15-02-2023 18:31:38	E75S	D	68,8	70,7	80,3
8	15-02-2023 18:37:01	CRJ9	D	69,0	71,0	80,1
8	15-02-2023 18:44:58	A319	D	67,6	70,2	80,1
8	15-02-2023 19:02:04	A321	D	69,4	71,2	82,7
8	15-02-2023 19:09:32	A320	D	67,4	69,9	79,1
8	15-02-2023 19:18:22	CRJ9	D	81,4	88,0	95,9
8	15-02-2023 19:35:15	E195	D	71,0	75,1	82,5
8	15-02-2023 19:37:06	E190	D	71,1	74,0	83,1
8	15-02-2023 19:46:38	E190	D	72,6	75,6	86,0
8	15-02-2023 19:48:42	A320	D	66,9	68,4	79,9
8	15-02-2023 20:10:34	B38M	A	71,5	74,5	83,3
8	15-02-2023 20:34:08	E75S	A	71,4	73,6	81,8
8	15-02-2023 20:43:53	E170	A	71,7	75,1	83,4
8	15-02-2023 20:46:03	B38M	A	71,7	75,2	83,7
8	15-02-2023 20:51:17	E195	A	72,2	76,1	84,5
8	15-02-2023 20:54:57	E190	A	71,3	73,9	83,1
8	15-02-2023 21:01:03	E190	A	72,5	75,5	83,9
8	15-02-2023 21:03:11	B38M	A	72,7	76,5	84,7
8	15-02-2023 21:09:24	E75S	A	70,7	73,2	81,8
8	15-02-2023 21:17:07	E75S	A	69,9	72,6	82,2
8	15-02-2023 21:18:45	B38M	A	70,5	73,5	82,2
8	15-02-2023 21:21:19	E195	A	71,6	74,8	83,9
8	15-02-2023 21:23:13	E195	A	71,9	75,2	83,9
8	15-02-2023 21:25:13	B38M	A	70,7	73,8	82,5
8	15-02-2023 21:27:14	E75S	A	69,8	73,3	82,3
8	15-02-2023 21:29:01	E195	A	70,7	73,2	82,5
8	15-02-2023 21:31:08	A320	A	70,3	72,9	81,1
8	15-02-2023 21:38:01	E195	A	71,8	75,3	84,1
8	15-02-2023 21:40:22	P46T	A	69,7	71,5	79,3
8	15-02-2023 21:42:04	E195	A	71,9	75,9	84,7
8	15-02-2023 21:45:15	E75S	A	70,3	72,3	81,0
8	15-02-2023 21:46:52	E190	A	70,6	73,9	83,4
8	15-02-2023 21:48:41	B738	A	72,2	75,7	84,5
8	15-02-2023 21:50:16	E190	A	71,2	73,9	82,4
8	15-02-2023 21:52:21	E195	A	72,3	75,3	84,0
8	15-02-2023 21:54:29	B38M	A	71,7	75,0	83,4
8	15-02-2023 21:57:56	A321	A	71,1	73,2	81,5
8	16-02-2023 06:05:58	A306	A	74,0	78,2	86,5
8	16-02-2023 06:10:25	E190	A	71,7	74,5	83,5
8	16-02-2023 06:13:04	E195	A	72,9	75,4	84,0
8	16-02-2023 06:18:05	E195	A	71,9	74,3	83,0
8	16-02-2023 06:30:31	A321	D	69,8	70,9	84,2
8	16-02-2023 06:34:47	A21N	D	69,5	71,5	82,1
8	16-02-2023 06:39:29	B737	D	71,2	72,6	84,4
8	16-02-2023 07:10:53	E195	D	69,0	70,2	83,0
8	16-02-2023 07:19:36	A321	D	69,1	70,0	83,4
8	16-02-2023 07:21:44	A321	D	68,7	69,4	83,1
8	16-02-2023 07:23:06	A21N	D	69,3	71,1	81,6
8	16-02-2023 07:34:39	A320	D	68,8	69,8	81,6
8	16-02-2023 07:37:24	B738	D	70,6	72,5	83,6

Nr punktu pomiarowego	Data i godz. zdarzenia	Samolot	Operacja*	$L_{Aeq}$	$L_{Amax}$	$L_{AE}$
				[dB]	[dB]	[dB]
8	16-02-2023 07:39:39	A321	D	68,9	70,3	83,5
8	16-02-2023 07:44:13	E75S	D	70,7	72,3	83,7
8	16-02-2023 07:46:08	E75S	D	69,2	70,9	81,3
8	16-02-2023 07:49:21	E75S	D	70,7	72,5	84,2
8	16-02-2023 07:51:44	E195	D	70,9	73,3	83,7
8	16-02-2023 07:56:38	E195	D	75,5	79,1	88,0
8	16-02-2023 07:58:15	A320	D	68,7	70,3	81,7
8	16-02-2023 07:59:33	E190	D	72,7	75,5	85,0
8	16-02-2023 08:01:15	E190	D	72,1	74,7	85,1
8	16-02-2023 08:02:50	B38M	D	67,5	68,5	80,1
8	16-02-2023 08:04:32	E195	D	70,9	73,1	83,9
8	16-02-2023 08:06:44	E75S	D	70,3	71,8	83,9
8	16-02-2023 08:12:08	E170	D	69,7	71,0	82,0
8	16-02-2023 08:13:27	E75S	D	70,2	71,2	82,8
8	16-02-2023 08:15:21	E75S	D	72,4	75,0	85,8
8	16-02-2023 08:20:03	B38M	D	68,3	69,8	81,3
8	16-02-2023 08:28:41	E195	D	74,8	78,3	87,9
8	16-02-2023 08:35:00	E75S	D	70,6	73,0	83,8
8	16-02-2023 08:43:00	E195	D	70,4	72,6	83,4
8	16-02-2023 09:27:56	E170	D	68,1	69,9	81,1
8	16-02-2023 09:30:03	B738	D	70,5	74,2	85,8
8	16-02-2023 09:33:02	E170	D	68,7	71,6	82,8
8	16-02-2023 09:35:29	E190	D	71,5	74,9	87,0
8	16-02-2023 09:37:11	B738	D	71,9	74,7	84,9
8	16-02-2023 09:45:26	A320	D	68,3	72,8	81,7
8	16-02-2023 09:47:55	B38M	D	68,0	70,2	80,5
8	16-02-2023 09:54:24	A21N	D	67,6	69,4	79,1
8	16-02-2023 09:59:02	B737	D	71,4	73,3	83,2
8	16-02-2023 10:05:40	B38M	D	69,1	71,8	81,1
8	16-02-2023 10:08:45	A320	D	68,4	70,5	81,6
8	16-02-2023 10:12:58	E195	D	68,3	72,3	80,1
8	16-02-2023 10:28:27	E170	D	70,5	71,8	82,3
8	16-02-2023 10:30:27	E170	D	69,3	71,2	82,1
8	16-02-2023 10:34:03	E190	D	69,3	71,6	82,7
8	16-02-2023 10:35:27	CRJ9	D	69,7	71,5	82,7
8	16-02-2023 10:39:00	E190	D	73,0	76,2	85,6
8	16-02-2023 10:46:59	E190	D	69,6	70,9	82,1
8	16-02-2023 10:52:31	E190	D	70,6	73,5	83,4
8	16-02-2023 10:53:56	E190	D	73,0	76,1	86,4
8	16-02-2023 10:56:27	E75S	D	69,5	71,1	82,5
8	16-02-2023 11:06:18	E75S	D	70,7	73,4	84,3
8	16-02-2023 11:08:02	E75S	D	70,0	72,3	83,6
8	16-02-2023 11:12:56	E195	D	70,9	73,2	83,6
8	16-02-2023 11:14:32	E75S	D	70,8	74,7	84,0
8	16-02-2023 11:16:57	E75S	D	69,8	71,7	83,2
8	16-02-2023 11:20:02	A21N	D	69,5	72,2	82,5
8	16-02-2023 12:48:27	E170	D	82,5	89,9	97,0
8	16-02-2023 12:50:27	A321	D	72,5	77,5	87,8
8	16-02-2023 12:52:01	E75S	D	72,8	75,8	85,6
8	16-02-2023 13:01:12	A319	D	68,0	70,8	81,0
8	16-02-2023 13:06:41	E190	D	72,5	77,1	87,4
8	16-02-2023 13:08:41	E195	D	71,7	73,4	83,4
8	16-02-2023 13:12:34	C17	D	71,2	73,8	87,3
8	16-02-2023 13:27:38	E170	D	72,2	75,6	85,4
8	16-02-2023 13:31:31	E190	D	70,6	74,2	82,3
8	16-02-2023 13:36:59	E195	D	69,7	72,6	82,7
8	16-02-2023 13:38:27	E75S	D	68,9	71,8	82,3

Nr punktu pomiarowego	Data i godz. zdarzenia	Samolot	Operacja*	$L_{Aeq}$	$L_{Amax}$	$L_{AE}$
				[dB]	[dB]	[dB]
8	16-02-2023 13:40:12	E75S	D	71,2	73,3	84,2
8	16-02-2023 13:41:48	E195	D	70,0	73,0	82,8
8	16-02-2023 13:49:25	E170	D	70,6	73,1	82,9
8	16-02-2023 13:56:46	E190	D	71,3	75,3	83,3
8	16-02-2023 13:58:42	B77W	D	72,6	76,3	86,9
8	16-02-2023 14:14:37	A319	D	67,7	69,7	80,5
8	16-02-2023 14:21:04	E190	D	71,5	75,4	85,1
8	16-02-2023 14:36:55	A321	D	70,5	73,4	85,1
8	16-02-2023 14:41:05	B38M	D	67,2	69,0	77,7
8	16-02-2023 14:50:25	A21N	D	68,2	70,2	79,9
8	16-02-2023 15:01:50	E195	D	68,8	72,1	82,4
8	16-02-2023 15:03:07	E75S	D	72,9	76,3	86,5
8	16-02-2023 15:06:05	E75S	D	68,9	71,4	82,4
8	16-02-2023 15:07:34	E190	D	69,8	72,1	82,4
8	16-02-2023 15:10:16	E195	D	69,6	72,3	82,8
8	16-02-2023 15:23:24	E75S	D	70,4	72,8	83,4
8	16-02-2023 15:25:59	E170	D	69,4	71,5	82,5
8	16-02-2023 15:49:06	B38M	D	68,8	69,9	80,5
8	16-02-2023 15:51:02	E195	D	70,2	74,3	84,0
8	16-02-2023 15:53:55	B738	D	69,1	71,3	83,4
8	16-02-2023 15:56:10	E170	D	70,1	72,2	82,9
8	16-02-2023 15:58:11	B788	D	68,9	70,5	81,7
8	16-02-2023 16:00:39	E75S	D	68,4	70,6	81,8
8	16-02-2023 16:07:47	E195	D	71,4	74,0	83,7
8	16-02-2023 16:11:08	E75S	D	73,0	75,4	86,0
8	16-02-2023 16:13:18	A21N	D	68,8	71,2	80,6
8	16-02-2023 16:15:58	E190	D	71,5	74,9	84,1
8	16-02-2023 16:18:52	E75S	D	69,4	71,4	81,9
8	16-02-2023 16:22:53	A321	D	70,7	72,5	85,3
8	16-02-2023 16:41:28	E195	D	73,7	76,3	86,0
8	16-02-2023 16:45:36	E195	D	70,2	73,1	83,8
8	16-02-2023 16:51:09	E75S	D	71,2	72,8	84,4
8	16-02-2023 16:53:48	E170	D	68,3	69,4	81,1
8	16-02-2023 16:55:22	B738	D	71,2	74,6	84,0
8	16-02-2023 16:56:52	B38M	D	69,2	71,9	81,3
8	16-02-2023 16:58:45	E170	D	70,7	72,8	83,4
8	16-02-2023 17:01:28	E170	D	69,2	71,7	83,3
8	16-02-2023 17:08:02	E190	D	73,7	76,8	86,0
8	16-02-2023 17:13:28	B38M	D	67,4	68,4	80,0
8	16-02-2023 17:15:05	E195	D	71,4	73,3	84,2
8	16-02-2023 17:16:38	E75S	D	74,6	77,7	87,6
8	16-02-2023 17:18:25	E75S	D	69,8	72,0	83,5
8	16-02-2023 17:22:05	E195	D	71,1	74,0	84,3
8	16-02-2023 17:25:40	E195	D	70,2	72,6	82,3
8	16-02-2023 17:31:31	C130	D	69,7	72,5	83,3
8	16-02-2023 17:39:06	A321	D	70,3	72,7	85,5
8	16-02-2023 17:45:50	E190	D	72,4	75,1	86,9
8	16-02-2023 17:48:17	E170	D	68,8	71,2	81,9
8	16-02-2023 17:50:10	E190	D	70,2	72,6	84,9
8	16-02-2023 17:53:57	B38M	D	68,4	70,3	79,6
8	16-02-2023 17:58:17	A321	D	69,6	71,3	84,4
8	16-02-2023 18:01:03	E190	D	70,1	72,1	79,2
8	16-02-2023 18:02:43	C130	D	73,1	77,4	88,6
8	16-02-2023 18:04:41	A320	D	66,5	68,8	78,8
8	16-02-2023 18:38:08	CRJ9	D	69,1	71,1	83,4
8	16-02-2023 18:40:15	E170	D	69,7	71,0	82,2
8	16-02-2023 19:21:06	E190	D	72,6	76,2	87,7

Nr punktu pomiarowego	Data i godz. zdarzenia	Samolot	Operacja*	$L_{Aeq}$	$L_{Amax}$	$L_{AE}$
				[dB]	[dB]	[dB]
8	16-02-2023 19:29:50	E195	D	68,5	70,2	82,9
8	16-02-2023 19:38:54	E75S	D	69,5	70,9	82,5
8	16-02-2023 19:51:41	CRJ9	D	69,5	71,9	84,4
8	16-02-2023 20:07:27	A321	D	69,8	72,0	83,9
8	16-02-2023 20:11:46	A20N	D	68,9	71,1	81,2
8	16-02-2023 20:13:23	E75S	D	69,9	71,8	83,1
8	16-02-2023 20:15:20	E195	D	73,8	77,8	87,4
8	16-02-2023 20:16:59	E195	D	69,3	73,7	83,6
8	16-02-2023 20:20:47	E75S	D	70,2	72,5	83,3
8	16-02-2023 20:22:39	E75S	D	69,8	72,1	82,8
8	16-02-2023 20:31:22	E75S	D	70,4	74,4	83,8
8	16-02-2023 20:33:56	E170	D	69,1	71,7	83,3
8	16-02-2023 20:35:45	E170	D	70,4	72,4	83,4
8	16-02-2023 20:43:17	B38M	D	68,0	71,1	80,6
8	16-02-2023 20:51:42	E195	D	72,7	77,2	86,4
8	16-02-2023 20:59:48	E195	D	74,9	78,9	87,9
8	16-02-2023 21:08:27	A21N	D	68,6	71,1	82,6
8	16-02-2023 21:10:41	B763	D	68,7	69,9	82,7
8	16-02-2023 21:14:27	B38M	D	68,2	70,1	81,0
8	16-02-2023 21:16:07	E195	D	72,7	77,1	86,5
8	16-02-2023 21:57:02	A306	D	72,2	75,1	87,6
8	17-02-2023 06:09:26	A321	D	70,4	71,9	85,3
8	17-02-2023 06:15:58	A21N	D	70,0	71,5	82,8
8	17-02-2023 06:20:16	A21N	D	71,2	73,1	83,5
8	17-02-2023 06:22:15	B737	D	71,0	73,8	84,0
8	17-02-2023 06:44:58	A321	D	70,4	73,1	85,7
8	17-02-2023 07:02:53	E195	D	68,9	70,3	80,4
8	17-02-2023 07:04:31	A321	D	70,8	73,0	85,7
8	17-02-2023 07:12:50	E75S	D	70,0	71,7	83,4
8	17-02-2023 07:18:16	B738	D	73,0	75,6	86,4
8	17-02-2023 07:24:07	A21N	D	69,1	70,9	81,9
8	17-02-2023 07:28:51	E75S	D	71,6	73,4	83,9
8	17-02-2023 07:32:33	B738	D	72,6	76,1	87,5
8	17-02-2023 07:35:50	E75S	D	71,2	74,0	84,2
8	17-02-2023 07:39:00	B38M	D	67,6	68,9	79,4
8	17-02-2023 07:40:12	E170	D	69,8	72,9	81,8
8	17-02-2023 07:44:20	E195	D	70,2	72,5	83,4
8	17-02-2023 07:48:55	E195	D	71,0	73,7	84,0
8	17-02-2023 07:50:36	E75S	D	70,9	74,0	84,7
8	17-02-2023 07:52:49	E195	D	71,0	73,5	83,8
8	17-02-2023 07:54:15	E75S	D	69,8	71,5	83,0
8	17-02-2023 07:55:58	B738	D	73,1	75,0	85,2
8	17-02-2023 08:00:57	E190	D	70,7	72,6	83,2
8	17-02-2023 08:03:52	E170	D	70,3	73,2	83,3
8	17-02-2023 08:06:15	B38M	D	68,8	70,5	81,8
8	17-02-2023 08:11:13	A320	D	68,3	70,0	80,6
8	17-02-2023 08:13:28	B738	D	72,3	76,3	87,7
8	17-02-2023 08:16:16	E75S	D	74,4	77,6	87,4
8	17-02-2023 08:24:25	E190	D	72,8	76,7	86,2
8	17-02-2023 08:31:30	B738	D	72,6	75,5	87,7
8	17-02-2023 09:03:43	A319	D	73,4	76,2	86,6
8	17-02-2023 09:23:21	B738	D	70,3	73,4	85,2
8	17-02-2023 09:33:01	E75S	D	71,2	74,2	84,4
8	17-02-2023 10:00:16	E190	D	72,0	76,4	84,8
8	17-02-2023 10:19:51	E170	D	71,3	74,8	84,5
8	17-02-2023 10:21:37	E195	D	69,5	72,0	83,1
8	17-02-2023 10:28:54	B738	D	73,0	75,8	87,5

Nr punktu pomiarowego	Data i godz. zdarzenia	Samolot	Operacja*	$L_{Aeq}$	$L_{Amax}$	$L_{AE}$
				[dB]	[dB]	[dB]
8	17-02-2023 10:32:24	E170	D	68,2	70,7	80,3
8	17-02-2023 10:37:46	E170	D	73,2	77,4	86,2
8	17-02-2023 10:42:40	E190	D	70,7	73,2	83,0
8	17-02-2023 10:45:14	E75S	D	71,1	74,0	84,1
8	17-02-2023 10:48:17	E195	D	71,0	74,2	84,2
8	17-02-2023 11:00:20	E190	D	71,1	73,8	83,9
8	17-02-2023 11:01:49	E75S	D	70,6	74,4	84,1
8	17-02-2023 11:03:22	E170	D	70,1	72,5	82,9
8	17-02-2023 11:04:41	E75S	D	74,2	77,8	87,8
8	17-02-2023 11:09:31	A21N	D	68,3	71,5	80,8
8	17-02-2023 11:12:54	E195	D	69,9	72,6	81,7
8	17-02-2023 11:15:58	B733	D	69,7	72,0	83,5
8	17-02-2023 11:17:52	E195	D	70,8	73,8	82,6
8	17-02-2023 11:27:22	CRJ9	D	68,3	69,5	78,7
8	17-02-2023 11:34:43	E190	D	68,6	71,1	80,6
8	17-02-2023 11:38:42	E195	D	71,0	73,7	83,3
8	17-02-2023 11:44:47	E75S	D	69,1	71,0	81,7
8	17-02-2023 11:48:33	E195	D	74,1	79,9	87,5
8	17-02-2023 11:49:58	B738	D	73,8	77,3	87,4
8	17-02-2023 11:51:39	A21N	D	66,4	68,6	77,9
8	17-02-2023 12:03:08	CL30	D	67,8	69,7	79,8
8	17-02-2023 12:13:20	E195	D	69,5	70,9	81,5
8	17-02-2023 12:15:04	A321	D	70,1	72,7	84,4
8	17-02-2023 12:31:41	B738	D	74,4	77,7	87,2
8	17-02-2023 12:39:58	GL5T	D	67,2	70,1	79,2
8	17-02-2023 13:01:29	A21N	D	68,1	69,9	79,5
8	17-02-2023 13:14:17	B38M	D	68,0	70,2	78,0
8	17-02-2023 13:16:00	B38M	D	67,5	70,2	77,5
8	17-02-2023 13:18:09	BCS3	D	67,1	68,2	77,1
8	17-02-2023 13:20:22	E190	D	69,8	71,3	83,2
8	17-02-2023 13:28:05	A321	D	67,3	68,8	78,8
8	17-02-2023 13:33:26	E190	D	68,5	72,1	80,8
8	17-02-2023 13:35:03	E190	D	67,9	71,2	79,4
8	17-02-2023 13:36:34	E75S	D	68,8	70,7	79,6
8	17-02-2023 13:38:53	E195	D	68,6	70,7	80,9
8	17-02-2023 13:44:13	B38M	D	67,3	68,8	77,7
8	17-02-2023 13:49:01	E75S	D	70,2	71,7	81,4
8	17-02-2023 13:51:45	E195	D	68,5	70,8	79,7
8	17-02-2023 13:58:32	A21N	D	66,3	67,9	76,8
8	17-02-2023 14:04:00	E190	D	68,9	71,2	79,7
8	17-02-2023 14:05:28	E195	D	73,4	76,7	84,2
8	17-02-2023 14:08:48	B77W	D	68,6	70,2	82,2
8	17-02-2023 14:37:44	E190	D	73,3	75,8	84,4
8	17-02-2023 15:03:50	E195	D	67,3	68,2	76,8
8	17-02-2023 15:05:48	E75S	D	72,1	74,5	83,9
8	17-02-2023 15:08:39	E195	D	67,9	70,1	79,0
8	17-02-2023 15:11:03	E195	D	66,7	68,3	75,8
8	17-02-2023 15:28:01	E170	D	69,9	71,2	79,9
8	17-02-2023 16:08:34	E170	D	68,2	70,1	79,9
8	17-02-2023 16:22:58	B738	D	68,2	71,4	82,9
8	17-02-2023 16:37:32	E195	D	68,1	70,5	82,1
8	17-02-2023 16:55:01	B738	D	71,5	74,0	85,3
8	17-02-2023 16:56:59	E75S	D	70,6	74,8	84,0
8	17-02-2023 17:01:13	E190	D	71,2	74,5	84,0
8	17-02-2023 17:02:42	E75S	D	71,7	75,1	85,5
8	17-02-2023 17:04:11	B38M	D	70,2	72,2	82,3
8	17-02-2023 17:07:27	E190	D	69,7	73,4	83,0

Nr punktu pomiarowego	Data i godz. zdarzenia	Samolot	Operacja*	$L_{Aeq}$	$L_{Amax}$	$L_{AE}$
				[dB]	[dB]	[dB]
8	17-02-2023 17:09:10	E190	D	70,9	75,7	84,3
8	17-02-2023 17:13:12	E195	D	70,6	74,8	83,8
8	17-02-2023 17:15:49	E75S	D	68,4	71,9	82,5
8	17-02-2023 17:19:13	E190	D	72,7	76,2	84,5
8	17-02-2023 17:22:59	E195	D	69,5	72,6	82,9
8	17-02-2023 17:25:47	B38M	D	68,4	71,8	81,2
8	17-02-2023 17:29:25	E195	D	68,7	70,9	81,7
8	17-02-2023 17:30:55	E195	D	69,6	73,3	83,7
8	17-02-2023 17:32:59	E190	D	69,1	72,2	83,2
8	17-02-2023 17:35:03	E195	D	70,2	72,7	83,0
8	17-02-2023 17:39:52	E190	D	82,8	89,6	97,9
8	17-02-2023 17:41:16	B38M	D	71,6	73,9	84,2
8	17-02-2023 17:42:58	E75S	D	69,7	72,8	83,3
8	17-02-2023 18:14:54	C295	D	65,5	68,1	75,9
8	17-02-2023 18:34:59	A21N	D	67,6	69,6	81,0
8	17-02-2023 18:36:47	E190	D	68,5	71,9	80,6
8	17-02-2023 18:38:15	CRJ9	D	67,4	69,0	78,6
8	17-02-2023 18:39:42	C295	D	66,4	68,7	77,2
8	17-02-2023 18:46:22	A321	D	68,5	70,8	82,7
8	17-02-2023 18:54:05	A320	D	67,4	69,5	82,4
8	17-02-2023 19:02:36	A321	D	68,9	72,4	84,4
8	17-02-2023 19:06:27	A321	D	68,4	71,6	84,1
8	17-02-2023 19:24:34	E190	D	68,0	70,5	82,3
8	17-02-2023 19:27:09	A332	D	70,4	76,0	84,9
8	17-02-2023 19:48:19	E190	D	70,7	74,4	83,9
8	17-02-2023 19:58:58	A333	D	70,9	75,3	85,2
8	17-02-2023 20:18:00	E190	D	70,1	74,5	83,5
8	17-02-2023 20:19:38	E195	D	66,0	67,7	77,8
8	17-02-2023 20:24:18	E195	D	68,0	72,3	81,6
8	17-02-2023 20:36:30	E195	D	67,0	69,4	79,6
8	17-02-2023 20:41:05	B38M	D	67,0	69,1	78,7
8	17-02-2023 20:50:02	C17	D	68,6	72,2	82,4
8	17-02-2023 20:54:32	E170	D	66,2	68,5	79,4
8	17-02-2023 21:39:50	B734	D	67,3	70,3	81,8
8	17-02-2023 21:44:40	E75S	D	67,1	69,2	78,2
8	17-02-2023 21:46:44	B38M	D	66,6	69,1	81,5
8	17-02-2023 21:53:15	A306	D	71,1	73,9	86,0
8	18-02-2023 06:06:38	A21N	D	69,5	74,9	84,3
8	18-02-2023 06:11:21	B737	D	70,4	73,1	85,1
8	18-02-2023 06:21:49	A21N	D	71,2	75,1	82,3
8	18-02-2023 06:23:55	A21N	D	69,2	74,1	84,0
8	18-02-2023 06:35:59	A321	D	68,8	71,5	83,1
8	18-02-2023 06:40:04	A21N	D	66,9	69,9	81,0
8	18-02-2023 07:03:22	A321	D	67,2	69,2	80,4
8	18-02-2023 07:07:05	B38M	D	67,1	68,5	76,1
8	18-02-2023 07:10:32	E195	D	67,2	69,6	79,0
8	18-02-2023 07:17:33	B738	D	70,0	73,0	85,5
8	18-02-2023 07:31:01	E75S	D	69,5	73,9	83,8
8	18-02-2023 07:34:29	A321	D	67,3	69,1	80,9
8	18-02-2023 07:39:52	A21N	D	68,3	70,6	77,9
8	18-02-2023 07:41:28	E195	D	70,2	76,9	83,8
8	18-02-2023 07:44:33	E195	D	68,5	70,7	83,2
8	18-02-2023 07:46:29	E75S	D	69,0	71,5	82,5
8	18-02-2023 07:48:29	B38M	D	66,6	67,5	75,7
8	18-02-2023 07:49:57	E195	D	69,8	73,4	83,4
8	18-02-2023 07:55:46	A320	D	67,6	70,0	82,2
8	18-02-2023 07:57:37	E195	D	69,9	73,5	84,9

Nr punktu pomiarowego	Data i godz. zdarzenia	Samolot	Operacja*	$L_{Aeq}$	$L_{Amax}$	$L_{AE}$
				[dB]	[dB]	[dB]
8	18-02-2023 08:00:04	E190	D	68,9	72,8	83,8
8	18-02-2023 08:03:37	A321	D	69,1	73,5	80,9
8	18-02-2023 08:05:02	E195	D	71,1	74,4	85,4
8	18-02-2023 08:08:15	E195	D	68,9	71,9	81,9
8	18-02-2023 08:09:33	B38M	D	68,1	70,7	79,8
8	18-02-2023 08:10:55	B738	D	73,3	78,7	87,8
8	18-02-2023 08:18:09	E195	D	67,6	69,4	81,6
8	18-02-2023 08:19:43	E75S	D	71,6	75,4	85,3
8	18-02-2023 08:21:27	A319	D	67,5	69,2	76,6
8	18-02-2023 08:23:26	E195	D	69,7	72,1	82,5
8	18-02-2023 08:31:59	E195	D	72,5	76,9	85,7
8	18-02-2023 08:33:25	E190	D	69,4	72,8	83,2
8	18-02-2023 08:39:08	E190	D	69,0	71,6	82,6
8	18-02-2023 09:01:01	B738	D	71,0	74,0	86,0
8	18-02-2023 09:16:46	E75S	D	69,0	72,6	79,4
8	18-02-2023 09:29:25	E170	D	68,8	71,8	82,8
8	18-02-2023 09:31:19	E75S	D	75,8	81,6	89,9
8	18-02-2023 09:39:45	B38M	D	68,5	70,0	77,5
8	18-02-2023 09:42:27	B738	D	68,2	71,7	84,9
8	18-02-2023 09:49:52	A319	D	67,7	70,7	81,0
8	18-02-2023 10:01:32	E75S	D	68,8	71,0	82,6
8	18-02-2023 10:12:14	A321	D	68,8	71,6	83,0
8	18-02-2023 10:26:40	E190	D	70,3	74,3	84,4
8	18-02-2023 10:31:55	E195	D	71,3	75,0	83,1
8	18-02-2023 10:37:29	E75S	D	69,1	72,2	81,9
8	18-02-2023 10:46:14	E75S	D	68,1	70,2	78,5
8	18-02-2023 10:53:55	E195	D	70,1	74,3	84,3
8	18-02-2023 10:55:23	E190	D	72,7	75,4	85,9
8	18-02-2023 10:56:50	B38M	D	69,8	75,2	84,2
8	18-02-2023 11:01:36	E170	D	69,0	71,2	81,3
8	18-02-2023 11:08:26	E190	D	72,2	75,8	85,0
8	18-02-2023 11:09:55	E170	D	69,2	72,5	82,4
8	18-02-2023 11:12:01	B738	D	70,9	75,9	86,9
8	18-02-2023 11:14:06	B38M	D	68,0	69,5	77,0
8	18-02-2023 11:21:42	E75S	D	67,8	68,9	80,3
8	18-02-2023 11:27:33	B738	D	70,9	75,0	84,4
8	18-02-2023 11:36:47	A21N	D	69,5	73,1	82,3
8	18-02-2023 11:48:17	E195	D	70,3	74,0	81,7
8	18-02-2023 12:01:02	A321	D	69,3	73,4	81,9
8	18-02-2023 12:05:25	B38M	D	68,0	69,8	78,4
8	18-02-2023 12:20:28	C56X	D	69,1	72,4	78,7
8	18-02-2023 12:39:28	E190	D	69,3	72,6	84,6
8	18-02-2023 12:44:39	A321	D	70,3	75,5	87,7
8	18-02-2023 12:54:04	A321	D	68,2	70,5	83,1
8	18-02-2023 12:56:08	E75S	D	68,9	72,2	83,4
8	18-02-2023 12:58:10	E190	D	72,7	75,9	85,0
8	18-02-2023 13:00:34	A321	D	68,9	71,7	83,5
8	18-02-2023 13:08:14	A320	D	67,7	70,0	79,7
8	18-02-2023 13:10:00	B738	D	71,5	74,9	87,3
8	18-02-2023 13:16:35	A321	D	68,7	71,6	84,3
8	18-02-2023 13:22:18	E195	D	70,4	72,5	83,0
8	18-02-2023 13:32:47	E75S	D	70,3	73,2	84,6
8	18-02-2023 13:39:02	E75S	D	67,5	71,1	81,7
8	18-02-2023 13:47:31	E190	D	70,3	72,6	82,6
8	18-02-2023 13:50:13	E75S	D	72,4	76,0	85,4
8	18-02-2023 13:53:02	E190	D	70,6	73,7	84,0
8	18-02-2023 13:55:11	B77W	D	83,6	92,0	100,5

Nr punktu pomiarowego	Data i godz. zdarzenia	Samolot	Operacja*	$L_{Aeq}$	$L_{Amax}$	$L_{AE}$
				[dB]	[dB]	[dB]
8	18-02-2023 14:02:40	E195	D	70,5	73,9	84,3
8	18-02-2023 14:05:25	E190	D	68,5	70,2	77,6
8	18-02-2023 14:10:16	E75S	D	67,8	69,7	81,4
8	18-02-2023 14:23:44	A321	D	68,5	72,7	84,4
8	18-02-2023 14:25:40	B738	D	71,0	75,5	87,2
8	18-02-2023 14:27:20	E195	D	72,0	77,1	85,8
8	18-02-2023 14:33:16	A319	D	68,2	71,6	79,7
8	18-02-2023 14:38:17	B38M	D	67,8	70,3	80,4
8	18-02-2023 15:06:09	B738	D	69,2	72,4	83,4
8	18-02-2023 15:09:14	E195	D	69,1	72,5	82,6
8	18-02-2023 15:11:05	A21N	D	67,6	71,4	81,0
8	18-02-2023 15:12:54	E75S	D	72,8	76,3	85,8
8	18-02-2023 15:15:27	E75S	D	68,7	72,2	82,3
8	18-02-2023 15:17:08	E170	D	68,5	70,3	79,3
8	18-02-2023 15:21:41	E195	D	70,2	73,3	82,8
8	18-02-2023 15:25:00	A321	D	68,9	71,5	83,8
8	18-02-2023 15:26:47	E195	D	70,1	73,1	83,5
8	18-02-2023 15:40:16	B738	D	70,9	73,6	86,3
8	18-02-2023 15:42:31	E190	D	71,8	74,8	85,2
8	18-02-2023 15:44:07	A319	D	68,6	71,9	83,4
8	18-02-2023 15:51:49	GL5T	D	67,1	69,3	80,8
8	18-02-2023 15:54:16	E190	D	70,2	72,9	84,0
8	18-02-2023 15:56:14	E170	D	70,6	73,7	84,1
8	18-02-2023 15:58:16	E75S	D	72,4	77,2	84,9
8	18-02-2023 16:00:27	B38M	D	69,2	71,6	82,0
8	18-02-2023 16:12:00	B788	D	68,6	73,1	82,2
8	18-02-2023 16:16:06	E170	D	70,0	72,6	83,6
8	18-02-2023 16:17:33	E195	D	69,3	72,3	82,1
8	18-02-2023 16:19:13	E75S	D	69,6	73,3	84,0
8	18-02-2023 16:22:05	E190	D	70,1	71,8	82,4
8	18-02-2023 16:40:26	A21N	D	71,7	74,2	84,0
8	18-02-2023 16:42:14	B738	D	71,1	75,3	86,6
8	18-02-2023 16:45:24	B738	D	73,2	76,7	89,1
8	18-02-2023 16:47:43	E75S	D	69,2	73,0	84,2
8	18-02-2023 16:51:37	E170	D	69,7	72,9	83,3
8	18-02-2023 16:55:17	E190	D	72,4	76,9	86,2
8	18-02-2023 16:57:00	B38M	D	68,7	70,9	81,9
8	18-02-2023 16:58:25	E195	D	73,7	79,1	87,1
8	18-02-2023 17:01:20	E75S	D	70,5	73,2	84,1
8	18-02-2023 17:04:46	E75S	D	70,5	72,1	83,5
8	18-02-2023 17:08:24	E195	D	69,5	72,0	83,2
8	18-02-2023 17:11:56	B38M	D	70,5	71,9	83,5
8	18-02-2023 17:13:31	E170	D	70,1	72,8	82,2
8	18-02-2023 17:14:50	E75S	D	73,4	76,6	87,0
8	18-02-2023 17:16:19	E190	D	69,6	73,2	83,4
8	18-02-2023 17:22:10	B38M	D	69,7	72,0	80,9
8	18-02-2023 17:24:33	E195	D	71,8	76,4	84,8
8	18-02-2023 17:35:57	E190	D	69,7	72,1	82,2
8	18-02-2023 17:40:01	A21N	D	69,5	73,7	83,0
8	18-02-2023 17:41:42	E190	D	70,7	73,5	83,3
8	18-02-2023 17:51:51	B738	D	73,3	77,6	87,4
8	18-02-2023 17:53:44	E195	D	69,6	72,6	82,8
8	18-02-2023 17:56:22	B38M	D	67,1	68,5	78,5
8	18-02-2023 17:59:03	B38M	D	69,9	72,7	82,7
8	18-02-2023 18:11:57	B789	D	67,8	69,9	82,0
8	18-02-2023 18:37:45	A321	D	69,0	72,8	84,2
8	18-02-2023 18:40:10	E75S	D	68,3	70,3	80,8

Nr punktu pomiarowego	Data i godz. zdarzenia	Samolot	Operacja*	$L_{Aeq}$	$L_{Amax}$	$L_{AE}$
				[dB]	[dB]	[dB]
8	18-02-2023 18:41:58	A321	D	68,9	71,7	84,2
8	18-02-2023 19:40:55	E190	D	72,9	77,8	85,7
8	18-02-2023 20:03:40	E190	D	71,6	76,0	86,8
8	18-02-2023 20:07:19	E75S	D	69,2	73,2	82,7
8	18-02-2023 20:10:16	E170	D	72,3	75,5	85,5
8	18-02-2023 20:23:03	E195	D	69,5	73,2	82,0
8	18-02-2023 21:02:10	A321	D	68,1	70,5	83,1
8	18-02-2023 21:10:15	B38M	D	67,7	70,8	81,3
8	18-02-2023 21:21:11	A21N	D	69,6	72,5	82,8
8	19-02-2023 06:01:04	A21N	D	68,3	70,5	80,6
8	19-02-2023 06:02:37	B38M	D	67,2	69,3	80,2
8	19-02-2023 06:12:09	B737	D	72,5	74,5	85,0
8	19-02-2023 06:20:59	A319	D	67,9	69,5	81,9
8	19-02-2023 06:22:33	A321	D	69,7	72,2	84,4
8	19-02-2023 06:32:22	A21N	D	69,6	73,2	83,1
8	19-02-2023 06:34:28	A321	D	70,8	72,9	85,1
8	19-02-2023 06:40:40	A321	D	70,0	72,4	85,4
8	19-02-2023 06:49:47	A21N	D	68,8	70,9	81,6
8	19-02-2023 07:01:13	A321	D	70,4	73,2	85,1
8	19-02-2023 07:14:11	A21N	D	68,5	71,0	80,6
8	19-02-2023 07:18:55	A320	D	68,6	71,8	82,7
8	19-02-2023 07:22:05	A21N	D	69,3	71,6	82,8
8	19-02-2023 07:27:52	A320	D	68,4	70,0	80,5
8	19-02-2023 07:29:29	B738	D	70,5	74,0	86,0
8	19-02-2023 07:31:11	E75S	D	70,4	73,5	83,8
8	19-02-2023 07:32:56	E75S	D	69,1	71,5	81,4
8	19-02-2023 07:36:58	E195	D	70,6	73,5	83,4
8	19-02-2023 07:52:06	E75S	D	70,6	72,7	83,8
8	19-02-2023 07:54:15	E195	D	70,2	73,2	82,9
8	19-02-2023 07:55:54	E75S	D	68,9	70,8	81,4
8	19-02-2023 07:59:22	E195	D	70,3	73,4	82,6
8	19-02-2023 08:00:51	E75S	D	69,4	71,7	82,6
8	19-02-2023 08:03:44	E190	D	69,6	72,0	82,4
8	19-02-2023 08:07:03	E195	D	70,2	72,6	83,4
8	19-02-2023 08:10:07	E190	D	70,2	73,5	82,8
8	19-02-2023 08:12:11	B38M	D	69,1	71,3	81,1
8	19-02-2023 08:13:45	B738	D	71,0	74,7	84,8
8	19-02-2023 08:19:10	E75S	D	74,4	78,5	88,2
8	19-02-2023 08:22:29	E195	D	74,1	78,5	86,9
8	19-02-2023 08:24:14	B738	D	71,1	76,7	86,4
8	19-02-2023 08:47:47	B38M	D	67,5	69,4	80,9
8	19-02-2023 09:20:47	E190	D	68,0	70,7	81,2
8	19-02-2023 09:26:38	B738	D	69,4	73,0	84,5
8	19-02-2023 09:29:04	B38M	D	68,8	70,9	81,4
8	19-02-2023 09:33:44	B738	D	71,1	74,3	84,9
8	19-02-2023 09:41:58	E190	D	72,4	75,9	87,3
8	19-02-2023 10:25:50	E170	D	70,8	73,5	83,4
8	19-02-2023 10:28:48	E170	D	67,8	69,3	78,6
8	19-02-2023 10:36:51	B738	D	70,0	71,8	81,8
8	19-02-2023 10:50:25	E75S	D	73,0	76,0	86,2
8	19-02-2023 10:54:24	C17	D	71,9	76,0	88,1
8	19-02-2023 10:57:06	E75S	D	70,6	74,8	84,4
8	19-02-2023 10:58:44	E75S	D	68,9	72,2	81,7
8	19-02-2023 11:00:47	E170	D	69,8	72,2	81,2
8	19-02-2023 11:02:29	E190	D	74,2	77,8	86,8
8	19-02-2023 11:11:08	B38M	D	68,9	70,5	81,4
8	19-02-2023 11:26:35	A21N	D	68,7	71,1	81,7

Nr punktu pomiarowego	Data i godz. zdarzenia	Samolot	Operacja*	$L_{Aeq}$	$L_{Amax}$	$L_{AE}$
				[dB]	[dB]	[dB]
8	19-02-2023 11:30:17	B38M	D	68,5	69,7	78,1
8	19-02-2023 11:32:44	E195	D	70,2	72,8	82,5
8	19-02-2023 11:38:19	E190	D	70,6	73,9	82,1
8	19-02-2023 11:47:06	B738	D	70,4	74,8	85,4
8	19-02-2023 12:09:50	E195	D	70,3	72,9	82,6
8	19-02-2023 12:17:51	E195	D	73,7	78,5	87,3
8	19-02-2023 12:26:12	A21N	D	68,5	72,6	79,7
8	19-02-2023 12:32:02	C17	D	73,9	77,1	87,3
8	19-02-2023 12:45:03	A321	D	68,9	70,7	83,2
8	19-02-2023 12:57:37	A321	D	70,8	74,7	85,8
8	19-02-2023 13:06:05	A321	D	70,4	74,7	86,7
8	19-02-2023 13:08:54	E195	D	69,3	71,7	81,1
8	19-02-2023 13:10:29	C17	D	70,3	74,5	87,0
8	19-02-2023 13:17:31	E190	D	72,1	75,7	87,2
8	19-02-2023 13:22:13	E75S	D	68,1	71,6	81,5
8	19-02-2023 13:31:48	E190	D	69,1	72,3	82,5
8	19-02-2023 13:36:08	E195	D	70,5	73,0	82,3
8	19-02-2023 13:37:44	E195	D	69,7	72,5	82,2
8	19-02-2023 13:41:21	E195	D	69,7	72,1	81,8
8	19-02-2023 13:45:10	E195	D	74,2	78,1	86,8
8	19-02-2023 13:48:51	E75S	D	73,0	77,2	85,3
8	19-02-2023 13:51:32	A21N	D	68,3	70,2	79,5
8	19-02-2023 13:52:50	B77W	D	72,6	75,6	86,2
8	19-02-2023 14:02:49	E75S	D	69,5	71,4	82,5
8	19-02-2023 14:16:53	A319	D	67,2	69,1	81,1
8	19-02-2023 14:32:51	E190	D	73,2	76,5	86,2
8	19-02-2023 14:40:10	B38M	D	67,7	69,0	79,7
8	19-02-2023 14:42:24	A21N	D	68,9	71,5	81,9
8	19-02-2023 14:54:26	A21N	D	68,3	69,8	81,0
8	19-02-2023 14:55:52	C17	D	75,6	79,8	88,8
8	19-02-2023 14:58:29	E75S	D	70,2	73,8	83,6
8	19-02-2023 15:06:06	E195	D	69,2	72,0	82,2
8	19-02-2023 15:09:34	E195	D	74,9	79,2	87,7
8	19-02-2023 15:21:31	E170	D	69,5	72,8	82,6
8	19-02-2023 15:23:32	A319	D	69,2	73,6	83,6
8	19-02-2023 15:25:29	E75S	D	70,1	73,0	82,4
8	19-02-2023 15:43:56	E195	D	69,7	72,2	82,0
8	19-02-2023 15:57:50	E75S	D	72,7	75,2	85,2
8	19-02-2023 16:00:18	E190	D	70,6	73,7	83,4
8	19-02-2023 16:02:49	E170	D	69,5	71,8	82,3
8	19-02-2023 16:04:42	B38M	D	67,7	69,3	79,2
8	19-02-2023 16:07:51	A333	D	69,8	73,1	84,7
8	19-02-2023 16:12:47	E75S	D	72,0	74,9	84,8
8	19-02-2023 16:14:15	E170	D	68,6	71,9	82,0
8	19-02-2023 16:18:18	E190	D	69,1	72,8	81,6
8	19-02-2023 16:39:47	E195	D	70,6	74,8	84,6
8	19-02-2023 16:44:11	A321	D	70,3	72,6	84,1
8	19-02-2023 16:48:11	B738	D	70,0	73,2	82,1
8	19-02-2023 16:49:41	B38M	D	71,1	73,2	83,2
8	19-02-2023 16:51:31	E195	D	70,3	73,2	83,3
8	19-02-2023 16:53:10	E195	D	69,8	74,4	82,8
8	19-02-2023 16:54:38	E195	D	70,4	72,5	82,4
8	19-02-2023 16:56:56	E170	D	68,1	71,4	81,7
8	19-02-2023 16:59:48	E195	D	70,1	74,6	82,9
8	19-02-2023 17:04:48	E75S	D	70,8	74,1	84,0
8	19-02-2023 17:12:58	E75S	D	69,0	71,4	82,0
8	19-02-2023 17:15:23	B38M	D	67,8	70,2	80,3

Nr punktu pomiarowego	Data i godz. zdarzenia	Samolot	Operacja*	$L_{Aeq}$	$L_{Amax}$	$L_{AE}$
				[dB]	[dB]	[dB]
8	19-02-2023 17:18:20	E190	D	69,1	71,9	81,9
8	19-02-2023 17:19:54	E190	D	74,1	79,8	87,5
8	19-02-2023 17:21:15	E190	D	71,5	74,7	83,3
8	19-02-2023 17:24:07	E75S	D	68,3	71,1	82,1
8	19-02-2023 17:25:42	E75S	D	68,2	70,7	82,4
8	19-02-2023 17:27:22	E195	D	70,3	72,9	82,1
8	19-02-2023 17:31:32	E195	D	70,1	73,2	85,0
8	19-02-2023 17:33:19	E195	D	70,7	73,3	83,3
8	19-02-2023 17:38:30	E75S	D	69,0	71,6	81,8
8	19-02-2023 17:42:16	E170	D	70,2	72,5	82,5
8	19-02-2023 17:50:18	E170	D	67,3	68,6	77,3
8	19-02-2023 18:02:10	E170	D	66,4	68,9	79,2
8	19-02-2023 18:05:51	B38M	D	70,8	73,8	83,8
8	19-02-2023 18:08:56	A321	D	69,0	72,2	84,8
8	19-02-2023 18:11:10	B38M	D	67,9	70,6	79,7
8	19-02-2023 18:18:53	A321	D	66,2	68,2	77,6
8	19-02-2023 18:22:48	E195	D	69,3	71,4	82,3
8	19-02-2023 18:34:07	E170	D	67,1	69,3	80,3
8	19-02-2023 18:57:55	CRJ9	D	68,0	71,3	82,6
8	19-02-2023 19:31:18	A319	D	66,8	68,4	77,6
8	19-02-2023 19:43:47	E195	D	66,8	68,2	77,6
8	19-02-2023 19:51:44	A321	D	68,5	70,3	82,9
8	19-02-2023 19:53:25	E195	D	69,8	73,1	83,0
8	19-02-2023 20:00:11	CRJ9	D	66,7	68,1	77,5
8	19-02-2023 20:03:30	E75S	D	67,6	69,2	79,6
8	19-02-2023 20:07:54	E75S	D	67,0	69,7	81,3
8	19-02-2023 20:12:56	E195	D	73,0	76,1	86,2
8	19-02-2023 20:21:08	E75S	D	67,3	70,3	80,9
8	19-02-2023 20:27:27	E195	D	68,2	70,5	80,5
8	19-02-2023 20:28:53	E170	D	66,6	68,0	80,1
8	19-02-2023 20:30:36	E170	D	67,5	70,9	80,7
8	19-02-2023 20:32:12	E195	D	68,1	70,9	81,1
8	19-02-2023 20:42:22	E190	D	69,6	71,9	83,9
8	19-02-2023 20:44:24	E190	D	70,8	73,7	83,8
8	19-02-2023 20:45:38	B38M	D	66,9	69,9	78,4
8	19-02-2023 20:48:12	E170	D	66,3	67,8	79,7
8	19-02-2023 20:54:16	E190	D	70,8	74,5	84,4
8	19-02-2023 20:57:48	B38M	D	67,8	69,9	78,2
8	19-02-2023 21:10:26	A320	D	66,7	68,8	79,0
8	19-02-2023 21:15:17	A21N	D	67,9	71,1	82,1
8	19-02-2023 21:20:14	B38M	D	66,4	68,3	77,9
8	19-02-2023 21:36:51	E75S	D	68,6	71,4	82,8
8	20-02-2023 06:14:10	B737	D	69,4	71,5	82,7
8	20-02-2023 06:20:07	A21N	D	67,7	70,7	82,6
8	20-02-2023 06:23:29	A319	D	66,7	69,3	80,9
8	20-02-2023 06:26:36	A21N	D	68,3	70,6	81,9
8	20-02-2023 06:29:26	A321	D	68,8	71,0	84,2
8	20-02-2023 06:37:45	A21N	D	67,9	70,0	79,0
8	20-02-2023 06:56:10	A321	D	68,7	70,8	83,8
8	20-02-2023 07:04:57	A321	D	69,3	72,5	84,8
8	20-02-2023 07:16:36	E170	D	69,2	71,6	82,4
8	20-02-2023 07:18:15	A321	D	67,8	70,1	82,9
8	20-02-2023 07:23:35	A321	D	70,8	73,2	84,7
8	20-02-2023 07:28:39	E75S	D	68,9	71,8	82,5
8	20-02-2023 07:30:51	E195	D	68,6	71,3	81,8
8	20-02-2023 07:32:02	E75S	D	67,9	70,6	82,5
8	20-02-2023 07:45:00	E195	D	69,8	73,8	83,9

Nr punktu pomiarowego	Data i godz. zdarzenia	Samolot	Operacja*	$L_{Aeq}$	$L_{Amax}$	$L_{AE}$
				[dB]	[dB]	[dB]
8	20-02-2023 07:48:22	E195	D	73,0	76,4	86,8
8	20-02-2023 07:49:50	E195	D	69,3	72,5	82,7
8	20-02-2023 07:51:12	E195	D	69,7	73,4	83,5
8	20-02-2023 07:52:40	E195	D	68,6	71,5	82,2
8	20-02-2023 07:53:57	B738	D	70,3	73,1	84,2
8	20-02-2023 07:56:09	E195	D	69,6	72,7	82,9
8	20-02-2023 07:58:16	E75S	D	68,6	72,5	83,6
8	20-02-2023 08:00:59	E170	D	67,4	69,5	81,0
8	20-02-2023 08:05:15	E195	D	69,7	72,2	83,1
8	20-02-2023 08:06:56	B738	D	71,4	74,8	87,0
8	20-02-2023 08:10:12	E75S	D	68,9	71,8	82,3
8	20-02-2023 08:11:42	E195	D	69,6	73,1	83,1
8	20-02-2023 08:15:11	E190	D	72,3	75,8	85,7
8	20-02-2023 08:17:28	E190	D	74,1	77,4	86,4
8	20-02-2023 08:19:24	B38M	D	67,3	68,9	79,6
8	20-02-2023 08:21:01	E190	D	72,1	76,8	85,5
8	20-02-2023 08:36:45	A320	D	68,0	70,8	81,0
8	20-02-2023 08:41:42	E75S	D	69,4	73,3	81,9
8	20-02-2023 08:55:34	B38M	D	68,6	70,7	77,7
8	20-02-2023 08:57:16	B738	D	71,3	74,5	86,5
8	20-02-2023 09:14:10	E190	D	71,1	76,4	86,0
8	20-02-2023 09:19:25	B738	D	69,1	71,4	84,2
8	20-02-2023 09:22:41	E170	D	68,2	70,5	82,7
8	20-02-2023 09:31:16	A319	D	68,8	71,4	82,4
8	20-02-2023 09:33:06	E170	D	69,0	71,3	82,5
8	20-02-2023 09:57:05	B38M	D	69,2	71,1	81,5
8	20-02-2023 10:01:45	CRJ9	D	67,7	69,2	79,1
8	20-02-2023 10:04:28	A21N	D	67,6	69,0	79,1
8	20-02-2023 10:07:33	E190	D	69,1	72,1	81,7
8	20-02-2023 10:24:56	B738	D	73,5	76,6	87,1
8	20-02-2023 10:28:38	E170	D	68,4	72,4	81,2
8	20-02-2023 10:32:59	E195	D	69,3	73,5	83,1
8	20-02-2023 10:34:41	E170	D	69,0	72,8	83,0
8	20-02-2023 10:38:49	E170	D	71,4	75,3	84,8
8	20-02-2023 10:40:19	E75S	D	69,7	72,9	84,0
8	20-02-2023 10:55:17	E75S	D	67,9	70,5	80,2
8	20-02-2023 10:57:30	E75S	D	67,5	69,4	79,0
8	20-02-2023 10:59:43	E195	D	67,6	70,2	81,0
8	20-02-2023 11:01:10	E190	D	71,4	74,0	84,6
8	20-02-2023 11:03:06	E190	D	69,6	72,8	82,3
8	20-02-2023 11:04:26	E75S	D	71,0	75,0	84,5
8	20-02-2023 11:05:46	E75S	D	67,8	71,1	79,3
8	20-02-2023 11:15:58	E195	D	68,5	70,4	78,0
8	20-02-2023 11:17:58	A21N	D	68,1	69,6	81,7
8	20-02-2023 11:21:52	E195	D	68,2	70,5	79,7
8	20-02-2023 11:37:41	E75S	D	69,0	72,1	81,6
8	20-02-2023 11:40:44	B38M	D	67,4	69,6	80,6
8	20-02-2023 12:26:14	E195	D	73,8	78,4	87,6
8	20-02-2023 12:28:54	A321	D	69,6	71,4	83,9
8	20-02-2023 12:31:27	A21N	D	68,8	71,5	82,8
8	20-02-2023 13:03:24	A320	D	68,6	70,2	82,2
8	20-02-2023 13:05:08	C130	D	75,3	78,7	88,6
8	20-02-2023 13:08:15	E195	D	68,1	70,2	81,9
8	20-02-2023 13:16:56	B738	D	68,1	71,2	84,5
8	20-02-2023 13:18:50	E190	D	69,7	72,1	84,2
8	20-02-2023 13:21:44	A321	D	68,2	71,1	83,4
8	20-02-2023 13:23:44	A321	D	70,1	75,6	86,5

Nr punktu pomiarowego	Data i godz. zdarzenia	Samolot	Operacja*	$L_{Aeq}$	$L_{Amax}$	$L_{AE}$
				[dB]	[dB]	[dB]
8	20-02-2023 13:26:05	E295	D	67,0	68,0	77,4
8	20-02-2023 13:30:08	E170	D	69,7	73,5	84,6
8	20-02-2023 13:40:05	E190	D	69,2	71,3	80,7
8	20-02-2023 13:41:31	E75S	D	68,0	70,3	81,2
8	20-02-2023 13:43:56	E190	D	67,9	71,9	80,7
8	20-02-2023 13:46:38	A21N	D	66,4	68,1	77,2
8	20-02-2023 13:48:06	E195	D	68,9	71,2	81,9
8	20-02-2023 13:57:18	E195	D	69,6	71,6	81,9
8	20-02-2023 14:09:16	B38M	D	66,4	68,7	78,7
8	20-02-2023 14:10:35	B77W	D	69,8	72,7	85,2
8	20-02-2023 14:15:28	E75S	D	69,1	72,5	81,4
8	20-02-2023 14:25:55	E190	D	70,3	74,3	84,3
8	20-02-2023 14:33:38	A21N	D	66,5	68,6	75,5
8	20-02-2023 14:35:50	B738	D	72,0	75,0	86,7
8	20-02-2023 14:55:41	E195	D	69,0	71,7	84,3
8	20-02-2023 14:58:04	E75S	D	68,0	70,7	82,5
8	20-02-2023 15:00:06	E75S	D	68,1	70,6	81,1
8	20-02-2023 15:03:24	E170	D	68,5	72,0	82,3
8	20-02-2023 15:21:17	E195	D	73,7	78,9	88,0
8	20-02-2023 15:31:11	E195	D	69,2	72,1	81,2
8	20-02-2023 15:41:09	E190	D	67,0	69,3	80,2
8	20-02-2023 15:45:42	E170	D	67,6	70,0	81,0
8	20-02-2023 15:48:27	E75S	D	70,8	74,1	85,1
8	20-02-2023 15:53:09	E75S	D	70,1	74,1	84,6
8	20-02-2023 16:00:39	E195	D	69,6	74,0	83,6
8	20-02-2023 16:05:20	A333	D	76,4	82,6	91,7
8	20-02-2023 16:09:37	E75S	D	68,4	72,8	79,2
8	20-02-2023 16:11:40	B38M	D	67,1	70,1	80,7
8	20-02-2023 16:15:39	E195	D	67,0	68,9	79,0
8	20-02-2023 16:44:59	E75S	D	70,8	74,0	83,8
8	20-02-2023 16:50:38	E195	D	69,8	73,1	83,9
8	20-02-2023 16:57:41	E75S	D	68,6	73,8	83,6
8	20-02-2023 17:04:46	E190	D	68,5	72,6	83,0
8	20-02-2023 17:11:09	E190	D	72,2	74,8	85,6
8	20-02-2023 17:15:01	E195	D	65,8	67,6	76,2
8	20-02-2023 17:16:18	E190	D	67,2	68,9	79,8
8	20-02-2023 17:17:59	B38M	D	68,0	69,7	77,0
8	20-02-2023 17:20:13	E75S	D	67,2	69,0	80,9
8	20-02-2023 17:26:05	A319	D	68,1	70,2	80,8
8	20-02-2023 17:27:37	E195	D	69,2	73,9	84,7
8	20-02-2023 17:33:33	E190	D	68,3	71,6	82,1
8	20-02-2023 17:40:34	E195	D	69,1	71,9	82,3
8	20-02-2023 17:42:00	B38M	D	69,0	75,0	84,4
8	20-02-2023 17:44:52	E195	D	71,7	74,9	82,1
8	20-02-2023 17:49:06	E190	D	67,0	70,0	78,5
8	20-02-2023 17:56:53	E170	D	68,9	73,4	80,7
8	20-02-2023 18:52:15	A332	D	68,6	72,5	84,7
8	20-02-2023 19:11:32	A321	D	67,3	70,5	84,5
8	20-02-2023 19:25:59	E190	D	66,7	69,0	79,5
8	20-02-2023 19:27:54	E195	D	67,3	70,2	76,3
8	20-02-2023 19:37:29	E190	D	66,9	69,4	80,0
8	20-02-2023 20:00:58	CRJ9	D	72,9	78,4	85,2
8	20-02-2023 20:23:52	A320	D	65,6	67,4	79,5
8	20-02-2023 20:33:49	E75S	D	80,7	88,6	94,8
8	20-02-2023 20:43:01	E190	D	68,5	75,2	81,5
8	20-02-2023 20:50:53	E75S	D	67,4	70,3	79,7
8	20-02-2023 20:52:39	E195	D	68,2	70,7	81,8

Nr punktu pomiarowego	Data i godz. zdarzenia	Samolot	Operacja*	$L_{Aeq}$	$L_{Amax}$	$L_{AE}$
				[dB]	[dB]	[dB]
8	20-02-2023 21:17:56	B752	D	65,4	67,2	76,2
8	20-02-2023 21:47:50	B789	D	67,5	69,8	81,5
8	20-02-2023 21:54:22	B738	D	65,4	66,7	74,4
8	21-02-2023 06:09:58	A319	D	66,4	68,3	75,4
8	21-02-2023 06:11:31	A21N	D	67,0	69,8	80,2
8	21-02-2023 06:13:36	A321	D	67,9	70,8	81,7
8	21-02-2023 06:15:24	B737	D	67,6	71,6	82,2
8	21-02-2023 06:21:33	A321	D	67,5	71,4	82,5
8	21-02-2023 06:30:31	A321	D	68,0	70,8	83,1
8	21-02-2023 06:33:43	A21N	D	67,8	69,6	77,3
8	21-02-2023 06:45:25	E195	D	66,3	67,4	75,3
8	21-02-2023 07:19:24	A320	D	69,2	73,0	81,7
8	21-02-2023 07:34:07	E190	D	68,0	72,1	82,7
8	21-02-2023 07:35:48	E75S	D	68,8	72,5	82,2
8	21-02-2023 07:37:18	E75S	D	68,7	72,0	83,1
8	21-02-2023 07:39:23	E195	D	69,4	73,2	83,7
8	21-02-2023 07:46:31	E75S	D	68,6	71,1	82,9
8	21-02-2023 07:48:09	E75S	D	68,6	70,8	82,7
8	21-02-2023 07:54:48	E170	D	68,7	71,1	82,6
8	21-02-2023 07:56:46	E195	D	70,7	74,3	83,4
8	21-02-2023 07:59:58	E170	D	68,4	70,8	81,9
8	21-02-2023 08:01:34	B38M	D	68,0	70,2	81,6
8	21-02-2023 08:03:11	E195	D	70,3	76,0	84,1
8	21-02-2023 08:06:58	B738	D	72,4	74,9	86,0
8	21-02-2023 08:08:52	E75S	D	68,5	70,7	81,7
8	21-02-2023 08:12:39	E190	D	69,1	73,7	83,5
8	21-02-2023 08:14:08	E195	D	70,6	74,0	83,4
8	21-02-2023 08:15:23	E170	D	71,9	76,6	86,5
8	21-02-2023 08:17:06	A321	D	69,0	71,7	82,6
8	21-02-2023 08:18:37	E195	D	72,3	76,1	86,4
8	21-02-2023 08:20:11	B38M	D	67,7	69,2	79,8
8	21-02-2023 08:30:26	E75S	D	69,1	73,5	84,8
8	21-02-2023 08:33:30	B738	D	70,8	73,6	86,2
8	21-02-2023 09:12:58	E190	D	70,0	73,6	83,0
8	21-02-2023 09:38:28	E195	D	70,7	73,9	83,7
8	21-02-2023 09:41:10	E170	D	67,8	70,7	82,2
8	21-02-2023 09:46:24	E190	D	70,4	72,8	83,8
8	21-02-2023 09:53:13	B38M	D	69,5	73,5	79,9
8	21-02-2023 10:09:34	E195	D	67,5	70,9	81,1
8	21-02-2023 10:33:40	E195	D	70,0	72,5	83,4
8	21-02-2023 10:38:10	E170	D	68,3	70,9	82,3
8	21-02-2023 10:41:09	B38M	D	70,0	71,3	82,1
8	21-02-2023 10:43:54	E190	D	68,7	73,0	82,3
8	21-02-2023 10:47:51	B788	D	69,1	72,2	83,1
8	21-02-2023 10:50:54	E195	D	73,9	78,7	87,7
8	21-02-2023 10:53:19	E75S	D	71,7	75,9	86,5
8	21-02-2023 10:55:48	E75S	D	69,8	71,9	82,6
8	21-02-2023 10:57:32	E75S	D	68,3	71,1	82,7
8	21-02-2023 11:01:26	E190	D	69,4	72,7	83,0
8	21-02-2023 11:03:18	E75S	D	67,3	71,2	76,8
8	21-02-2023 11:03:32	E75S	D	67,2	68,5	76,7
8	21-02-2023 11:07:40	B38M	D	69,3	72,2	80,8
8	21-02-2023 11:09:42	E75S	D	66,5	67,7	75,5
8	21-02-2023 11:11:21	A21N	D	67,6	70,4	82,4
8	21-02-2023 11:58:13	P46T	D	69,9	72,2	82,2
8	21-02-2023 12:03:09	B38M	D	69,6	74,9	83,4
8	21-02-2023 12:06:01	E170	D	69,4	73,2	83,5

Nr punktu pomiarowego	Data i godz. zdarzenia	Samolot	Operacja*	$L_{Aeq}$	$L_{Amax}$	$L_{AE}$
				[dB]	[dB]	[dB]
8	21-02-2023 12:11:12	E75S	D	73,1	77,3	86,4
8	21-02-2023 12:20:17	B788	D	69,9	72,1	83,5
8	21-02-2023 12:23:47	A321	D	67,7	70,1	79,7
8	21-02-2023 12:43:52	A321	D	68,5	71,5	84,6
8	21-02-2023 12:59:34	E170	D	67,6	72,2	82,7
8	21-02-2023 13:07:08	A21N	D	67,6	68,9	76,6
8	21-02-2023 13:13:08	E190	D	73,4	78,0	88,3
8	21-02-2023 13:35:27	E190	D	68,4	72,1	82,0
8	21-02-2023 13:37:10	E195	D	70,3	75,6	83,4
8	21-02-2023 13:39:01	A321	D	69,6	72,2	84,3
8	21-02-2023 13:40:13	E75S	D	71,5	76,0	86,2
8	21-02-2023 13:42:10	E75S	D	69,1	71,6	82,3
8	21-02-2023 13:43:24	E170	D	70,3	74,8	83,7
8	21-02-2023 13:46:51	E195	D	69,9	73,2	82,7
8	21-02-2023 13:48:42	E190	D	69,0	72,0	81,8
8	21-02-2023 13:55:53	B77W	D	70,9	75,0	86,8
8	21-02-2023 13:58:12	E170	D	68,1	70,2	80,4
8	21-02-2023 14:04:28	E170	D	68,8	71,2	82,4
8	21-02-2023 14:22:42	E190	D	72,7	76,9	87,0
8	21-02-2023 14:32:35	A319	D	66,8	69,3	80,3
8	21-02-2023 14:52:27	A321	D	68,8	70,8	80,3
8	21-02-2023 14:56:12	B38M	D	68,9	72,5	81,7
8	21-02-2023 15:02:41	E195	D	67,4	70,3	79,7
8	21-02-2023 15:05:48	E75S	D	71,9	76,4	87,0
8	21-02-2023 15:10:04	E190	D	71,7	74,5	84,0
8	21-02-2023 15:12:42	E195	D	70,0	74,6	82,5
8	21-02-2023 15:15:02	A21N	D	68,1	70,3	82,3
8	21-02-2023 15:18:28	B38M	D	69,1	72,1	82,1
8	21-02-2023 15:28:30	E75S	D	69,9	73,9	82,5
8	21-02-2023 15:30:11	A319	D	67,8	70,7	80,4
8	21-02-2023 15:34:12	E75S	D	69,1	71,9	82,5
8	21-02-2023 15:37:03	E170	D	72,1	75,7	86,0
8	21-02-2023 15:38:53	A21N	D	67,6	69,5	80,6
8	21-02-2023 15:42:46	E195	D	67,6	70,6	79,1
8	21-02-2023 15:46:55	E170	D	70,5	72,5	83,1
8	21-02-2023 15:51:36	E190	D	72,8	76,3	85,6
8	21-02-2023 15:53:04	E75S	D	68,8	71,6	81,8
8	21-02-2023 16:00:27	B788	D	67,8	70,7	81,4
8	21-02-2023 16:02:59	B38M	D	68,8	70,9	80,6
8	21-02-2023 16:05:13	E75S	D	68,2	70,1	82,0
8	21-02-2023 16:06:52	B738	D	69,8	73,6	85,2
8	21-02-2023 16:12:24	E195	D	70,4	72,3	81,8
8	21-02-2023 16:36:15	E195	D	70,0	72,3	82,5
8	21-02-2023 16:40:39	E75S	D	72,7	76,7	86,7
8	21-02-2023 16:46:20	E190	D	72,4	75,9	85,0
8	21-02-2023 16:52:39	E195	D	71,4	74,7	83,7
8	21-02-2023 16:55:18	E75S	D	71,0	74,1	84,2
8	21-02-2023 16:57:23	E195	D	71,8	75,0	85,4
8	21-02-2023 17:00:02	E75S	D	70,8	73,1	83,4
8	21-02-2023 17:03:09	E170	D	68,9	72,6	82,7
8	21-02-2023 17:05:22	E190	D	73,7	77,6	87,3
8	21-02-2023 17:07:23	A319	D	67,6	69,4	78,8
8	21-02-2023 17:08:43	E190	D	68,8	71,4	81,1
8	21-02-2023 17:10:23	E75S	D	69,3	72,5	82,7
8	21-02-2023 17:14:44	E195	D	69,9	73,9	83,7
8	21-02-2023 17:16:56	E195	D	70,4	73,8	82,9
8	21-02-2023 17:21:40	E75S	D	73,0	76,4	86,2

Nr punktu pomiarowego	Data i godz. zdarzenia	Samolot	Operacja*	$L_{Aeq}$	$L_{Amax}$	$L_{AE}$
				[dB]	[dB]	[dB]
8	21-02-2023 17:24:30	E170	D	68,6	72,7	83,4
8	21-02-2023 17:28:09	E190	D	74,3	78,7	89,7
8	21-02-2023 17:29:54	E170	D	69,3	71,6	82,7
8	21-02-2023 17:31:48	E195	D	71,4	75,0	84,6
8	21-02-2023 17:36:27	A321	D	69,4	71,5	84,4
8	21-02-2023 17:48:56	B38M	D	67,5	69,3	80,5
8	21-02-2023 17:53:17	E170	D	68,6	71,0	81,8
8	21-02-2023 18:10:48	A321	D	68,0	71,1	83,8
8	21-02-2023 18:36:02	A321	D	69,4	72,2	84,4
8	21-02-2023 18:54:47	E75S	D	68,8	70,9	82,7
8	21-02-2023 19:05:34	A321	D	82,0	89,7	97,7
8	21-02-2023 19:19:19	E195	D	67,8	70,8	81,1
8	21-02-2023 19:24:19	E190	D	70,5	73,3	85,7
8	21-02-2023 19:34:27	E75S	D	69,8	73,2	83,0
8	21-02-2023 19:47:27	E190	D	70,3	76,0	85,3
8	21-02-2023 19:57:52	A320	D	67,9	70,3	81,7
8	21-02-2023 19:59:47	E75S	D	68,2	70,8	82,0
8	21-02-2023 20:08:47	E195	D	70,1	72,7	82,9
8	21-02-2023 20:11:49	E75S	D	72,9	75,9	86,5
8	21-02-2023 20:13:31	E190	D	69,1	72,3	81,6
8	21-02-2023 20:15:58	E195	D	70,2	73,3	83,4
8	21-02-2023 20:27:59	E170	D	68,4	71,5	81,4
8	21-02-2023 20:32:40	E170	D	68,8	70,9	82,8
8	21-02-2023 20:38:40	E75S	D	70,6	72,7	84,6
8	21-02-2023 20:40:17	E170	D	69,1	71,2	81,9
8	21-02-2023 20:44:42	E170	D	69,3	72,9	82,9
8	21-02-2023 20:50:01	E190	D	73,4	76,9	87,2
8	21-02-2023 20:51:36	E75S	D	69,8	72,7	84,7
8	21-02-2023 21:11:34	A21N	D	69,5	71,4	83,3
8	21-02-2023 21:19:39	B762	D	68,5	71,2	82,8
8	21-02-2023 21:45:02	B734	D	70,5	74,6	84,5
8	21-02-2023 21:55:26	B38M	D	66,7	68,9	80,7
8	22-02-2023 06:02:38	B38M	D	68,6	70,4	81,2
8	22-02-2023 06:09:34	A319	D	69,9	71,0	83,1
8	22-02-2023 06:15:51	B38M	D	70,6	72,1	82,6
8	22-02-2023 06:17:30	B737	D	71,8	75,2	84,8
8	22-02-2023 06:29:42	A321	D	70,4	72,0	84,3
8	22-02-2023 06:49:47	A321	D	71,4	72,7	85,0
8	22-02-2023 06:59:50	E195	D	71,4	73,9	84,8
8	22-02-2023 07:04:02	A321	D	70,7	73,3	84,7
8	22-02-2023 07:08:24	A21N	D	70,6	72,5	82,9
8	22-02-2023 07:16:33	A320	D	68,9	70,9	81,4
8	22-02-2023 07:19:05	A321	D	72,5	74,2	86,4
8	22-02-2023 07:23:04	E170	D	71,3	74,1	83,4
8	22-02-2023 07:30:00	E190	D	70,8	72,9	82,8
8	22-02-2023 07:33:01	E75S	D	70,7	72,5	82,7
8	22-02-2023 07:35:33	E75S	D	69,3	71,0	81,0
8	22-02-2023 07:37:29	E190	D	70,8	73,4	83,3
8	22-02-2023 07:39:00	E195	D	71,7	73,5	82,8
8	22-02-2023 07:40:38	E190	D	70,8	73,1	82,3
8	22-02-2023 07:42:19	E75S	D	71,5	73,8	83,5
8	22-02-2023 07:50:26	A319	D	69,2	72,7	82,2
8	22-02-2023 07:53:05	B38M	D	70,1	72,3	82,2
8	22-02-2023 07:56:16	E195	D	70,8	73,5	83,1
8	22-02-2023 07:58:41	E195	D	70,7	73,1	82,7
8	22-02-2023 08:00:16	E195	D	75,7	79,3	87,8
8	22-02-2023 08:02:32	E75S	D	74,1	77,4	86,7

Nr punktu pomiarowego	Data i godz. zdarzenia	Samolot	Operacja*	$L_{Aeq}$	$L_{Amax}$	$L_{AE}$
				[dB]	[dB]	[dB]
8	22-02-2023 08:09:36	E170	D	71,2	74,0	83,8
8	22-02-2023 08:11:24	E75S	D	75,4	78,6	88,2
8	22-02-2023 08:16:40	B738	D	73,5	76,7	86,1
8	22-02-2023 08:19:02	E195	D	70,3	73,1	82,3
8	22-02-2023 09:23:04	E195	D	70,8	73,2	83,1
8	22-02-2023 09:25:54	E170	D	75,1	78,3	87,1
8	22-02-2023 09:29:01	E75S	D	70,3	71,8	82,3
8	22-02-2023 09:40:05	B738	D	68,6	70,6	82,6
8	22-02-2023 09:44:51	A321	D	70,0	73,1	84,5
8	22-02-2023 10:00:36	E75S	D	69,4	71,3	81,2
8	22-02-2023 10:17:41	E75S	D	70,2	72,8	82,2
8	22-02-2023 10:23:26	CRJ9	D	69,2	71,3	82,6
8	22-02-2023 10:28:26	E170	D	73,2	76,7	87,0
8	22-02-2023 10:37:46	E75S	D	70,8	72,9	83,1
8	22-02-2023 10:40:18	E170	D	68,7	70,7	81,0
8	22-02-2023 10:45:03	E170	D	70,4	72,5	83,4
8	22-02-2023 10:51:35	E190	D	70,9	73,9	83,0
8	22-02-2023 10:54:23	E170	D	71,1	73,4	82,6
8	22-02-2023 10:57:14	E195	D	75,1	79,0	87,4
8	22-02-2023 11:04:31	E190	D	70,1	73,0	82,5
8	22-02-2023 11:06:42	E195	D	71,4	74,0	83,7
8	22-02-2023 11:10:34	E190	D	73,0	76,2	85,3
8	22-02-2023 11:11:54	E195	D	70,3	73,8	83,8
8	22-02-2023 11:19:20	A21N	D	70,6	72,6	83,2
8	22-02-2023 11:22:13	E190	D	71,8	75,2	83,9
8	22-02-2023 12:01:25	A320	D	67,3	70,3	78,4
8	22-02-2023 12:03:47	E75S	D	70,5	74,2	82,8
8	22-02-2023 12:12:19	A321	D	70,7	72,5	84,7
8	22-02-2023 12:18:17	E195	D	75,1	78,1	86,6
8	22-02-2023 12:44:46	A321	D	69,4	73,1	84,8
8	22-02-2023 12:51:24	E190	D	71,6	74,3	83,7
8	22-02-2023 12:57:18	E190	D	71,2	75,0	85,5
8	22-02-2023 13:01:51	A21N	D	67,7	69,3	77,2
8	22-02-2023 13:11:28	E195	D	72,0	74,8	84,1
8	22-02-2023 13:13:22	A321	D	72,1	75,8	87,4
8	22-02-2023 13:23:34	E190	D	70,1	72,5	81,8
8	22-02-2023 13:34:49	E75S	D	68,8	70,8	83,1
8	22-02-2023 13:35:47	E75S	D	70,4	72,7	82,5
8	22-02-2023 13:37:32	E190	D	70,3	73,4	82,6
8	22-02-2023 13:39:02	E195	D	70,6	72,8	83,4
8	22-02-2023 13:40:34	E170	D	72,5	75,1	85,7
8	22-02-2023 13:47:25	E170	D	71,6	73,5	82,7
8	22-02-2023 13:59:29	E75S	D	71,3	73,7	83,6
8	22-02-2023 14:23:26	E190	D	75,0	78,9	87,7
8	22-02-2023 14:51:53	B38M	D	70,0	72,8	80,8
8	22-02-2023 14:53:40	E195	D	71,6	74,4	83,4
8	22-02-2023 15:05:56	A320	D	68,4	70,4	80,9
8	22-02-2023 15:07:24	E195	D	70,0	72,8	83,6
8	22-02-2023 15:09:30	E75S	D	68,3	69,4	80,1
8	22-02-2023 15:12:39	B38M	D	71,5	73,4	83,0
8	22-02-2023 15:28:25	E75S	D	70,3	72,5	82,8
8	22-02-2023 15:39:16	E170	D	73,2	76,6	86,3
8	22-02-2023 15:41:44	E75S	D	71,1	74,4	83,4
8	22-02-2023 15:43:59	E190	D	72,3	74,3	84,1
8	22-02-2023 15:49:59	E195	D	73,7	78,1	86,7
8	22-02-2023 15:51:48	E170	D	70,5	73,0	83,3
8	22-02-2023 15:59:57	A333	D	70,0	74,4	85,2

Nr punktu pomiarowego	Data i godz. zdarzenia	Samolot	Operacja*	$L_{Aeq}$	$L_{Amax}$	$L_{AE}$
				[dB]	[dB]	[dB]
8	22-02-2023 16:02:53	B38M	D	68,4	70,5	79,6
8	22-02-2023 16:04:15	E75S	D	69,9	72,3	81,7
8	22-02-2023 16:12:47	E75S	D	72,7	75,7	84,7
8	22-02-2023 16:15:16	A21N	D	69,2	71,1	80,3
8	22-02-2023 16:42:11	B738	D	71,6	74,4	83,3
8	22-02-2023 16:46:45	E190	D	74,5	78,3	86,3
8	22-02-2023 16:48:02	E190	D	71,3	73,9	83,4
8	22-02-2023 16:49:58	E195	D	71,4	74,9	83,7
8	22-02-2023 16:54:15	B38M	D	67,8	69,4	79,5
8	22-02-2023 16:56:18	E195	D	70,8	73,8	83,6
8	22-02-2023 16:57:57	E75S	D	69,6	72,8	82,4
8	22-02-2023 16:59:35	E75S	D	70,6	73,1	81,8
8	22-02-2023 17:01:11	A319	D	68,4	71,6	81,0
8	22-02-2023 17:04:57	E190	D	70,7	72,8	83,2
8	22-02-2023 17:09:12	E170	D	70,2	73,0	82,5
8	22-02-2023 17:14:25	E195	D	71,1	73,9	82,9
8	22-02-2023 17:15:48	B38M	D	72,2	74,8	84,3
8	22-02-2023 17:18:01	E170	D	69,2	72,2	82,6
8	22-02-2023 17:21:46	E75S	D	74,1	77,1	87,1
8	22-02-2023 17:23:43	E190	D	71,1	74,6	82,9
8	22-02-2023 17:25:47	E75S	D	71,6	74,8	83,9
8	22-02-2023 18:03:58	E195	D	74,7	78,5	87,5
8	22-02-2023 18:08:04	E75S	D	74,3	76,8	86,3
8	22-02-2023 18:09:54	E190	D	71,6	75,1	84,4
8	22-02-2023 18:13:11	E170	D	70,1	73,6	83,7
8	22-02-2023 18:16:47	E195	D	71,8	76,1	84,5
8	22-02-2023 18:19:38	E195	D	70,9	74,0	83,2
8	22-02-2023 18:21:06	B738	D	72,1	75,1	85,3
8	22-02-2023 18:24:44	A321	D	70,2	73,7	84,4
8	22-02-2023 18:26:23	A21N	D	69,1	71,2	80,9
8	22-02-2023 18:36:57	A321	D	71,8	74,1	85,6
8	22-02-2023 18:41:46	CRJ9	D	70,7	73,9	83,9
8	22-02-2023 18:51:17	A319	D	69,9	72,5	82,9
8	22-02-2023 18:53:49	A319	D	68,4	71,0	82,7
8	22-02-2023 19:10:21	C27J	D	69,5	71,9	81,8
8	22-02-2023 19:20:55	E55P	D	66,2	69,0	79,3
8	22-02-2023 19:26:48	A321	D	70,6	73,2	83,8
8	22-02-2023 19:29:12	E195	D	68,9	71,9	83,1
8	22-02-2023 19:31:11	A319	D	68,6	72,7	81,7
8	22-02-2023 19:34:52	E190	D	73,5	78,3	87,5
8	22-02-2023 19:36:11	E195	D	70,6	73,2	83,1
8	22-02-2023 19:38:01	E190	D	69,4	73,4	81,7
8	22-02-2023 19:45:20	A21N	D	70,0	72,4	81,1
8	22-02-2023 19:46:41	CRJ9	D	70,6	74,2	84,5
8	22-02-2023 20:06:38	E75S	D	74,1	77,6	86,9
8	22-02-2023 20:08:35	E195	D	70,8	73,9	83,6
8	22-02-2023 20:10:51	E75S	D	70,0	72,9	83,2
8	22-02-2023 20:12:50	E190	D	70,7	73,8	82,7
8	22-02-2023 20:17:03	BCS3	D	67,8	70,5	77,8
8	22-02-2023 20:21:07	B762	D	66,7	70,3	80,0
8	22-02-2023 20:23:34	E195	D	72,8	77,8	85,1
8	22-02-2023 20:27:13	E170	D	69,7	72,4	82,7
8	22-02-2023 20:30:59	E195	D	71,4	75,6	83,7
8	22-02-2023 20:33:06	A21N	D	66,8	69,8	78,2
8	22-02-2023 20:34:35	E170	D	70,5	72,3	82,5
8	22-02-2023 20:43:58	E75S	D	70,0	71,7	81,8
8	22-02-2023 20:47:21	E190	D	74,9	79,5	87,7

Nr punktu pomiarowego	Data i godz. zdarzenia	Samolot	Operacja*	$L_{Aeq}$	$L_{Amax}$	$L_{AE}$
				[dB]	[dB]	[dB]
8	22-02-2023 20:50:30	B38M	D	69,6	70,8	80,4
8	22-02-2023 20:56:59	E170	D	70,3	72,9	82,7
8	22-02-2023 20:58:26	B38M	D	68,7	71,3	79,5
8	22-02-2023 21:08:20	B763	D	69,4	71,8	83,6
8	22-02-2023 21:12:39	E190	D	70,8	73,7	82,8
8	22-02-2023 21:18:58	B38M	D	68,7	71,1	80,2
8	22-02-2023 21:20:37	C17	D	82,4	89,6	97,6
8	22-02-2023 21:44:36	B734	D	71,3	75,5	85,3
8	23-02-2023 06:08:07	E195	A	73,6	77,3	85,7
8	23-02-2023 06:11:32	E75S	A	71,4	75,2	85,2
8	23-02-2023 06:13:14	E75S	A	71,8	75,4	83,8
8	23-02-2023 06:19:33	E195	A	72,3	74,7	84,0
8	23-02-2023 06:21:14	E190	A	72,1	74,9	84,1
8	23-02-2023 06:23:14	B738	A	72,1	75,7	84,9
8	23-02-2023 06:25:35	B734	A	74,4	80,2	88,5
8	23-02-2023 06:27:25	E195	A	72,3	76,1	85,6
8	23-02-2023 06:29:34	E190	A	72,7	76,3	84,2
8	23-02-2023 06:31:30	E75S	A	71,1	73,9	82,8
8	23-02-2023 06:33:26	B38M	A	73,3	77,6	84,8
8	23-02-2023 06:36:16	B38M	A	72,0	75,1	82,8
8	23-02-2023 08:08:42	C17	A	78,2	83,8	92,7
8	23-02-2023 08:12:44	E170	A	70,3	74,3	82,3
8	23-02-2023 08:15:13	E190	A	71,0	74,1	83,6
8	23-02-2023 08:17:24	E195	A	71,7	74,9	84,0
8	23-02-2023 08:19:57	B38M	A	72,2	75,7	83,6
8	23-02-2023 08:23:34	B737	A	71,4	74,4	83,9
8	23-02-2023 08:26:09	E170	A	71,3	74,0	82,1
8	23-02-2023 08:35:06	A21N	A	71,8	74,4	82,9
8	23-02-2023 08:37:07	A320	A	71,8	75,2	83,5
8	23-02-2023 08:51:07	E190	A	71,5	74,8	82,9
8	23-02-2023 08:54:00	E190	A	70,5	73,1	83,7
8	23-02-2023 09:04:43	E195	A	72,2	76,5	85,2
8	23-02-2023 09:09:07	E190	A	72,0	74,9	83,5
8	23-02-2023 09:12:28	E170	A	70,7	72,9	81,5
8	23-02-2023 09:15:45	E195	A	71,3	74,7	83,9
8	23-02-2023 09:19:12	CRJ9	A	69,5	71,5	81,0
8	23-02-2023 09:21:28	E75S	A	71,3	74,2	82,1
8	23-02-2023 09:25:35	E195	A	79,1	88,3	96,1
8	23-02-2023 09:27:30	E190	A	72,1	76,0	83,9
8	23-02-2023 09:29:39	E75S	A	70,3	75,0	82,0
8	23-02-2023 09:31:30	E75S	A	70,9	73,9	81,7
8	23-02-2023 09:33:19	E75S	A	71,0	74,8	82,8
8	23-02-2023 09:35:26	E170	A	70,5	73,0	81,6
8	23-02-2023 09:46:31	B38M	A	71,1	74,4	82,9
8	23-02-2023 09:48:43	C295	A	70,6	73,3	81,4
8	23-02-2023 09:51:03	A320	A	72,4	75,8	84,7
8	23-02-2023 10:35:14	E170	A	70,4	73,3	80,8
8	23-02-2023 10:38:20	E190	A	71,6	75,4	83,9
8	23-02-2023 10:48:57	C295	A	70,3	72,1	81,1
8	23-02-2023 10:51:36	C295	A	72,0	75,1	82,5
8	23-02-2023 10:57:07	A321	A	70,2	73,6	82,2
8	23-02-2023 11:16:35	E75S	A	69,1	72,3	81,4
8	23-02-2023 11:28:20	E190	A	71,6	76,2	83,4
8	23-02-2023 11:30:57	A320	A	70,0	73,8	82,6
8	23-02-2023 11:35:26	B77W	A	74,8	80,5	89,4
8	23-02-2023 11:42:23	B789	A	72,1	75,5	85,6
8	23-02-2023 11:44:54	A321	A	70,9	74,2	82,4

Nr punktu pomiarowego	Data i godz. zdarzenia	Samolot	Operacja*	$L_{Aeq}$	$L_{Amax}$	$L_{AE}$
				[dB]	[dB]	[dB]
8	23-02-2023 11:51:26	E190	A	70,5	73,2	82,5
8	23-02-2023 11:54:12	C17	A	77,0	81,7	90,8
8	23-02-2023 11:56:48	E190	A	72,4	76,7	85,2
8	23-02-2023 11:58:52	E195	A	72,9	76,9	84,0
8	23-02-2023 12:01:19	A321	A	72,3	74,6	82,7
8	23-02-2023 12:03:36	E75S	A	73,0	76,7	84,1
8	23-02-2023 12:07:44	A321	A	70,5	72,6	81,7
8	23-02-2023 12:10:25	E195	A	71,8	75,4	84,1
8	23-02-2023 12:14:46	E195	A	70,7	74,1	83,3
8	23-02-2023 12:17:25	E190	A	71,8	75,2	83,2
8	23-02-2023 12:19:28	E75S	A	70,1	73,2	82,1
8	23-02-2023 12:23:42	E190	A	71,3	74,5	83,3
8	23-02-2023 12:25:17	E75S	A	69,9	72,9	81,4
8	23-02-2023 12:26:53	E195	A	72,3	75,0	83,8
8	23-02-2023 12:28:46	BCS3	A	69,5	72,6	80,3
8	23-02-2023 12:30:20	B38M	A	71,4	74,8	82,6
8	23-02-2023 12:31:49	E195	A	72,6	76,5	84,4
8	23-02-2023 12:33:26	B788	A	72,0	76,4	85,9
8	23-02-2023 12:36:01	E170	A	71,5	74,4	82,6
8	23-02-2023 12:37:49	E195	A	70,8	73,9	83,1
8	23-02-2023 12:40:14	E190	A	72,3	75,8	84,3
8	23-02-2023 12:44:11	B788	A	71,7	75,3	84,7
8	23-02-2023 12:47:09	E170	A	71,5	73,5	81,9
8	23-02-2023 12:49:11	E195	A	73,6	76,8	85,3
8	23-02-2023 12:51:24	E170	A	71,2	74,8	82,3
8	23-02-2023 12:54:21	A319	A	72,1	74,1	82,9
8	23-02-2023 13:03:26	B789	A	71,2	75,6	85,2
8	23-02-2023 13:06:18	E195	A	72,7	75,4	84,8
8	23-02-2023 13:19:26	A21N	A	70,4	74,3	83,2
8	23-02-2023 13:35:46	B38M	A	71,9	73,9	82,4
8	23-02-2023 13:38:05	C295	A	70,2	73,7	82,2
8	23-02-2023 13:42:31	E75S	A	71,6	74,7	83,3
8	23-02-2023 13:45:57	E75S	A	71,1	74,0	81,9
8	23-02-2023 13:50:22	A21N	A	70,7	74,0	83,4
8	23-02-2023 13:53:01	E170	A	70,4	72,5	81,2
8	23-02-2023 13:55:14	E195	A	72,2	76,0	84,5
8	23-02-2023 13:57:43	E290	A	69,9	71,9	78,9
8	23-02-2023 14:08:04	B788	A	70,9	74,6	84,1
8	23-02-2023 14:27:17	B38M	A	71,3	73,8	82,8
8	23-02-2023 14:42:29	E190	A	70,9	72,9	82,6
8	23-02-2023 14:48:19	A21N	A	71,2	74,0	82,4
8	23-02-2023 14:51:14	E195	A	73,5	77,2	85,3
8	23-02-2023 14:55:19	E75S	A	69,7	71,4	80,1
8	23-02-2023 15:00:44	B738	A	74,5	77,2	87,0
8	23-02-2023 15:13:13	E75S	A	71,4	75,0	82,9
8	23-02-2023 15:17:22	B789	A	71,6	75,0	84,4
8	23-02-2023 15:20:24	E195	A	72,2	75,1	84,2
8	23-02-2023 15:23:39	E190	A	72,8	76,9	84,9
8	23-02-2023 15:25:16	E170	A	71,4	74,2	82,5
8	23-02-2023 15:32:26	E195	A	71,9	75,7	84,2
8	23-02-2023 15:39:15	E75S	A	71,0	74,0	83,1
8	23-02-2023 15:41:40	E190	A	70,9	73,0	82,7
8	23-02-2023 15:43:41	E195	A	72,6	75,4	84,3
8	23-02-2023 15:50:01	B738	A	71,8	74,9	83,3
8	23-02-2023 15:52:16	E195	A	71,3	74,2	83,0
8	23-02-2023 15:54:13	E170	A	70,3	72,7	81,4
8	23-02-2023 15:55:56	B38M	A	70,6	73,9	83,2

Nr punktu pomiarowego	Data i godz. zdarzenia	Samolot	Operacja*	$L_{Aeq}$	$L_{Amax}$	$L_{AE}$
				[dB]	[dB]	[dB]
8	23-02-2023 15:58:17	E190	A	71,9	76,0	82,7
8	23-02-2023 16:03:21	E190	A	71,5	74,7	83,8
8	23-02-2023 16:08:30	B789	A	71,3	74,7	84,9
8	23-02-2023 16:17:45	B738	A	71,4	73,5	82,8
8	23-02-2023 16:25:22	E190	A	71,3	74,5	83,6
8	23-02-2023 16:42:03	A321	A	70,3	72,8	81,1
8	23-02-2023 16:43:43	E195	A	72,5	75,4	84,5
8	23-02-2023 16:46:42	M28	A	72,0	76,1	82,5
8	23-02-2023 16:54:57	A320	A	71,5	74,4	82,6
8	23-02-2023 16:58:28	M28	A	70,6	74,6	84,0
8	23-02-2023 17:18:19	E75S	A	70,5	74,0	82,3
8	23-02-2023 17:40:51	E170	A	70,8	73,2	81,6
8	23-02-2023 17:42:17	C525	A	69,0	71,8	80,5
8	23-02-2023 17:45:26	CRJ9	A	70,0	72,3	81,5
8	23-02-2023 17:50:51	E195	A	71,8	75,2	84,6
8	23-02-2023 17:53:01	E170	A	71,7	73,5	81,7
8	23-02-2023 17:54:46	CRJ9	A	70,2	71,9	80,6
8	23-02-2023 18:07:04	B788	A	71,2	74,9	84,6
8	23-02-2023 18:13:57	B38M	A	70,9	73,3	82,3
8	23-02-2023 18:24:14	E195	A	71,5	75,1	84,0
8	23-02-2023 18:27:44	C295	A	69,8	72,4	80,9
8	23-02-2023 18:35:37	E195	A	71,3	74,7	83,6
8	23-02-2023 18:38:46	A321	A	72,1	76,8	85,1
8	23-02-2023 18:41:05	A321	A	71,6	75,2	83,9
8	23-02-2023 18:42:36	E195	A	71,1	75,4	84,5
8	23-02-2023 18:44:09	E190	A	71,3	74,6	83,8
8	23-02-2023 18:46:19	E190	A	71,3	74,4	83,1
8	23-02-2023 18:48:20	E170	A	70,6	73,3	82,3
8	23-02-2023 18:50:04	E75S	A	70,3	74,3	83,1
8	23-02-2023 18:52:16	E190	A	72,3	76,1	84,0
8	23-02-2023 18:59:58	BCS3	A	69,7	72,6	81,2
8	23-02-2023 19:03:33	A319	A	70,7	73,5	81,8
8	23-02-2023 19:06:14	E195	A	72,3	76,3	84,8
8	23-02-2023 19:08:23	E190	A	72,4	76,2	84,7
8	23-02-2023 19:09:59	E75S	A	71,7	75,4	84,0
8	23-02-2023 19:11:32	B738	A	72,5	77,5	85,7
8	23-02-2023 19:13:35	E75S	A	70,9	73,8	82,0
8	23-02-2023 19:15:47	E190	A	70,5	73,7	83,0
8	23-02-2023 19:18:09	E75S	A	70,9	74,7	82,7
8	23-02-2023 19:27:48	E170	A	70,2	73,4	81,7
8	23-02-2023 19:38:25	B38M	A	70,9	74,9	83,7
8	23-02-2023 19:40:51	E170	A	71,2	75,4	84,4
8	23-02-2023 19:59:04	E550	A	68,1	70,6	79,3
8	23-02-2023 20:06:59	B38M	A	72,0	75,2	84,3
8	23-02-2023 20:40:39	E195	A	71,1	74,5	83,4
8	23-02-2023 20:42:56	B738	A	71,8	75,8	84,6
8	23-02-2023 20:57:41	E195	A	71,0	74,3	83,6
8	23-02-2023 20:59:21	E190	A	71,8	75,4	83,6
8	23-02-2023 21:06:32	E75S	A	70,7	72,9	81,5
8	23-02-2023 21:11:40	E75S	A	70,6	72,9	81,3
8	23-02-2023 21:13:50	B38M	A	71,0	74,9	83,6
8	23-02-2023 21:23:04	E195	A	70,8	73,8	83,1
8	23-02-2023 21:24:49	E195	A	72,0	75,7	84,0
8	23-02-2023 21:29:04	B38M	A	71,0	74,9	83,4
8	23-02-2023 21:33:14	E75S	A	72,0	74,7	82,8
8	23-02-2023 21:35:25	E195	A	71,2	75,7	84,0
8	23-02-2023 21:38:18	B38M	A	71,1	74,7	83,2

Nr punktu pomiarowego	Data i godz. zdarzenia	Samolot	Operacja*	$L_{Aeq}$	$L_{Amax}$	$L_{AE}$
				[dB]	[dB]	[dB]
8	23-02-2023 21:41:00	B738	A	72,8	75,9	84,5
8	23-02-2023 21:45:09	A320	A	70,1	73,4	82,6
8	23-02-2023 21:46:19	E190	A	69,9	72,3	81,1
8	23-02-2023 21:49:08	E75S	A	70,4	72,7	81,1
8	23-02-2023 21:51:54	E190	A	69,5	74,4	82,9
8	23-02-2023 21:54:19	A321	A	70,1	73,3	81,9
8	23-02-2023 21:56:44	E195	A	72,3	76,6	84,3
8	23-02-2023 21:58:27	B38M	A	70,9	74,6	83,7
8	24-02-2023 06:08:33	E195	A	72,5	75,2	83,0
8	24-02-2023 06:10:22	E75S	A	69,8	71,7	78,8
8	24-02-2023 06:11:58	B734	A	75,4	79,3	86,6
8	24-02-2023 06:13:54	E190	A	71,1	73,1	82,3
8	24-02-2023 06:15:40	E195	A	71,3	74,1	83,1
8	24-02-2023 06:18:03	E190	A	70,3	73,6	81,4
8	24-02-2023 06:20:30	E75S	A	70,7	73,3	80,7
8	24-02-2023 06:25:12	E195	A	72,0	74,3	82,8
8	24-02-2023 06:27:47	E195	A	73,0	76,4	83,8
8	24-02-2023 06:34:42	B738	A	74,2	78,4	85,7
8	24-02-2023 06:40:34	E195	A	71,9	74,6	82,7
8	24-02-2023 06:44:56	E75S	A	69,8	72,2	79,4
8	24-02-2023 07:19:23	A320	D	66,8	67,5	75,9
8	24-02-2023 07:20:58	A21N	D	67,0	68,1	77,8
8	24-02-2023 07:23:32	B738	D	70,2	72,4	82,3
8	24-02-2023 07:25:10	E190	D	68,0	69,4	77,5
8	24-02-2023 07:26:39	E75S	D	68,2	69,2	80,5
8	24-02-2023 07:28:13	E195	D	69,5	71,6	80,9
8	24-02-2023 07:37:10	E190	D	69,2	71,1	81,8
8	24-02-2023 07:42:57	E195	D	69,6	71,6	80,7
8	24-02-2023 07:44:46	E75S	D	69,0	70,6	81,5
8	24-02-2023 07:47:10	E75S	D	68,6	70,1	81,2
8	24-02-2023 07:48:55	B38M	D	66,5	67,9	75,6
8	24-02-2023 07:50:18	B738	D	71,9	74,6	86,8
8	24-02-2023 07:51:54	E195	D	69,4	72,0	81,7
8	24-02-2023 07:53:26	E195	D	69,0	71,8	80,5
8	24-02-2023 07:54:51	E75S	D	69,7	71,4	81,5
8	24-02-2023 07:56:36	B38M	D	67,7	69,9	79,7
8	24-02-2023 07:57:49	E75S	D	68,1	69,5	80,4
8	24-02-2023 08:00:05	E195	D	69,2	72,0	80,3
8	24-02-2023 08:01:37	E190	D	68,1	69,9	77,6
8	24-02-2023 08:02:48	E190	D	74,3	77,1	86,6
8	24-02-2023 08:04:23	E195	D	69,0	70,7	79,4
8	24-02-2023 08:07:12	M28	D	67,2	67,9	76,2
8	24-02-2023 08:15:24	E195	D	72,9	75,8	84,9
8	24-02-2023 08:18:34	B738	D	70,8	74,3	86,4
8	24-02-2023 08:22:13	A320	D	68,8	70,3	81,1
8	24-02-2023 08:32:35	B738	D	71,7	74,7	86,1
8	24-02-2023 08:34:14	B738	D	70,7	74,5	85,9
8	24-02-2023 08:39:23	E195	D	69,1	71,5	82,1
8	24-02-2023 09:08:34	B738	D	68,6	71,3	83,7
8	24-02-2023 09:11:28	E190	D	71,2	73,6	85,9
8	24-02-2023 09:13:54	B738	D	71,0	73,3	85,3
8	24-02-2023 09:27:28	E170	D	69,3	71,6	81,6
8	24-02-2023 10:05:51	B738	D	69,3	71,3	84,3
8	24-02-2023 10:08:01	E195	D	67,4	69,2	80,4
8	24-02-2023 10:11:29	E190	D	68,4	69,7	78,0
8	24-02-2023 10:20:10	E75S	D	67,8	69,8	79,3
8	24-02-2023 10:36:19	E170	D	69,5	70,8	80,0

Nr punktu pomiarowego	Data i godz. zdarzenia	Samolot	Operacja*	$L_{Aeq}$	$L_{Amax}$	$L_{AE}$
				[dB]	[dB]	[dB]
8	24-02-2023 10:39:49	E195	D	69,0	70,7	81,5
8	24-02-2023 10:41:36	E190	D	70,3	71,8	81,5
8	24-02-2023 10:44:47	E195	D	68,5	70,2	79,7
8	24-02-2023 10:54:29	B38M	D	71,6	74,5	82,8
8	24-02-2023 10:55:52	E195	D	69,3	71,2	81,9
8	24-02-2023 11:02:47	E75S	D	68,7	70,3	80,2
8	24-02-2023 11:07:24	B38M	D	69,7	72,1	81,5
8	24-02-2023 11:09:42	E75S	D	68,0	70,2	78,4
8	24-02-2023 11:11:13	E195	D	68,4	70,3	79,5
8	24-02-2023 11:14:49	E190	D	71,0	73,1	82,4
8	24-02-2023 11:35:44	E195	D	69,0	71,1	80,5
8	24-02-2023 11:43:50	E195	D	69,9	71,3	81,1
8	24-02-2023 11:45:39	A321	D	68,1	69,5	81,9
8	24-02-2023 11:47:19	E75S	D	70,4	72,4	82,7
8	24-02-2023 11:59:12	E190	D	74,4	77,9	87,0
8	24-02-2023 12:04:48	A321	D	70,1	72,7	85,0
8	24-02-2023 12:24:06	B738	D	72,6	74,7	86,2
8	24-02-2023 12:25:56	A321	D	69,9	72,5	84,0
8	24-02-2023 12:45:40	A321	D	78,3	88,1	95,4
8	24-02-2023 12:49:52	A320	D	69,1	71,7	82,1
8	24-02-2023 13:03:56	E190	D	72,4	75,0	87,1
8	24-02-2023 13:07:58	A21N	D	69,4	72,2	83,4
8	24-02-2023 13:16:35	A321	D	70,0	73,4	85,0
8	24-02-2023 13:18:36	B38M	D	69,5	70,9	80,7
8	24-02-2023 13:24:40	E75S	D	69,9	72,4	84,0
8	24-02-2023 13:33:19	E190	D	70,4	73,1	83,0
8	24-02-2023 13:34:50	E195	D	69,9	71,8	82,7
8	24-02-2023 13:36:34	B77W	D	73,2	78,7	87,5
8	24-02-2023 13:38:23	E75S	D	72,0	76,2	87,2
8	24-02-2023 13:41:46	E195	D	69,5	75,0	82,5
8	24-02-2023 13:44:52	E170	D	71,6	76,1	85,4
8	24-02-2023 13:53:43	A319	D	67,3	69,8	80,3
8	24-02-2023 14:01:01	E195	D	68,8	72,8	81,8
8	24-02-2023 14:06:08	E195	D	69,7	73,8	82,2
8	24-02-2023 14:19:04	E190	D	74,4	77,3	87,1
8	24-02-2023 14:22:11	A21N	D	67,3	68,5	77,3
8	24-02-2023 14:36:59	A21N	D	69,4	71,9	83,2
8	24-02-2023 14:50:58	B38M	D	69,2	71,2	82,8
8	24-02-2023 14:57:57	E195	D	71,3	75,3	84,4
8	24-02-2023 15:04:53	BCS3	D	78,3	85,5	93,1
8	24-02-2023 15:06:16	B38M	D	68,9	70,8	80,9
8	24-02-2023 15:08:18	E170	D	69,7	72,0	82,5
8	24-02-2023 15:10:08	E195	D	69,4	72,9	84,1
8	24-02-2023 15:11:38	B738	P	74,4	78,9	88,2
8	24-02-2023 15:13:11	E75S	D	71,2	76,0	84,7
8	24-02-2023 15:25:53	E75S	D	70,3	74,1	83,7
8	24-02-2023 15:28:59	E170	D	72,7	75,9	85,7
8	24-02-2023 15:37:10	E75S	D	69,7	72,6	83,1
8	24-02-2023 15:48:36	A21N	D	69,9	72,1	81,3
8	24-02-2023 15:50:47	E195	D	71,4	74,3	84,0
8	24-02-2023 15:52:37	E75S	D	70,2	73,3	83,0
8	24-02-2023 15:55:37	B38M	D	70,0	71,8	81,8
8	24-02-2023 15:59:23	E190	D	71,1	74,7	83,4
8	24-02-2023 16:03:35	A333	D	72,0	76,6	86,6
8	24-02-2023 16:29:19	E75S	D	71,5	74,2	84,7
8	24-02-2023 16:34:25	A321	D	69,9	72,9	85,4
8	24-02-2023 16:36:43	E195	D	71,2	74,8	84,7

Nr punktu pomiarowego	Data i godz. zdarzenia	Samolot	Operacja*	$L_{Aeq}$	$L_{Amax}$	$L_{AE}$
				[dB]	[dB]	[dB]
8	24-02-2023 16:40:31	B38M	D	67,4	69,6	80,2
8	24-02-2023 16:42:04	E195	D	73,1	77,1	86,6
8	24-02-2023 16:43:17	E195	D	69,7	72,4	83,5
8	24-02-2023 16:45:18	E190	D	71,4	75,7	84,9
8	24-02-2023 16:47:54	E195	D	70,6	74,7	83,7
8	24-02-2023 16:50:07	E190	D	71,5	75,2	84,5
8	24-02-2023 16:51:19	C17	D	80,0	85,4	96,1
8	24-02-2023 16:53:46	B738	D	75,1	78,6	88,3
8	24-02-2023 16:54:48	E75S	D	75,4	86,7	91,9
8	24-02-2023 16:58:03	E195	D	71,4	75,3	84,2
8	24-02-2023 17:05:25	E190	D	69,1	72,2	80,2
8	24-02-2023 17:09:24	E190	D	70,5	73,5	82,3
8	24-02-2023 17:11:12	B38M	D	71,0	73,9	84,2
8	24-02-2023 17:12:46	E195	D	70,5	74,1	83,3
8	24-02-2023 17:14:21	E195	D	70,6	73,9	83,8
8	24-02-2023 17:17:26	E195	D	71,4	74,2	83,4
8	24-02-2023 17:21:00	A319	D	69,8	71,3	83,0
8	24-02-2023 17:22:57	B38M	D	69,0	71,0	82,0
8	24-02-2023 17:30:13	E190	D	71,4	73,5	84,2
8	24-02-2023 17:33:42	E190	D	70,7	73,0	83,2
8	24-02-2023 17:35:43	E75S	D	72,3	75,6	85,5
8	24-02-2023 17:40:43	A321	D	69,1	71,0	84,0
8	24-02-2023 17:42:10	B38M	D	69,9	72,8	83,4
8	24-02-2023 17:46:07	E170	D	69,9	73,4	83,7
8	24-02-2023 17:48:22	A321	D	69,9	71,6	84,1
8	24-02-2023 17:51:05	E190	D	72,3	75,1	85,1
8	24-02-2023 17:58:29	E75S	D	69,8	72,3	82,8
8	24-02-2023 18:05:45	E195	D	70,8	74,0	83,5
8	24-02-2023 18:16:55	B738	D	72,8	76,0	86,4
8	24-02-2023 18:33:43	B738	D	69,1	71,2	84,2
8	24-02-2023 18:35:27	CRJ9	D	69,6	71,6	83,2
8	24-02-2023 18:47:15	E190	D	70,4	74,3	85,2
8	24-02-2023 18:50:35	CRJ9	D	67,6	69,7	80,6
8	24-02-2023 18:58:59	A321	D	73,0	76,9	88,1
8	24-02-2023 19:11:14	A320	D	68,2	70,8	83,1
8	24-02-2023 19:25:36	E190	D	72,4	75,2	86,8
8	24-02-2023 19:27:53	E75S	D	74,8	82,9	90,2
8	24-02-2023 19:37:48	E195	D	69,2	71,8	82,4
8	24-02-2023 19:39:07	A333	D	72,2	75,2	88,6
8	24-02-2023 19:41:13	A321	D	69,8	72,8	84,0
8	24-02-2023 19:43:02	E190	D	69,7	72,2	82,0
8	24-02-2023 19:44:36	A320	D	68,9	70,8	82,5
8	24-02-2023 20:09:30	E75S	D	72,2	75,0	85,7
8	24-02-2023 20:11:45	E75S	D	69,6	72,3	83,4
8	24-02-2023 20:13:25	E170	D	69,5	72,0	83,6
8	24-02-2023 20:15:15	E170	D	70,0	72,2	83,8
8	24-02-2023 20:17:11	E190	D	71,3	73,6	83,8
8	24-02-2023 20:24:02	E75S	D	70,1	72,8	83,7
8	24-02-2023 20:27:48	E195	D	70,8	73,0	83,8
8	24-02-2023 20:30:13	E170	D	71,2	73,1	84,8
8	24-02-2023 20:32:08	E170	D	69,8	72,0	83,6
8	24-02-2023 20:39:11	E190	D	71,7	74,1	84,2
8	24-02-2023 20:50:12	E75S	D	69,9	71,6	83,4
8	24-02-2023 20:55:28	B38M	D	68,0	68,7	79,7
8	24-02-2023 21:16:12	B38M	D	68,4	69,6	81,8
8	24-02-2023 21:26:47	B763	D	69,5	70,7	83,8
8	24-02-2023 21:42:46	B734	D	71,1	73,0	85,9

Nr punktu pomiarowego	Data i godz. zdarzenia	Samolot	Operacja*	$L_{Aeq}$	$L_{Amax}$	$L_{AE}$
				[dB]	[dB]	[dB]
8	25-02-2023 06:07:40	A21N	D	67,8	69,5	80,1
8	25-02-2023 06:15:30	B737	D	68,8	71,6	81,5
8	25-02-2023 06:17:33	A319	D	67,7	70,6	78,5
8	25-02-2023 06:22:22	A21N	D	67,7	70,5	80,5
8	25-02-2023 06:24:36	A321	D	69,3	71,2	84,2
8	25-02-2023 06:29:18	A321	D	67,7	70,8	82,2
8	25-02-2023 06:36:01	A321	D	67,1	68,0	77,1
8	25-02-2023 06:40:28	A21N	D	67,8	69,1	80,1
8	25-02-2023 06:42:22	A321	D	67,9	70,5	81,7
8	25-02-2023 06:56:14	B38M	D	68,0	70,9	78,5
8	25-02-2023 07:26:30	E75S	D	67,6	69,7	79,4
8	25-02-2023 07:29:47	E75S	D	67,6	69,4	79,4
8	25-02-2023 07:32:09	E195	D	68,5	70,2	78,5
8	25-02-2023 07:36:30	E170	D	67,7	69,0	80,0
8	25-02-2023 07:50:53	E195	D	68,5	70,9	80,0
8	25-02-2023 07:53:34	E195	D	68,4	70,5	79,5
8	25-02-2023 07:55:24	E170	D	67,2	70,0	77,6
8	25-02-2023 07:57:12	E195	D	68,5	70,7	80,6
8	25-02-2023 08:02:04	E195	D	67,2	68,4	77,6
8	25-02-2023 08:03:28	E190	D	69,7	72,5	80,1
8	25-02-2023 08:05:03	B738	D	69,9	72,5	82,5
8	25-02-2023 08:13:49	B38M	D	67,7	69,3	79,1
8	25-02-2023 08:15:57	B38M	D	70,2	71,9	81,3
8	25-02-2023 08:17:13	E190	D	71,3	74,6	84,1
8	25-02-2023 08:43:03	E75S	D	68,8	71,9	81,8
8	25-02-2023 08:54:23	B738	D	72,3	75,4	86,6
8	25-02-2023 09:12:26	B738	D	70,4	72,5	83,6
8	25-02-2023 09:18:52	E170	D	69,6	72,5	83,0
8	25-02-2023 09:25:35	E170	D	68,7	73,1	83,2
8	25-02-2023 09:27:19	E190	D	71,9	76,1	86,5
8	25-02-2023 09:31:19	B38M	D	67,8	70,4	79,3
8	25-02-2023 09:45:31	A321	D	68,6	71,0	81,8
8	25-02-2023 09:51:05	A321	D	66,6	67,4	75,7
8	25-02-2023 09:59:21	E190	D	70,4	74,8	83,0
8	25-02-2023 10:01:05	B738	D	68,5	71,9	83,9
8	25-02-2023 10:02:53	C560	D	69,0	71,9	82,2
8	25-02-2023 10:10:30	E195	D	67,3	69,4	80,9
8	25-02-2023 10:27:30	B738	D	68,2	71,3	81,3
8	25-02-2023 10:40:07	E75S	D	73,1	76,3	85,9
8	25-02-2023 10:45:15	E190	D	69,0	72,0	81,3
8	25-02-2023 10:50:13	B38M	D	76,3	85,2	92,1
8	25-02-2023 10:55:11	P180	D	68,3	71,9	80,6
8	25-02-2023 10:57:16	E75S	D	69,8	73,0	83,4
8	25-02-2023 10:58:48	E195	D	75,9	79,4	88,7
8	25-02-2023 11:00:13	E75S	D	69,3	71,3	80,5
8	25-02-2023 11:01:28	B38M	D	72,1	74,5	84,9
8	25-02-2023 11:02:59	E190	D	70,8	73,1	83,1
8	25-02-2023 11:04:18	E75S	D	71,4	73,9	84,6
8	25-02-2023 11:14:07	B38M	D	69,3	70,5	81,9
8	25-02-2023 11:15:53	A21N	D	70,2	72,5	82,2
8	25-02-2023 11:19:51	E195	D	71,1	73,7	83,2
8	25-02-2023 11:23:50	E195	D	71,7	76,2	84,5
8	25-02-2023 11:29:08	B738	D	72,2	76,5	87,1
8	25-02-2023 11:36:46	A321	D	69,8	73,3	84,5
8	25-02-2023 11:42:58	E190	D	72,6	76,1	84,9
8	25-02-2023 12:03:05	E75S	D	74,5	80,3	88,5
8	25-02-2023 12:04:50	B38M	D	68,8	72,0	81,3

Nr punktu pomiarowego	Data i godz. zdarzenia	Samolot	Operacja*	$L_{Aeq}$	$L_{Amax}$	$L_{AE}$
				[dB]	[dB]	[dB]
8	25-02-2023 12:29:34	B738	D	71,1	74,8	85,8
8	25-02-2023 12:41:40	A321	D	69,3	71,5	83,8
8	25-02-2023 12:44:44	A321	D	70,1	73,0	85,9
8	25-02-2023 12:48:04	A321	D	70,9	74,2	84,7
8	25-02-2023 12:50:38	A321	D	70,5	73,6	84,8
8	25-02-2023 12:52:36	E190	D	72,7	76,9	85,4
8	25-02-2023 13:09:24	E195	D	69,2	71,0	82,2
8	25-02-2023 13:11:21	A21N	D	67,3	69,7	76,4
8	25-02-2023 13:13:08	B738	D	72,7	76,2	88,3
8	25-02-2023 13:27:11	E190	D	72,0	75,9	84,7
8	25-02-2023 13:29:10	BCS3	D	68,3	70,9	80,9
8	25-02-2023 13:30:50	E170	D	70,1	72,1	83,5
8	25-02-2023 13:32:04	E75S	D	72,7	76,8	85,9
8	25-02-2023 13:33:36	E170	D	70,9	74,2	84,3
8	25-02-2023 13:35:45	B77W	D	72,0	74,4	86,7
8	25-02-2023 13:38:23	E195	D	69,6	72,0	82,6
8	25-02-2023 13:40:24	A321	D	70,9	75,2	86,0
8	25-02-2023 13:42:56	E195	D	71,4	75,2	83,2
8	25-02-2023 13:49:33	E75S	D	67,0	68,8	76,0
8	25-02-2023 13:51:15	A319	D	68,9	71,1	80,3
8	25-02-2023 13:56:10	E190	D	70,1	73,0	82,7
8	25-02-2023 14:18:06	E190	D	73,1	77,2	86,5
8	25-02-2023 14:24:49	B738	D	71,9	76,0	86,6
8	25-02-2023 14:33:42	B38M	D	70,6	73,3	82,3
8	25-02-2023 14:41:17	A21N	D	68,4	70,1	81,6
8	25-02-2023 14:58:51	E190	D	71,3	75,0	84,1
8	25-02-2023 15:04:20	E190	D	73,3	77,5	87,1
8	25-02-2023 15:05:25	E170	D	70,6	73,7	83,2
8	25-02-2023 15:10:54	E195	D	69,9	71,8	82,2
8	25-02-2023 15:12:29	E75S	D	69,4	72,0	82,4
8	25-02-2023 15:13:55	E75S	D	68,4	70,0	82,7
8	25-02-2023 15:15:56	E195	D	70,4	74,2	83,1
8	25-02-2023 15:17:56	E75S	D	70,0	73,1	83,8
8	25-02-2023 15:21:47	A21N	D	68,4	70,5	81,6
8	25-02-2023 15:23:39	E190	D	70,2	73,7	84,2
8	25-02-2023 15:30:38	E170	D	72,7	76,1	85,7
8	25-02-2023 15:33:49	A321	D	70,7	73,1	84,7
8	25-02-2023 15:46:24	E75S	D	74,7	77,7	87,5
8	25-02-2023 15:48:25	E195	D	71,9	76,2	84,0
8	25-02-2023 15:52:06	E195	D	69,3	71,8	81,4
8	25-02-2023 15:54:36	E195	D	69,8	73,6	81,9
8	25-02-2023 15:56:26	E75S	D	70,9	73,2	82,9
8	25-02-2023 15:58:30	B788	D	67,5	68,6	77,0
8	25-02-2023 16:00:16	B38M	D	69,4	71,4	80,2
8	25-02-2023 16:02:24	B738	D	70,6	73,9	86,4
8	25-02-2023 16:04:42	E170	D	69,2	72,1	83,7
8	25-02-2023 16:46:02	E195	D	71,1	74,2	83,4
8	25-02-2023 16:48:56	E170	D	70,0	72,2	83,0
8	25-02-2023 16:50:52	E75S	D	71,6	74,7	85,2
8	25-02-2023 16:53:28	E75S	D	70,5	73,5	83,5
8	25-02-2023 17:04:39	E190	D	84,4	91,6	98,9
8	25-02-2023 17:06:05	B38M	D	68,6	70,3	81,2
8	25-02-2023 17:07:57	E190	D	71,3	74,2	84,7
8	25-02-2023 17:09:25	A21N	D	69,5	71,2	82,1
8	25-02-2023 17:10:56	E75S	D	69,4	71,7	82,6
8	25-02-2023 17:12:41	B738	D	68,3	70,0	81,7
8	25-02-2023 17:16:10	B38M	D	67,3	68,3	78,4

Nr punktu pomiarowego	Data i godz. zdarzenia	Samolot	Operacja*	$L_{Aeq}$	$L_{Amax}$	$L_{AE}$
				[dB]	[dB]	[dB]
8	25-02-2023 17:18:15	E190	D	71,5	74,7	84,0
8	25-02-2023 17:19:35	E195	D	70,6	73,5	83,0
8	25-02-2023 17:23:54	E75S	D	70,9	73,8	82,4
8	25-02-2023 17:26:13	B738	D	71,6	73,3	84,4
8	25-02-2023 17:28:01	E75S	D	69,4	71,9	81,2
8	25-02-2023 17:31:39	A321	D	67,1	69,3	79,2
8	25-02-2023 17:33:17	E190	D	68,2	70,0	79,0
8	25-02-2023 17:35:28	E170	D	68,1	69,3	77,1
8	25-02-2023 17:45:04	B38M	D	69,7	72,1	82,3
8	25-02-2023 17:48:25	E195	D	70,7	73,5	83,5
8	25-02-2023 17:52:05	B38M	D	68,8	70,5	79,6
8	25-02-2023 18:25:08	B789	D	68,3	73,3	82,5
8	25-02-2023 18:47:09	B738	D	71,1	75,8	87,4
8	25-02-2023 18:51:02	A321	D	69,1	70,8	83,0
8	25-02-2023 19:29:33	E190	D	71,3	75,4	87,1
8	25-02-2023 19:37:57	A320	D	72,3	75,6	86,4
8	25-02-2023 19:44:47	E190	D	71,0	72,9	84,2
8	25-02-2023 19:46:42	LJ60	D	66,8	68,5	79,4
8	25-02-2023 20:09:38	E75S	D	70,5	73,6	82,3
8	25-02-2023 20:15:24	B738	D	65,8	68,0	76,3
8	25-02-2023 20:17:17	E75S	D	70,8	73,9	83,9
8	25-02-2023 21:06:09	E75S	D	74,6	77,3	87,6
8	25-02-2023 21:10:54	A21N	D	67,9	70,5	81,9
8	25-02-2023 21:46:02	B738	D	67,3	68,8	79,3
8	26-02-2023 06:03:54	B38M	D	69,4	71,2	81,2
8	26-02-2023 06:14:24	A319	D	67,9	71,5	81,1
8	26-02-2023 06:23:06	B737	D	72,4	75,1	85,2
8	26-02-2023 06:26:59	A21N	D	68,9	70,6	81,2
8	26-02-2023 06:38:28	FA7X	D	67,5	69,5	80,3
8	26-02-2023 06:45:50	A21N	D	68,0	69,7	79,2
8	26-02-2023 06:47:39	A321	D	68,5	71,0	82,7
8	26-02-2023 06:52:44	A321	D	70,3	73,4	84,5
8	26-02-2023 07:06:21	A321	D	69,4	72,3	84,5
8	26-02-2023 07:21:44	A321	D	69,7	73,0	83,9
8	26-02-2023 07:33:43	A320	D	67,8	70,3	80,8
8	26-02-2023 07:38:28	BCS3	D	66,9	69,3	76,5
8	26-02-2023 07:40:32	E195	D	70,0	72,5	81,8
8	26-02-2023 07:44:58	E75S	D	70,5	72,8	83,3
8	26-02-2023 07:47:38	A21N	D	69,9	72,2	82,7
8	26-02-2023 07:51:10	A321	D	70,5	73,8	84,8
8	26-02-2023 07:52:40	B38M	D	67,1	69,0	80,2
8	26-02-2023 07:54:27	E195	D	70,6	73,4	82,3
8	26-02-2023 07:56:24	E190	D	69,9	72,9	81,7
8	26-02-2023 07:59:07	A320	D	66,9	68,1	77,7
8	26-02-2023 08:01:01	E195	D	68,4	70,1	80,1
8	26-02-2023 08:02:53	E170	D	68,6	70,6	81,2
8	26-02-2023 08:04:13	E75S	D	68,1	69,9	80,2
8	26-02-2023 08:06:41	E75S	D	68,4	70,6	80,9
8	26-02-2023 08:09:30	E195	D	69,1	72,3	80,3
8	26-02-2023 08:11:04	E195	D	70,4	73,9	83,0
8	26-02-2023 08:13:21	B38M	D	67,9	69,5	78,7
8	26-02-2023 08:16:16	E75S	D	69,7	71,7	81,2
8	26-02-2023 08:17:59	B738	D	71,4	74,4	84,1
8	26-02-2023 08:19:54	E195	D	70,2	73,5	82,0
8	26-02-2023 08:22:10	E195	D	76,0	79,6	88,0
8	26-02-2023 08:24:51	E195	D	74,8	79,0	87,1
8	26-02-2023 08:41:43	B738	D	72,2	75,1	86,3

Nr punktu pomiarowego	Data i godz. zdarzenia	Samolot	Operacja*	$L_{Aeq}$	$L_{Amax}$	$L_{AE}$
				[dB]	[dB]	[dB]
8	26-02-2023 08:56:50	E190	D	73,7	78,0	88,1
8	26-02-2023 09:08:35	B738	D	70,0	72,4	83,8
8	26-02-2023 09:31:25	E75S	D	70,2	74,0	82,7
8	26-02-2023 09:33:25	B738	D	71,9	75,7	86,1
8	26-02-2023 09:36:44	B38M	D	68,8	70,0	78,3
8	26-02-2023 10:27:32	E75S	D	70,4	74,2	85,6
8	26-02-2023 10:31:41	E170	D	68,9	71,2	81,2
8	26-02-2023 10:51:37	E190	D	70,6	73,4	82,4
8	26-02-2023 10:53:48	E190	D	74,6	77,9	87,2
8	26-02-2023 10:59:20	E190	D	73,6	76,6	85,4
8	26-02-2023 11:01:38	E170	D	69,6	71,3	81,4
8	26-02-2023 11:04:06	E75S	D	69,8	72,0	82,8
8	26-02-2023 11:09:42	B738	D	72,5	75,7	86,7
8	26-02-2023 11:15:30	E190	D	70,0	73,6	83,0
8	26-02-2023 11:16:47	B38M	D	67,7	71,1	81,3
8	26-02-2023 11:18:17	A21N	D	69,4	72,0	82,4
8	26-02-2023 11:25:41	E195	D	71,3	73,6	83,1
8	26-02-2023 11:28:58	E195	D	70,2	73,0	82,8
8	26-02-2023 11:43:00	B38M	D	68,0	71,1	78,8
8	26-02-2023 11:47:54	BE40	D	68,6	71,1	78,2
8	26-02-2023 11:57:38	E190	D	72,0	74,9	83,1
8	26-02-2023 12:22:52	E195	D	75,6	79,7	87,6
8	26-02-2023 12:40:42	B738	D	70,2	72,7	84,2
8	26-02-2023 12:47:20	A321	D	69,9	73,0	84,5
8	26-02-2023 12:51:28	E190	D	71,2	73,5	83,5
8	26-02-2023 12:56:48	A321	D	70,5	73,9	83,5
8	26-02-2023 13:00:06	A321	D	69,5	73,3	84,3
8	26-02-2023 13:09:22	E195	D	70,4	72,1	82,1
8	26-02-2023 13:11:44	E190	D	72,2	76,6	86,4
8	26-02-2023 13:19:45	E75S	D	69,3	71,5	82,5
8	26-02-2023 13:27:23	E75S	D	71,9	74,9	85,2
8	26-02-2023 13:29:27	E195	D	70,3	73,9	82,3
8	26-02-2023 13:34:08	B77W	D	71,3	74,0	85,1
8	26-02-2023 13:41:13	E190	D	72,4	75,4	85,2
8	26-02-2023 13:43:25	A21N	D	68,9	71,1	81,9
8	26-02-2023 13:50:15	E195	D	69,7	74,3	82,5
8	26-02-2023 13:53:02	E75S	D	71,3	74,0	83,3
8	26-02-2023 14:00:51	E190	D	71,9	74,2	83,4
8	26-02-2023 14:24:39	A319	D	69,7	72,5	82,0
8	26-02-2023 14:27:49	E190	D	74,4	77,5	86,4
8	26-02-2023 14:44:28	A21N	D	70,1	73,5	82,4
8	26-02-2023 14:54:10	B738	D	69,3	72,0	82,1
8	26-02-2023 15:00:24	E195	D	71,2	74,2	82,9
8	26-02-2023 15:02:22	E195	D	69,1	73,2	83,3
8	26-02-2023 15:06:33	B738	D	74,4	77,7	86,7
8	26-02-2023 15:10:29	A21N	D	69,3	72,3	81,3
8	26-02-2023 15:12:34	E75S	D	70,0	71,9	81,4
8	26-02-2023 15:14:40	E75S	D	70,1	72,7	82,9
8	26-02-2023 15:30:45	E170	D	71,5	73,3	83,3
8	26-02-2023 15:32:13	E190	D	72,0	74,4	83,4
8	26-02-2023 15:39:25	E195	D	72,5	74,4	84,5
8	26-02-2023 15:49:54	E75S	D	74,2	77,0	86,3
8	26-02-2023 15:51:47	C560	D	69,8	73,6	83,5
8	26-02-2023 15:53:00	E170	D	70,4	74,2	83,8
8	26-02-2023 15:54:35	A320	D	67,9	70,3	80,9
8	26-02-2023 15:56:25	B38M	D	68,7	70,1	79,5
8	26-02-2023 15:58:27	A332	D	71,4	76,2	85,9

Nr punktu pomiarowego	Data i godz. zdarzenia	Samolot	Operacja*	$L_{Aeq}$	$L_{Amax}$	$L_{AE}$
				[dB]	[dB]	[dB]
8	26-02-2023 16:03:20	E195	D	69,7	72,4	81,5
8	26-02-2023 16:05:06	E75S	D	70,4	72,6	83,1
8	26-02-2023 16:36:13	E75S	D	73,7	76,3	86,7
8	26-02-2023 16:37:57	A321	D	69,8	71,8	83,6
8	26-02-2023 16:42:33	E195	D	71,8	74,8	83,2
8	26-02-2023 16:44:12	E195	D	70,7	73,1	82,7
8	26-02-2023 16:46:09	E190	D	71,1	74,2	82,9
8	26-02-2023 16:50:37	E170	D	70,7	73,1	82,7
8	26-02-2023 16:58:03	E195	D	70,1	72,3	81,9
8	26-02-2023 17:03:05	E195	D	70,3	72,5	81,5
8	26-02-2023 17:05:16	E190	D	70,0	71,7	81,4
8	26-02-2023 17:07:08	A320	D	68,5	71,0	82,5
8	26-02-2023 17:09:11	E190	D	72,5	76,4	83,9
8	26-02-2023 17:11:01	E195	D	69,7	72,0	81,8
8	26-02-2023 17:12:26	B38M	D	68,1	69,8	79,9
8	26-02-2023 17:18:25	E75S	D	70,1	71,2	82,2
8	26-02-2023 17:19:42	E75S	D	73,8	76,5	85,8
8	26-02-2023 17:20:55	E195	D	69,9	71,9	82,0
8	26-02-2023 17:22:41	E190	D	70,2	73,1	81,7
8	26-02-2023 17:24:03	B38M	D	68,0	69,2	78,8
8	26-02-2023 17:25:20	E75S	D	70,5	71,6	82,5
8	26-02-2023 17:30:34	E75S	D	72,6	78,0	87,4
8	26-02-2023 17:32:35	A321	D	70,4	71,8	84,5
8	26-02-2023 17:39:56	E170	D	70,1	71,6	82,6
8	26-02-2023 17:42:10	E170	D	68,9	70,2	82,4
8	26-02-2023 17:45:56	E190	D	72,4	75,4	85,2
8	26-02-2023 17:47:23	E190	D	71,5	74,2	83,2
8	26-02-2023 17:48:47	E195	D	70,8	73,0	82,8
8	26-02-2023 17:53:59	E75S	D	69,7	70,7	81,5
8	26-02-2023 18:04:07	A321	D	68,7	70,2	82,6
8	26-02-2023 18:07:34	A321	D	70,1	71,5	84,4
8	26-02-2023 18:26:33	B38M	D	68,7	69,9	79,5
8	26-02-2023 18:31:21	E190	D	71,6	74,3	83,9
8	26-02-2023 18:34:06	CRJ9	D	70,5	73,5	84,6
8	26-02-2023 18:37:59	B738	D	70,0	72,2	82,3
8	26-02-2023 18:59:03	CRJ9	D	67,4	69,4	81,5
8	26-02-2023 19:01:41	A21N	D	70,5	72,8	82,3
8	26-02-2023 19:26:21	E190	D	71,7	74,8	86,4
8	26-02-2023 19:28:28	E190	D	71,1	74,6	83,7
8	26-02-2023 19:32:04	E195	D	68,9	71,1	82,5
8	26-02-2023 19:43:29	E190	D	70,9	74,2	83,4
8	26-02-2023 20:09:10	E170	D	72,5	76,6	86,2
8	26-02-2023 20:13:45	A20N	D	68,1	70,5	79,8
8	26-02-2023 20:15:34	E75S	D	69,1	71,3	81,2
8	26-02-2023 20:26:00	E195	D	68,7	71,4	80,7
8	26-02-2023 20:34:28	E75S	D	68,3	69,8	81,1
8	26-02-2023 20:43:45	E195	D	71,3	74,6	83,8
8	26-02-2023 20:46:32	E170	D	68,8	71,8	80,8
8	26-02-2023 20:48:06	E195	D	69,6	72,2	80,7
8	26-02-2023 20:51:11	E170	D	72,0	75,9	85,8
8	26-02-2023 20:53:33	E75S	D	69,3	71,5	81,6
8	26-02-2023 20:57:20	BCS3	D	66,1	67,8	76,1
8	26-02-2023 20:58:39	E195	D	70,2	73,3	82,7
8	26-02-2023 21:01:38	E190	D	69,8	72,4	81,6
8	26-02-2023 21:03:06	E170	D	69,7	71,8	81,8
8	26-02-2023 21:05:33	B38M	D	67,9	70,4	79,6
8	26-02-2023 21:17:06	A21N	D	69,7	72,4	82,0

Nr punktu pomiarowego	Data i godz. zdarzenia	Samolot	Operacja*	$L_{Aeq}$	$L_{Max}$	$L_{AE}$
				[dB]	[dB]	[dB]
8	26-02-2023 21:19:01	B738	D	72,1	76,1	85,1
8	26-02-2023 21:21:27	B38M	D	68,2	70,1	79,4
8	26-02-2023 21:25:40	E190	D	71,9	75,1	83,3
8	27-02-2023 06:14:38	A321	D	70,6	73,9	84,8
8	27-02-2023 06:20:21	A321	D	70,1	72,8	84,1
8	27-02-2023 06:26:06	A319	D	70,0	71,7	83,9
8	27-02-2023 06:28:12	A21N	D	69,5	71,5	82,1
8	27-02-2023 06:30:25	A21N	D	69,5	73,2	82,5
8	27-02-2023 06:33:18	B737	D	71,5	74,4	84,3
8	27-02-2023 06:48:43	A321	D	70,5	72,4	84,3
8	27-02-2023 06:51:16	A321	D	70,3	72,2	83,5
8	27-02-2023 07:06:32	E195	D	69,1	70,9	81,9
8	27-02-2023 07:13:10	A321	D	69,9	72,3	83,7
8	27-02-2023 07:19:07	E75S	D	69,9	72,0	81,4
8	27-02-2023 07:30:01	E190	D	70,9	73,8	82,7
8	27-02-2023 07:34:43	E195	D	70,7	73,6	82,7
8	27-02-2023 07:38:53	E195	D	71,3	74,4	83,1
8	27-02-2023 07:40:34	E190	D	70,3	74,5	82,1
8	27-02-2023 07:42:23	E75S	D	69,9	72,7	81,4
8	27-02-2023 07:44:05	E195	D	70,9	73,1	82,3
8	27-02-2023 07:47:39	E195	D	70,0	72,4	81,8
8	27-02-2023 07:53:01	E195	D	70,1	71,6	81,2
8	27-02-2023 07:55:03	E190	D	73,0	76,2	84,1
8	27-02-2023 07:56:39	E195	D	70,6	74,3	82,7
8	27-02-2023 07:58:18	E190	D	69,7	71,6	82,0
8	27-02-2023 08:01:15	E195	D	69,8	72,6	82,1
8	27-02-2023 08:02:59	B38M	D	70,4	72,3	81,6
8	27-02-2023 08:04:36	B38M	D	69,7	71,3	80,9
8	27-02-2023 08:06:04	E75S	D	68,6	70,8	80,9
8	27-02-2023 08:07:31	E75S	D	69,8	73,0	81,8
8	27-02-2023 08:13:51	B738	D	74,3	78,6	87,5
8	27-02-2023 08:15:12	B738	D	72,7	76,4	85,7
8	27-02-2023 08:16:40	E75S	D	70,0	71,7	82,3
8	27-02-2023 08:19:28	E75S	D	73,3	75,8	87,5
8	27-02-2023 08:22:42	E75S	D	73,9	77,7	87,5
8	27-02-2023 08:24:48	E170	D	68,1	71,0	80,1
8	27-02-2023 08:29:37	B738	D	72,5	74,5	85,9
8	27-02-2023 08:33:14	A320	D	68,7	71,1	79,5
8	27-02-2023 08:50:14	B38M	D	66,9	69,5	80,5
8	27-02-2023 08:55:08	E190	D	70,7	74,2	84,5
8	27-02-2023 09:19:14	B738	D	69,6	73,3	84,0
8	27-02-2023 09:22:12	B38M	D	67,1	68,7	79,1
8	27-02-2023 09:31:12	E170	D	71,1	73,1	82,5
8	27-02-2023 09:38:46	E75S	D	71,5	74,7	84,5
8	27-02-2023 09:44:21	P180	D	67,3	70,0	79,6
8	27-02-2023 09:47:13	A20N	D	68,3	70,5	80,1
8	27-02-2023 09:54:34	CRJ9	D	68,6	72,3	83,5
8	27-02-2023 10:06:21	E190	D	72,2	75,8	84,0
8	27-02-2023 10:07:34	E75S	D	68,2	69,4	80,2
8	27-02-2023 10:09:13	E195	D	68,0	70,1	80,5
8	27-02-2023 10:11:32	B738	D	70,6	75,9	85,7
8	27-02-2023 10:18:07	CRJ9	D	67,1	68,4	79,1
8	27-02-2023 10:35:18	E170	D	72,0	75,3	84,1
8	27-02-2023 10:40:21	E75S	D	69,6	72,2	82,2
8	27-02-2023 10:41:45	E190	D	70,1	72,8	81,2
8	27-02-2023 10:43:10	E170	D	68,2	70,4	79,7
8	27-02-2023 10:44:25	E170	D	68,9	70,9	80,6

Nr punktu pomiarowego	Data i godz. zdarzenia	Samolot	Operacja*	$L_{Aeq}$	$L_{Amax}$	$L_{AE}$
				[dB]	[dB]	[dB]
8	27-02-2023 10:46:48	E170	D	70,0	72,4	81,2
8	27-02-2023 10:55:26	E75S	D	73,1	76,7	86,3
8	27-02-2023 10:57:01	E190	D	70,8	73,5	81,9
8	27-02-2023 10:59:36	A21N	D	70,1	72,7	80,9
8	27-02-2023 11:01:08	B38M	D	70,2	72,7	82,0
8	27-02-2023 11:02:37	B38M	D	68,1	70,6	77,7
8	27-02-2023 11:05:07	E75S	D	69,6	73,8	81,1
8	27-02-2023 11:06:52	E190	D	72,0	75,7	83,8
8	27-02-2023 11:09:52	B738	D	70,3	72,9	83,8
8	27-02-2023 11:11:28	E195	D	70,2	73,8	82,2
8	27-02-2023 11:15:49	E75S	D	69,2	71,8	80,9
8	27-02-2023 11:27:42	E195	D	70,7	72,5	82,2
8	27-02-2023 11:31:37	B38M	D	67,3	68,4	76,4
8	27-02-2023 12:09:55	B738	D	71,8	73,2	84,4
8	27-02-2023 12:17:03	E75S	D	73,2	76,7	85,5
8	27-02-2023 12:19:55	A321	D	71,4	73,6	84,8
8	27-02-2023 12:26:29	A321	D	69,4	72,8	83,7
8	27-02-2023 12:53:57	B738	D	71,4	73,7	83,8
8	27-02-2023 13:02:17	E190	D	72,1	75,9	86,6
8	27-02-2023 13:04:52	A21N	D	72,0	74,5	83,8
8	27-02-2023 13:12:10	E195	D	70,7	73,6	82,5
8	27-02-2023 13:14:52	A321	D	71,0	73,5	84,4
8	27-02-2023 13:28:20	E195	D	70,0	73,0	82,3
8	27-02-2023 13:30:19	BCS3	D	68,0	71,4	80,4
8	27-02-2023 13:32:12	E190	D	73,2	77,3	84,3
8	27-02-2023 13:33:36	E75S	D	68,9	70,0	78,9
8	27-02-2023 13:34:46	E75S	D	73,1	76,3	85,6
8	27-02-2023 13:38:05	A21N	D	66,8	68,0	78,0
8	27-02-2023 13:45:00	E190	D	68,3	69,9	80,3
8	27-02-2023 13:46:16	A321	D	69,4	71,9	83,4
8	27-02-2023 13:50:12	E75S	D	69,0	71,2	80,2
8	27-02-2023 13:59:57	E170	D	69,9	71,8	81,7
8	27-02-2023 14:01:27	A319	D	70,2	72,1	82,0
8	27-02-2023 14:02:57	B38M	D	67,4	69,1	78,2
8	27-02-2023 14:08:09	E170	D	72,7	75,8	85,3
8	27-02-2023 14:22:34	B77W	D	71,0	73,9	85,0
8	27-02-2023 14:31:02	E190	D	73,8	76,8	86,1
8	27-02-2023 14:34:59	B38M	D	68,0	69,7	77,0
8	27-02-2023 14:46:13	A21N	D	69,5	71,8	82,1
8	27-02-2023 14:51:30	B744	D	71,8	74,4	86,6
8	27-02-2023 14:57:57	E195	D	69,4	72,2	81,7
8	27-02-2023 14:59:47	E195	D	70,9	75,1	83,0
8	27-02-2023 15:03:47	E75S	D	69,6	71,1	80,4
8	27-02-2023 15:05:47	E195	D	75,2	79,1	87,2
8	27-02-2023 15:07:09	E75S	D	70,3	72,7	82,3
8	27-02-2023 15:12:27	GLF5	D	71,7	75,2	82,1
8	27-02-2023 15:19:17	A321	D	69,8	72,7	83,0
8	27-02-2023 15:30:54	E170	D	70,6	72,4	82,4
8	27-02-2023 15:33:22	E75S	D	69,3	71,6	81,0
8	27-02-2023 15:41:34	E170	D	73,4	75,8	85,1
8	27-02-2023 15:43:31	E75S	D	73,9	76,3	86,0
8	27-02-2023 15:46:12	E190	D	71,1	73,3	83,2
8	27-02-2023 15:48:09	A321	D	69,5	72,3	82,5
8	27-02-2023 15:56:33	E75S	D	68,5	71,2	80,0
8	27-02-2023 16:03:39	E170	D	69,5	70,6	81,8
8	27-02-2023 16:06:08	E190	D	70,6	73,6	82,9
8	27-02-2023 16:08:38	A333	D	71,5	76,3	86,0

Nr punktu pomiarowego	Data i godz. zdarzenia	Samolot	Operacja*	$L_{Aeq}$	$L_{Amax}$	$L_{AE}$
				[dB]	[dB]	[dB]
8	27-02-2023 16:21:29	E195	D	70,2	72,1	81,3
8	27-02-2023 16:23:45	A21N	D	69,2	70,8	80,6
8	27-02-2023 16:39:23	E75S	D	72,9	75,4	85,2
8	27-02-2023 16:49:30	E75S	D	70,0	71,9	82,0
8	27-02-2023 16:55:38	E195	D	70,8	72,8	81,9
8	27-02-2023 16:57:23	E190	D	72,8	76,1	84,3
8	27-02-2023 16:58:46	E75S	D	68,4	69,9	80,7
8	27-02-2023 17:00:15	E190	D	70,4	72,7	82,2
8	27-02-2023 17:02:50	E75S	D	70,9	75,0	82,7
8	27-02-2023 17:06:19	E195	D	70,3	74,1	82,0
8	27-02-2023 17:08:05	E75S	D	70,9	73,4	83,2
8	27-02-2023 17:09:29	E75S	D	70,1	72,4	83,1
8	27-02-2023 17:13:08	E195	D	70,6	73,0	82,0
8	27-02-2023 17:16:47	E190	D	73,9	77,3	86,4
8	27-02-2023 17:19:30	B38M	D	71,9	74,9	83,6
8	27-02-2023 17:24:54	E170	D	69,4	71,2	81,4
8	27-02-2023 17:26:45	E190	D	71,2	75,0	83,0
8	27-02-2023 17:28:22	A321	D	69,5	71,7	84,5
8	27-02-2023 17:37:55	E195	D	70,5	73,4	82,6
8	27-02-2023 17:41:08	A321	D	69,5	71,4	83,0
8	27-02-2023 17:48:07	E190	D	72,4	75,3	84,7
8	27-02-2023 17:51:23	B738	D	70,9	73,5	85,8
8	27-02-2023 18:05:58	E170	D	69,3	71,1	81,6
8	27-02-2023 18:29:35	E170	D	69,6	71,5	81,9
8	27-02-2023 19:14:09	CRJ9	D	67,3	69,7	80,9
8	27-02-2023 19:18:16	A321	D	70,0	71,7	83,6
8	27-02-2023 19:37:53	B738	A	71,5	74,7	83,8
8	27-02-2023 19:40:15	E75S	A	69,7	72,2	80,8
8	27-02-2023 20:13:27	B38M	A	70,8	74,3	82,9
8	27-02-2023 20:30:44	B738	A	71,3	75,0	83,9
8	27-02-2023 20:39:29	E170	A	68,9	70,9	79,3
8	27-02-2023 20:45:08	E75S	A	68,7	70,5	79,1
8	27-02-2023 20:48:45	E170	A	69,4	71,1	79,4
8	27-02-2023 20:55:50	E190	A	70,2	73,2	82,2
8	27-02-2023 20:57:54	E75S	A	70,2	72,9	81,0
8	27-02-2023 20:59:55	E195	A	71,6	73,9	82,8
8	27-02-2023 21:12:43	E75S	A	70,1	72,2	79,7
8	27-02-2023 21:16:21	E170	A	69,3	71,0	79,7
8	27-02-2023 21:18:47	A20N	A	69,3	72,0	80,1
8	27-02-2023 21:24:37	E190	A	71,2	73,4	81,6
8	27-02-2023 21:26:27	B38M	A	69,7	72,6	81,8
8	27-02-2023 21:29:46	B38M	A	70,4	73,9	81,9
8	27-02-2023 21:32:12	E195	A	71,4	74,7	84,2
8	27-02-2023 21:43:08	E195	A	71,9	75,2	83,4
8	27-02-2023 21:45:05	E75S	A	69,3	72,3	80,4
8	27-02-2023 21:47:04	E75S	A	69,5	71,8	80,6
8	27-02-2023 21:48:56	B738	A	72,2	75,1	84,2
8	27-02-2023 21:50:53	E190	A	70,5	73,4	83,1
8	27-02-2023 21:53:15	B38M	A	70,1	73,0	81,6
8	27-02-2023 21:55:28	B38M	A	70,4	72,8	80,9
8	27-02-2023 21:57:39	E195	A	72,5	75,1	84,2
8	28-02-2023 05:59:52	A306	A	72,0	77,1	86,3
8	28-02-2023 06:02:47	B763	A	70,7	74,0	83,7
8	28-02-2023 06:05:36	E75S	A	70,0	72,4	80,5
8	28-02-2023 06:10:34	E195	A	72,2	74,5	83,4
8	28-02-2023 06:16:33	E190	A	71,4	73,5	82,2
8	28-02-2023 06:31:22	E75S	A	69,5	71,2	79,5

Nr punktu pomiarowego	Data i godz. zdarzenia	Samolot	Operacja*	$L_{Aeq}$	$L_{Amax}$	$L_{AE}$
				[dB]	[dB]	[dB]
8	28-02-2023 06:34:22	E190	A	70,3	72,1	81,4
8	28-02-2023 06:36:54	E75S	A	69,6	71,1	79,1
8	28-02-2023 07:00:53	B734	A	74,2	77,3	85,7
8	28-02-2023 07:05:11	E190	A	70,9	72,7	81,3
8	28-02-2023 07:19:14	B38M	A	70,9	73,2	81,7
8	28-02-2023 07:53:39	B38M	A	71,1	73,4	81,1
8	28-02-2023 07:55:39	E190	A	70,6	71,5	80,1
8	28-02-2023 07:58:53	TBM9	A	70,1	71,8	80,1
8	28-02-2023 08:14:44	E195	A	72,1	74,5	82,9
8	28-02-2023 08:18:40	B788	A	71,4	74,0	83,2
8	28-02-2023 08:27:32	E170	A	70,0	72,1	79,6
8	28-02-2023 08:30:23	E170	A	70,6	72,2	80,1
8	28-02-2023 08:42:27	C295	A	70,3	72,3	79,4
8	28-02-2023 08:44:28	E190	A	71,3	72,7	81,3
8	28-02-2023 08:50:21	BCS3	A	68,6	70,1	77,7
8	28-02-2023 09:02:17	E75S	A	71,5	73,5	81,5
8	28-02-2023 09:05:16	M28	A	71,1	75,0	83,2
8	28-02-2023 09:13:08	E170	A	69,8	71,9	79,8
8	28-02-2023 09:14:53	E195	A	71,9	73,7	82,3
8	28-02-2023 09:24:55	E75S	A	70,2	72,1	80,2
8	28-02-2023 09:26:44	CRJ9	A	70,1	72,3	80,6
8	28-02-2023 09:28:16	E195	A	72,7	75,7	83,5
8	28-02-2023 09:31:58	E190	A	72,0	75,1	83,1
8	28-02-2023 09:47:10	A21N	A	69,7	72,0	78,7
8	28-02-2023 09:49:16	E195	A	72,3	74,8	82,7
8	28-02-2023 09:51:16	E195	A	71,5	74,9	83,3
8	28-02-2023 09:53:09	E75S	A	70,3	71,5	79,4
8	28-02-2023 09:55:02	E75S	A	70,2	72,3	79,7
8	28-02-2023 10:26:50	B789	A	72,3	75,4	84,3
8	28-02-2023 10:34:50	E75S	A	69,7	71,4	79,2
8	28-02-2023 10:39:45	PC12	A	71,8	75,7	83,3
8	28-02-2023 10:49:48	E75S	A	70,7	73,6	81,1
8	28-02-2023 10:53:12	E170	A	70,3	71,7	80,3
8	28-02-2023 11:00:46	C295	P	70,0	72,1	80,0
8	28-02-2023 11:05:15	B77W	A	74,8	78,1	87,4
8	28-02-2023 11:24:54	E170	A	71,2	73,3	81,6
8	28-02-2023 11:31:12	A320	A	70,7	73,3	80,7
8	28-02-2023 11:40:33	E190	A	71,1	73,5	82,6
8	28-02-2023 11:47:23	B789	A	71,1	74,2	83,4
8	28-02-2023 11:57:14	E195	A	72,4	75,0	82,8
8	28-02-2023 11:58:53	A321	A	70,1	72,6	80,5
8	28-02-2023 12:01:27	B788	A	71,7	75,1	83,7
8	28-02-2023 12:03:54	E75S	A	70,0	72,1	80,0
8	28-02-2023 12:07:56	A321	A	71,0	73,7	81,4
8	28-02-2023 12:11:09	A321	A	71,3	74,2	81,7
8	28-02-2023 12:13:01	E190	A	71,8	74,1	82,2
8	28-02-2023 12:14:47	BCS3	A	69,6	71,3	79,2
8	28-02-2023 12:16:20	E195	A	72,2	75,7	84,0
8	28-02-2023 12:19:09	E190	A	71,8	73,9	81,8
8	28-02-2023 12:21:01	E75S	A	70,7	74,2	81,1
8	28-02-2023 12:22:53	E190	A	71,9	74,8	82,7
8	28-02-2023 12:24:44	E75S	A	69,4	71,7	79,4
8	28-02-2023 12:27:15	E75S	A	70,6	73,0	80,6
8	28-02-2023 12:29:31	E170	A	70,2	71,9	80,2
8	28-02-2023 12:31:35	E170	A	70,1	71,7	79,1
8	28-02-2023 12:33:57	E195	A	72,4	75,8	83,2
8	28-02-2023 12:35:32	E195	A	72,0	74,9	82,8

Nr punktu pomiarowego	Data i godz. zdarzenia	Samolot	Operacja*	$L_{Aeq}$	$L_{Amax}$	$L_{AE}$
				[dB]	[dB]	[dB]
8	28-02-2023 12:37:26	E195	A	71,6	73,8	82,0
8	28-02-2023 12:43:58	E190	A	72,4	74,0	82,4
8	28-02-2023 12:49:44	E75S	A	70,5	73,9	81,6
8	28-02-2023 12:52:21	E170	A	69,6	73,6	81,1
8	28-02-2023 12:54:39	E170	A	71,4	73,0	80,4
8	28-02-2023 12:56:48	A319	A	72,4	74,1	81,9
8	28-02-2023 13:03:57	E195	A	72,9	75,4	82,9
8	28-02-2023 13:25:23	E75S	D	73,7	75,8	85,7
8	28-02-2023 13:29:28	E190	D	71,5	75,8	83,8
8	28-02-2023 13:32:36	E170	D	69,3	71,4	81,6
8	28-02-2023 13:33:48	E195	D	70,6	72,3	82,4
8	28-02-2023 13:35:02	E75S	D	70,7	73,0	83,7
8	28-02-2023 13:40:26	B77W	D	72,3	74,9	86,1
8	28-02-2023 13:45:36	A321	D	69,5	71,8	83,1
8	28-02-2023 13:47:21	E190	D	70,7	73,5	82,4
8	28-02-2023 13:55:28	A319	D	68,2	71,6	82,0
8	28-02-2023 13:58:23	E170	D	71,3	73,4	83,0
8	28-02-2023 14:11:46	E190	D	70,9	74,0	82,3
8	28-02-2023 14:23:20	E190	D	74,3	78,8	86,8
8	28-02-2023 14:39:09	A21N	D	70,5	73,6	83,1
8	28-02-2023 14:40:35	B38M	D	68,8	70,2	77,9
8	28-02-2023 14:42:40	A21N	D	69,7	71,4	80,1
8	28-02-2023 14:56:03	E75S	D	69,3	71,9	81,8
8	28-02-2023 14:59:32	E195	D	74,4	78,4	86,2
8	28-02-2023 15:01:00	E75S	D	69,6	72,6	81,3
8	28-02-2023 15:03:24	A321	D	70,6	74,8	86,0
8	28-02-2023 15:06:49	E75S	D	70,5	72,2	82,8
8	28-02-2023 15:11:17	E195	D	71,0	73,1	82,4
8	28-02-2023 15:13:13	E195	D	68,2	70,7	82,2
8	28-02-2023 15:14:43	A321	D	69,5	72,5	83,3
8	28-02-2023 15:21:01	E75S	D	70,6	73,0	83,1
8	28-02-2023 15:29:36	E190	D	72,3	74,6	84,6
8	28-02-2023 15:38:56	E75S	D	70,7	73,3	82,8
8	28-02-2023 15:43:36	E195	D	74,3	76,8	85,8
8	28-02-2023 15:45:13	A21N	D	70,7	72,6	81,9
8	28-02-2023 15:54:35	E195	D	70,7	73,4	82,7
8	28-02-2023 15:59:23	B38M	D	68,3	70,0	78,7
8	28-02-2023 16:00:52	E190	D	72,3	74,7	84,3
8	28-02-2023 16:02:31	B788	D	68,7	70,2	80,8
8	28-02-2023 16:04:39	E170	D	71,1	74,5	83,4
8	28-02-2023 16:07:03	E75S	D	69,4	71,8	82,4
8	28-02-2023 16:09:04	E75S	D	69,5	71,5	82,5
8	28-02-2023 16:42:48	E190	D	74,3	77,4	86,3
8	28-02-2023 16:44:18	E195	D	70,2	72,8	82,0
8	28-02-2023 16:56:49	E170	D	68,0	69,2	80,0
8	28-02-2023 16:58:16	E170	D	68,7	69,7	79,4
8	28-02-2023 17:00:38	E190	D	71,0	73,2	82,8
8	28-02-2023 17:01:57	E75S	D	69,6	70,6	81,9
8	28-02-2023 17:04:44	E195	D	70,8	72,5	82,8
8	28-02-2023 17:06:34	E190	D	71,6	74,1	83,9
8	28-02-2023 17:07:59	E190	D	70,0	71,5	82,3
8	28-02-2023 17:09:59	E75S	D	73,8	76,8	86,8
8	28-02-2023 17:12:48	E75S	D	70,5	72,2	82,8
8	28-02-2023 17:14:30	E75S	D	69,9	71,3	82,2
8	28-02-2023 17:16:16	B738	D	70,0	71,9	82,0
8	28-02-2023 17:23:02	E170	D	70,2	71,3	82,3
8	28-02-2023 17:30:51	A321	D	70,9	72,0	85,1

Nr punktu pomiarowego	Data i godz. zdarzenia	Samolot	Operacja*	$L_{Aeq}$	$L_{Amax}$	$L_{AE}$
				[dB]	[dB]	[dB]
8	28-02-2023 17:32:32	B38M	D	67,5	68,0	77,9
8	28-02-2023 17:33:52	B38M	D	67,8	69,0	78,2
8	28-02-2023 17:35:41	E170	D	69,3	70,2	82,7
8	28-02-2023 17:45:02	E195	D	71,2	73,9	83,2
8	28-02-2023 17:56:13	B38M	D	68,8	69,8	79,5
8	28-02-2023 17:58:06	A321	D	69,8	71,1	83,4
8	28-02-2023 18:07:12	E170	D	70,5	72,7	83,8
8	28-02-2023 18:20:27	A321	D	69,2	70,3	83,4
8	28-02-2023 18:24:44	E75S	D	71,5	73,3	84,0
8	28-02-2023 19:03:53	A321	D	69,9	71,6	83,8
8	28-02-2023 19:21:39	E190	D	71,3	73,9	84,7
8	28-02-2023 19:35:48	E75S	D	69,9	71,4	83,3
8	28-02-2023 19:43:35	E195	D	67,4	68,7	79,7
8	28-02-2023 20:05:31	E75S	D	69,4	70,7	81,1
8	28-02-2023 20:12:48	E75S	D	69,1	70,1	81,1
8	28-02-2023 20:14:50	E190	D	70,4	72,5	81,9
8	28-02-2023 20:16:44	E75S	D	72,4	74,7	84,7
8	28-02-2023 20:21:41	E170	D	68,9	69,8	81,4
8	28-02-2023 20:24:14	E195	D	69,7	71,3	81,8
8	28-02-2023 20:27:46	E170	D	68,2	69,4	79,9
8	28-02-2023 20:29:18	E75S	D	69,2	70,5	81,5
8	28-02-2023 20:33:44	E195	D	69,7	71,7	82,5
8	28-02-2023 20:35:50	E170	D	68,6	69,5	80,7
8	28-02-2023 20:43:53	E195	D	69,3	71,1	81,6
8	28-02-2023 20:49:05	E170	D	71,2	73,0	83,5
8	28-02-2023 20:50:34	E75S	D	69,8	71,3	82,1
8	28-02-2023 20:57:09	E190	D	71,5	73,9	83,8
8	28-02-2023 21:13:17	A21N	D	68,4	69,9	81,7
8	28-02-2023 21:14:57	B38M	D	66,7	67,4	77,5

**Zestawienie zdarzeń akustycznych spowodowanych przeletami statków powietrznych w porze nocy ( przedział czasu pomiędzy godz. 22.00 – 06.00 )**

Nr punktu pomiarowego	Data i godz. zdarzenia	Samolot	Operacja*	$L_{Aeq}$	$L_{Amax}$	$L_{AE}$
				[dB]	[dB]	[dB]
8	01-02-2023 22:02:27	B38M	D	68,1	72,1	82,2
8	01-02-2023 22:20:59	B38M	D	66,1	69,7	81,3
8	01-02-2023 22:52:09	E190	D	68,9	72,6	84,2
8	01-02-2023 23:01:48	E75S	D	66,7	69,7	82,6
8	01-02-2023 23:05:52	E190	D	69,6	76,8	84,2
8	01-02-2023 23:07:47	E190	D	67,5	71,5	83,6
8	01-02-2023 23:19:57	E170	D	67,1	72,1	82,9
8	01-02-2023 23:21:40	E190	D	66,7	69,9	81,5
8	01-02-2023 23:23:11	E75S	D	69,2	73,3	84,9
8	01-02-2023 23:25:41	E195	D	69,4	75,5	85,2
8	01-02-2023 23:27:26	B38M	D	62,7	65,1	78,2
8	01-02-2023 23:30:55	B788	D	64,2	66,7	78,2
8	02-02-2023 05:43:59	B38M	D	64,3	67,8	80,4
8	02-02-2023 22:47:50	B738	D	69,2	73,1	84,3
8	02-02-2023 23:00:28	E190	D	67,6	70,7	82,8
8	02-02-2023 23:02:16	E195	D	68,2	72,8	84,0
8	02-02-2023 23:11:28	E190	D	67,2	69,7	82,1
8	02-02-2023 23:14:16	E195	D	70,7	76,6	86,3
8	02-02-2023 23:17:24	E195	D	69,2	73,4	84,8
8	02-02-2023 23:21:50	E75S	D	71,7	75,9	87,8

Nr punktu pomiarowego	Data i godz. zdarzenia	Samolot	Operacja*	$L_{Aeq}$	$L_{Amax}$	$L_{AE}$
				[dB]	[dB]	[dB]
8	02-02-2023 23:25:43	E75S	D	70,7	75,6	87,3
8	02-02-2023 23:27:12	E75S	D	69,7	74,1	84,0
8	02-02-2023 23:28:59	B38M	D	66,1	68,7	81,2
8	02-02-2023 23:33:36	E195	D	67,7	71,4	82,9
8	02-02-2023 23:39:18	E195	D	69,9	74,9	86,2
8	02-02-2023 23:43:22	B38M	D	67,2	70,2	81,4
8	03-02-2023 05:58:14	A321	D	68,0	71,3	85,4
8	03-02-2023 22:02:08	E195	A	71,3	76,6	85,9
8	03-02-2023 22:04:01	B38M	A	69,6	75,8	84,9
8	03-02-2023 22:06:09	B38M	A	70,0	74,7	84,0
8	03-02-2023 22:08:21	E190	A	69,9	73,6	83,5
8	03-02-2023 22:11:08	E75S	A	69,6	75,4	83,2
8	03-02-2023 22:13:55	E195	A	70,3	75,7	84,3
8	03-02-2023 22:16:12	A320	A	71,0	76,7	85,2
8	03-02-2023 22:18:15	E195	A	71,5	76,1	85,1
8	03-02-2023 22:20:13	E195	A	70,6	73,8	84,1
8	03-02-2023 22:22:44	E75S	A	69,3	73,5	82,9
8	03-02-2023 22:24:36	E170	A	68,4	72,9	82,6
8	03-02-2023 22:26:35	A320	A	69,5	75,3	84,2
8	03-02-2023 22:30:40	E75S	A	68,0	73,3	82,4
8	03-02-2023 22:34:39	E195	A	69,0	75,7	84,4
8	03-02-2023 22:43:11	B738	A	71,0	75,7	84,8
8	03-02-2023 22:49:02	A319	A	70,7	75,4	84,5
8	03-02-2023 22:51:39	A21N	A	68,8	73,5	82,4
8	03-02-2023 22:54:33	B38M	A	69,5	75,0	83,0
8	03-02-2023 22:59:37	A21N	A	69,7	74,7	83,6
8	03-02-2023 23:05:14	B738	A	71,1	74,8	84,7
8	03-02-2023 23:07:53	E195	A	71,1	76,8	85,4
8	03-02-2023 23:17:26	A321	A	69,9	74,4	83,2
8	03-02-2023 23:21:38	A21N	A	69,2	73,3	81,8
8	03-02-2023 23:23:57	E195	A	71,1	75,8	84,7
8	03-02-2023 23:35:24	A21N	A	68,9	73,4	82,5
8	03-02-2023 23:47:10	A321	A	69,7	74,2	82,7
8	03-02-2023 23:49:30	A321	A	69,6	75,1	83,7
8	03-02-2023 23:53:06	B38M	A	69,1	74,4	83,3
8	04-02-2023 00:17:02	A321	A	69,0	74,6	83,2
8	04-02-2023 00:20:21	E195	A	70,2	74,3	83,4
8	04-02-2023 00:22:24	A321	A	69,7	75,7	84,0
8	04-02-2023 22:21:29	B38M	D	66,2	68,7	79,4
8	04-02-2023 22:24:13	B38M	D	66,4	70,6	80,0
8	04-02-2023 22:50:22	E190	D	70,1	73,7	84,1
8	04-02-2023 23:01:42	E195	D	70,6	76,0	86,5
8	04-02-2023 23:07:11	E170	D	68,8	73,3	84,7
8	04-02-2023 23:12:12	E75S	D	68,3	72,3	84,1
8	04-02-2023 23:21:14	B38M	D	66,9	69,5	81,4
8	05-02-2023 00:42:19	B38M	D	62,1	62,9	72,5
8	05-02-2023 05:54:02	B38M	D	64,6	66,6	77,8
8	05-02-2023 22:16:24	B738	D	68,6	71,3	83,2
8	05-02-2023 22:58:57	E195	D	68,5	71,3	82,2
8	05-02-2023 23:01:46	E75S	D	68,4	70,9	84,1
8	05-02-2023 23:04:44	E195	D	67,9	70,4	82,6
8	05-02-2023 23:09:04	E195	D	69,1	71,8	82,7
8	05-02-2023 23:10:43	E195	D	71,7	75,9	86,5
8	05-02-2023 23:12:42	E190	D	71,1	75,4	86,6
8	05-02-2023 23:22:09	E170	D	64,9	66,2	78,7
8	05-02-2023 23:25:37	B38M	D	66,8	68,3	80,0
8	05-02-2023 23:29:13	E170	D	66,7	68,5	81,7

Nr punktu pomiarowego	Data i godz. zdarzenia	Samolot	Operacja*	$L_{Aeq}$	$L_{Amax}$	$L_{AE}$
				[dB]	[dB]	[dB]
8	05-02-2023 23:31:30	B38M	D	67,0	69,2	80,6
8	05-02-2023 23:33:18	E75S	D	69,8	73,2	85,4
8	05-02-2023 23:47:02	E195	D	71,8	76,1	87,0
8	06-02-2023 00:28:36	E75S	D	68,2	70,2	83,0
8	06-02-2023 05:59:30	B38M	D	66,8	68,8	80,4
8	06-02-2023 22:06:51	B738	D	67,5	69,6	83,3
8	06-02-2023 22:30:49	A332	D	71,6	76,0	88,6
8	06-02-2023 22:40:50	A306	D	69,8	72,6	86,6
8	06-02-2023 23:08:47	E190	D	71,8	75,6	86,9
8	06-02-2023 23:11:34	B38M	D	66,4	69,0	81,0
8	06-02-2023 23:14:18	E75S	D	67,0	69,1	82,3
8	06-02-2023 23:16:17	E75S	D	67,9	70,0	81,9
8	06-02-2023 23:18:41	E190	D	67,4	69,4	81,9
8	06-02-2023 23:24:08	E170	D	66,1	68,1	80,8
8	06-02-2023 23:25:44	B38M	D	66,4	68,0	80,2
8	06-02-2023 23:27:16	E75S	D	68,7	71,2	84,3
8	06-02-2023 23:29:17	E190	D	68,1	71,6	83,8
8	06-02-2023 23:31:05	E190	D	71,8	76,0	86,6
8	06-02-2023 23:33:36	E75S	D	69,1	72,3	84,9
8	06-02-2023 23:51:07	B738	D	70,4	74,6	85,5
8	07-02-2023 05:58:50	B38M	D	65,2	68,1	78,2
8	07-02-2023 22:02:10	B734	D	69,5	75,0	85,9
8	07-02-2023 22:04:01	A306	D	72,0	76,9	88,2
8	07-02-2023 22:49:39	E190	D	68,7	72,3	83,7
8	07-02-2023 22:59:47	E190	D	68,5	72,1	83,3
8	07-02-2023 23:05:32	E195	D	73,5	78,2	88,3
8	07-02-2023 23:07:13	E190	D	67,4	70,3	82,3
8	07-02-2023 23:08:56	E75S	D	71,8	75,7	87,3
8	07-02-2023 23:10:41	E75S	D	68,7	71,2	83,9
8	07-02-2023 23:13:24	E195	D	72,0	77,1	87,6
8	07-02-2023 23:14:56	E170	D	67,5	70,4	82,6
8	07-02-2023 23:18:02	B38M	D	67,3	69,8	80,9
8	07-02-2023 23:22:17	B738	D	68,7	71,5	83,2
8	07-02-2023 23:24:32	E75S	D	67,9	70,9	83,4
8	07-02-2023 23:29:32	B738	D	69,8	73,9	85,4
8	07-02-2023 23:31:38	B38M	D	67,5	69,9	80,9
8	08-02-2023 05:56:00	B38M	D	68,9	71,6	82,5
8	08-02-2023 05:57:39	A21N	D	68,4	71,8	82,5
8	08-02-2023 22:05:26	A321	A	68,4	72,6	81,8
8	08-02-2023 22:13:27	BCS3	A	67,7	71,7	81,1
8	08-02-2023 22:15:33	A21N	A	68,8	73,4	83,0
8	08-02-2023 22:18:49	A320	A	70,3	74,8	83,9
8	08-02-2023 22:23:32	B38M	A	69,0	73,1	82,2
8	08-02-2023 22:40:06	E195	A	70,4	74,0	83,8
8	08-02-2023 22:50:42	BE4W	A	64,6	66,2	76,6
8	08-02-2023 22:53:04	B38M	A	68,8	73,4	82,2
8	08-02-2023 22:54:54	A21N	A	68,8	73,5	82,8
8	08-02-2023 22:56:28	A21N	A	68,0	72,4	81,4
8	08-02-2023 23:01:38	A321	A	68,4	72,0	81,0
8	08-02-2023 23:06:07	A319	A	70,1	74,0	83,5
8	08-02-2023 23:14:56	B739	A	71,5	76,6	85,6
8	08-02-2023 23:48:25	A21N	A	68,8	73,0	82,2
8	09-02-2023 04:45:34	B789	A	69,6	73,8	83,0
8	09-02-2023 05:38:55	B763	A	69,4	74,5	84,2
8	09-02-2023 05:51:11	A306	A	71,7	77,0	86,1
8	09-02-2023 05:55:46	C680	A	65,0	66,6	76,1
8	09-02-2023 22:02:18	A321	A	68,1	71,7	80,6

Nr punktu pomiarowego	Data i godz. zdarzenia	Samolot	Operacja*	$L_{Aeq}$	$L_{Amax}$	$L_{AE}$
				[dB]	[dB]	[dB]
8	09-02-2023 22:08:39	E75S	A	67,1	70,7	79,2
8	09-02-2023 22:18:30	E195	A	69,7	73,1	82,0
8	09-02-2023 22:23:13	A320	A	69,3	74,7	83,1
8	09-02-2023 22:54:53	E195	D	66,6	70,6	80,4
8	09-02-2023 23:09:39	E195	D	66,4	70,1	81,8
8	09-02-2023 23:10:55	E195	D	67,6	72,7	82,0
8	09-02-2023 23:15:59	E195	D	69,8	75,2	86,0
8	09-02-2023 23:17:14	E195	D	67,4	71,6	82,8
8	09-02-2023 23:20:42	E190	D	66,1	70,3	81,3
8	09-02-2023 23:22:57	E170	D	64,4	66,9	78,7
8	09-02-2023 23:25:19	E170	D	69,2	72,9	84,9
8	09-02-2023 23:27:46	E75S	D	66,7	69,5	83,0
8	09-02-2023 23:29:26	E75S	D	68,7	72,9	85,5
8	09-02-2023 23:32:15	E75S	D	67,5	71,4	83,7
8	09-02-2023 23:34:51	B38M	D	64,2	66,0	79,0
8	09-02-2023 23:42:35	B738	D	69,6	74,6	85,7
8	10-02-2023 05:54:46	A321	D	66,9	71,0	84,0
8	10-02-2023 22:05:13	A306	D	68,8	71,9	84,9
8	10-02-2023 22:15:47	B38M	D	67,4	70,8	81,3
8	10-02-2023 22:55:25	E190	D	68,0	71,7	84,0
8	10-02-2023 22:57:00	E195	D	68,8	73,9	85,3
8	10-02-2023 22:59:35	E75S	D	67,2	72,1	84,2
8	10-02-2023 23:05:27	E195	D	73,1	78,8	87,6
8	10-02-2023 23:10:36	E195	D	70,9	75,6	87,8
8	10-02-2023 23:11:51	E75S	D	69,9	75,1	86,7
8	10-02-2023 23:15:02	E190	D	67,4	71,5	83,7
8	10-02-2023 23:16:34	E75S	D	66,4	69,9	83,8
8	10-02-2023 23:18:51	E170	D	66,2	70,3	82,8
8	10-02-2023 23:27:35	B738	D	69,5	73,8	86,7
8	10-02-2023 23:37:09	B38M	D	66,8	69,9	81,6
8	10-02-2023 23:53:41	B38M	D	67,1	69,9	82,7
8	11-02-2023 05:44:33	B738	D	69,7	74,3	86,6
8	11-02-2023 05:52:10	PRM1	D	66,0	71,2	81,2
8	11-02-2023 22:10:13	A21N	D	67,4	71,3	83,1
8	11-02-2023 22:11:58	B38M	D	67,2	70,3	81,7
8	11-02-2023 22:20:45	B738	D	69,5	74,5	85,6
8	11-02-2023 23:04:30	E195	D	72,1	76,6	87,9
8	11-02-2023 23:07:36	E195	D	69,4	73,5	84,0
8	11-02-2023 23:21:31	E75S	D	66,0	71,3	82,1
8	11-02-2023 23:25:45	E75S	D	70,7	77,1	87,0
8	11-02-2023 23:28:33	B38M	D	67,2	71,2	81,9
8	12-02-2023 22:18:15	E195	D	67,6	71,6	83,4
8	12-02-2023 22:24:30	B738	D	68,2	72,7	85,0
8	12-02-2023 22:57:58	E190	D	67,7	70,7	80,5
8	12-02-2023 23:00:40	E195	D	66,2	68,7	81,9
8	12-02-2023 23:08:47	E190	D	68,1	71,4	83,0
8	12-02-2023 23:10:02	E75S	D	65,5	70,2	81,7
8	12-02-2023 23:12:15	E75S	D	68,8	72,7	84,6
8	12-02-2023 23:13:42	E75S	D	66,3	69,6	80,8
8	12-02-2023 23:15:34	E195	D	66,2	68,6	81,2
8	12-02-2023 23:18:46	E190	D	64,7	67,8	80,0
8	12-02-2023 23:20:51	E195	D	68,7	71,8	82,7
8	12-02-2023 23:22:27	E75S	D	69,0	73,1	84,9
8	12-02-2023 23:23:47	E75S	D	64,5	67,0	79,6
8	12-02-2023 23:27:14	B38M	D	65,2	67,8	79,0
8	13-02-2023 00:02:30	B38M	D	64,0	67,2	78,1
8	13-02-2023 05:56:38	A321	D	68,4	73,3	84,6

Nr punktu pomiarowego	Data i godz. zdarzenia	Samolot	Operacja*	$L_{Aeq}$	$L_{Amax}$	$L_{AE}$
				[dB]	[dB]	[dB]
8	13-02-2023 22:17:40	A306	D	71,6	75,7	88,8
8	13-02-2023 23:02:12	E75S	D	68,5	72,6	84,0
8	13-02-2023 23:07:36	E75S	D	69,1	73,6	84,8
8	13-02-2023 23:08:55	E75S	D	65,2	68,3	81,2
8	13-02-2023 23:11:40	E190	D	63,8	68,1	80,2
8	13-02-2023 23:13:26	E195	D	67,1	71,9	82,6
8	13-02-2023 23:15:45	E170	D	67,2	71,2	82,5
8	13-02-2023 23:18:49	B38M	D	67,2	70,9	81,8
8	13-02-2023 23:20:07	E195	D	69,2	72,7	83,0
8	13-02-2023 23:21:35	B38M	D	65,7	68,2	79,7
8	13-02-2023 23:23:31	E75S	D	66,0	69,7	79,8
8	13-02-2023 23:25:31	E75S	D	65,3	70,3	80,9
8	14-02-2023 05:53:02	B38M	D	64,6	67,8	79,4
8	14-02-2023 22:04:43	A306	D	73,0	77,6	89,9
8	14-02-2023 22:54:19	E190	D	68,4	71,5	82,8
8	14-02-2023 23:01:44	E75S	D	67,1	70,4	82,9
8	14-02-2023 23:03:16	E190	D	70,9	74,4	84,1
8	14-02-2023 23:05:03	E195	D	72,2	78,6	87,5
8	14-02-2023 23:07:00	E195	D	72,8	78,1	87,7
8	14-02-2023 23:08:17	E75S	D	67,3	70,7	83,0
8	14-02-2023 23:09:56	E75S	D	68,4	71,5	83,0
8	14-02-2023 23:13:41	E75S	D	69,3	73,2	85,0
8	14-02-2023 23:17:01	B738	D	70,6	74,3	85,2
8	14-02-2023 23:23:45	B38M	D	66,6	69,0	80,2
8	14-02-2023 23:25:57	B38M	D	66,3	68,5	79,5
8	14-02-2023 23:29:47	E170	D	64,8	67,3	79,7
8	15-02-2023 00:09:26	B738	D	68,3	72,3	82,8
8	15-02-2023 05:47:07	B38M	D	63,8	64,7	75,9
8	15-02-2023 22:00:31	BCS3	A	68,8	72,4	82,2
8	15-02-2023 22:22:18	A21N	A	68,9	73,3	82,8
8	15-02-2023 22:28:49	A320	A	70,1	75,1	84,5
8	15-02-2023 22:32:33	E195	A	70,1	74,6	84,1
8	15-02-2023 22:43:01	A21N	A	69,2	73,8	82,8
8	15-02-2023 22:51:49	A21N	A	68,5	72,9	82,5
8	15-02-2023 23:07:04	B38M	A	69,2	74,1	82,6
8	15-02-2023 23:19:31	C17	A	77,4	84,2	93,6
8	15-02-2023 23:22:43	A321	A	69,1	74,2	82,9
8	15-02-2023 23:26:13	A21N	A	68,6	73,4	82,5
8	15-02-2023 23:37:08	B737	A	71,1	75,8	84,4
8	15-02-2023 23:44:45	A319	A	70,0	74,0	82,7
8	16-02-2023 05:35:19	B763	A	72,3	76,5	86,6
8	16-02-2023 05:39:40	B789	A	70,8	75,2	84,6
8	16-02-2023 22:09:47	B734	D	69,3	74,1	85,8
8	16-02-2023 22:22:58	B738	D	70,0	74,9	85,9
8	16-02-2023 22:54:54	E190	D	68,6	72,3	84,2
8	16-02-2023 23:03:45	E195	D	67,9	70,3	83,5
8	16-02-2023 23:05:22	E75S	D	67,3	69,7	83,6
8	16-02-2023 23:09:17	E190	D	68,0	70,6	83,5
8	16-02-2023 23:12:50	E190	D	67,4	70,3	83,3
8	16-02-2023 23:16:10	E195	D	71,3	75,6	87,3
8	16-02-2023 23:18:49	E75S	D	69,5	72,4	85,5
8	16-02-2023 23:23:03	E75S	D	65,3	67,0	80,6
8	16-02-2023 23:24:42	E190	D	71,2	75,5	87,0
8	16-02-2023 23:27:07	B38M	D	66,0	68,4	80,3
8	16-02-2023 23:28:39	B738	D	69,1	71,8	84,4
8	16-02-2023 23:30:12	E75S	D	66,9	69,8	82,8
8	16-02-2023 23:33:22	E195	D	71,5	75,8	87,3

Nr punktu pomiarowego	Data i godz. zdarzenia	Samolot	Operacja*	$L_{Aeq}$	$L_{Max}$	$L_{AE}$
				[dB]	[dB]	[dB]
8	17-02-2023 00:14:36	B738	D	70,4	73,6	85,9
8	17-02-2023 05:46:01	B38M	D	69,5	73,1	84,5
8	17-02-2023 05:48:20	A321	D	67,5	70,9	84,3
8	17-02-2023 22:16:43	B38M	D	82,9	92,2	100,7
8	17-02-2023 23:03:36	E75S	D	65,8	69,5	81,1
8	17-02-2023 23:13:46	E195	D	69,8	75,8	86,6
8	17-02-2023 23:17:40	E195	D	71,3	79,2	88,1
8	17-02-2023 23:21:14	E190	D	66,5	70,3	81,0
8	17-02-2023 23:23:54	E190	D	66,3	70,8	81,6
8	17-02-2023 23:31:31	B38M	D	64,8	69,4	80,4
8	17-02-2023 23:35:10	B38M	D	68,2	73,1	82,9
8	17-02-2023 23:37:17	E75S	D	64,1	68,1	80,5
8	17-02-2023 23:39:47	B738	D	69,7	74,4	86,2
8	17-02-2023 23:59:04	E190	D	68,2	71,1	84,0
8	18-02-2023 22:16:38	B738	D	69,6	74,4	84,7
8	18-02-2023 22:36:14	B38M	D	64,0	66,1	77,8
8	18-02-2023 22:48:19	B738	D	69,2	73,4	85,0
8	18-02-2023 23:01:30	E75S	D	69,9	74,2	87,0
8	18-02-2023 23:09:26	E195	D	71,3	76,5	87,0
8	18-02-2023 23:11:16	E190	D	67,4	71,7	82,7
8	18-02-2023 23:17:01	E75S	D	68,7	73,0	86,2
8	19-02-2023 00:15:03	B38M	D	66,8	70,4	81,6
8	19-02-2023 22:15:30	B38M	D	64,3	66,7	78,5
8	19-02-2023 22:56:51	E195	D	65,6	69,8	81,3
8	19-02-2023 22:58:48	E75S	D	65,8	68,5	80,9
8	19-02-2023 23:04:58	E75S	D	68,0	71,8	84,6
8	19-02-2023 23:07:48	E195	D	70,8	74,6	86,4
8	19-02-2023 23:11:23	E190	D	67,3	70,8	83,2
8	19-02-2023 23:13:09	E195	D	70,7	74,7	86,8
8	19-02-2023 23:16:05	E195	D	68,5	72,8	84,0
8	19-02-2023 23:17:59	E170	D	64,8	67,7	80,2
8	19-02-2023 23:20:22	E75S	D	64,6	67,3	80,7
8	19-02-2023 23:23:28	E195	D	67,7	70,2	82,9
8	19-02-2023 23:25:52	E195	D	71,2	75,8	87,3
8	19-02-2023 23:36:33	B38M	D	65,2	68,1	79,2
8	19-02-2023 23:38:42	B38M	D	64,9	67,2	78,5
8	20-02-2023 05:51:15	B38M	D	65,8	69,8	80,4
8	20-02-2023 05:53:33	A321	D	67,3	71,9	85,0
8	20-02-2023 23:31:38	E195	D	65,1	68,2	79,9
8	20-02-2023 23:33:12	E75S	D	66,1	69,2	80,8
8	20-02-2023 23:36:07	E190	D	65,4	68,7	80,1
8	20-02-2023 23:37:35	E195	D	69,2	74,2	84,7
8	20-02-2023 23:40:08	E75S	D	66,4	71,8	81,6
8	20-02-2023 23:42:13	E170	D	62,7	65,4	74,8
8	20-02-2023 23:44:10	E195	D	62,9	65,7	75,7
8	20-02-2023 23:46:07	B38M	D	64,9	68,3	81,1
8	20-02-2023 23:53:11	E190	D	66,3	71,2	81,1
8	21-02-2023 00:01:24	B38M	D	65,0	68,6	80,8
8	21-02-2023 05:57:25	A21N	D	65,7	68,9	80,6
8	21-02-2023 22:08:06	A306	D	70,5	75,4	87,3
8	21-02-2023 22:46:21	E75S	D	67,3	72,6	83,0
8	21-02-2023 23:05:31	E195	D	70,0	75,0	86,2
8	21-02-2023 23:06:57	E190	D	66,1	69,3	81,9
8	21-02-2023 23:08:12	E75S	D	67,6	72,0	84,5
8	21-02-2023 23:10:01	B38M	D	66,7	68,7	80,9
8	21-02-2023 23:11:46	E75S	D	66,3	69,8	82,9
8	21-02-2023 23:13:32	E195	D	68,2	72,3	84,1

Nr punktu pomiarowego	Data i godz. zdarzenia	Samolot	Operacja*	L <sub>Aeq</sub>	L <sub>Max</sub>	L <sub>AE</sub>
				[dB]	[dB]	[dB]
8	21-02-2023 23:15:38	E195	D	72,1	77,0	88,3
8	21-02-2023 23:20:23	B738	D	68,8	72,8	83,2
8	21-02-2023 23:21:40	E75S	D	70,3	74,2	86,5
8	21-02-2023 23:23:11	B738	D	69,7	73,7	85,4
8	21-02-2023 23:24:50	E170	D	65,6	67,8	79,9
8	21-02-2023 23:26:44	B38M	D	67,1	70,4	81,9
8	22-02-2023 00:28:29	A21N	D	67,1	68,9	80,3
8	22-02-2023 05:53:18	A21N	D	65,2	67,3	76,7
8	22-02-2023 22:11:01	A306	D	71,5	75,7	87,0
8	22-02-2023 22:13:55	B38M	D	66,2	67,7	78,5
8	22-02-2023 22:24:43	E195	A	70,6	74,9	83,8
8	22-02-2023 22:27:28	A319	A	68,8	73,8	82,7
8	22-02-2023 22:30:49	C17	A	73,7	79,5	90,6
8	22-02-2023 22:33:50	A321	A	70,3	75,6	82,3
8	22-02-2023 22:49:53	A21N	A	70,3	76,7	85,0
8	22-02-2023 22:59:49	C295	A	68,3	72,8	81,1
8	22-02-2023 23:05:25	B737	A	69,9	74,5	83,7
8	22-02-2023 23:39:43	A321	A	68,0	72,9	81,6
8	22-02-2023 23:43:18	B38M	A	68,6	73,4	82,6
8	22-02-2023 23:50:31	A21N	A	68,4	71,7	81,2
8	23-02-2023 00:44:54	A21N	A	69,6	74,2	82,1
8	23-02-2023 05:21:30	C17	A	76,6	84,2	93,3
8	23-02-2023 05:48:26	B763	A	72,2	78,0	88,5
8	23-02-2023 05:56:45	A306	A	74,7	81,2	89,8
8	23-02-2023 05:58:21	B789	A	71,1	76,3	85,9
8	23-02-2023 22:00:23	E75S	A	68,5	72,9	81,1
8	23-02-2023 22:03:08	E195	A	70,2	74,9	83,4
8	23-02-2023 22:11:37	B38M	A	70,9	75,7	83,9
8	23-02-2023 22:13:49	E195	A	70,3	76,1	84,1
8	23-02-2023 22:16:26	A320	A	69,3	75,7	84,0
8	23-02-2023 22:18:56	E190	A	69,5	74,2	83,4
8	23-02-2023 22:21:16	BCS3	A	68,2	72,7	81,0
8	23-02-2023 22:23:38	E195	A	69,3	74,8	83,3
8	23-02-2023 22:26:23	A321	A	69,0	73,6	82,4
8	23-02-2023 22:31:01	A319	A	70,7	75,7	83,9
8	23-02-2023 22:49:47	A321	A	69,3	73,4	82,3
8	23-02-2023 23:00:13	A321	A	69,2	73,3	81,8
8	23-02-2023 23:05:14	B737	A	70,2	74,3	83,6
8	23-02-2023 23:12:04	A321	A	69,3	73,6	82,3
8	23-02-2023 23:15:58	A21N	A	68,3	72,1	80,6
8	23-02-2023 23:32:24	A21N	A	68,1	72,6	80,9
8	23-02-2023 23:36:12	A21N	A	68,2	72,9	81,8
8	24-02-2023 05:35:43	B763	A	72,5	79,3	87,6
8	24-02-2023 05:42:02	A306	A	72,9	77,6	86,7
8	24-02-2023 05:58:57	A21N	A	69,1	74,8	83,7
8	24-02-2023 22:03:19	A306	D	72,2	76,0	89,3
8	24-02-2023 22:09:50	A321	D	68,9	71,4	85,0
8	24-02-2023 22:18:22	B38M	D	67,7	69,6	81,3
8	24-02-2023 22:55:41	E190	D	68,3	71,7	83,4
8	24-02-2023 22:58:11	E195	D	72,4	76,9	87,7
8	24-02-2023 22:59:31	E75S	D	68,6	73,4	83,9
8	24-02-2023 23:04:36	E195	D	68,7	72,5	84,9
8	24-02-2023 23:06:06	E190	D	68,9	73,4	84,1
8	24-02-2023 23:09:31	E190	D	70,2	74,7	85,6
8	24-02-2023 23:16:02	E195	D	72,0	76,7	87,8
8	24-02-2023 23:17:23	E75S	D	68,8	72,2	84,5
8	24-02-2023 23:19:06	E190	D	70,8	75,0	86,4

Nr punktu pomiarowego	Data i godz. zdarzenia	Samolot	Operacja*	$L_{Aeq}$	$L_{Amax}$	$L_{AE}$
				[dB]	[dB]	[dB]
8	24-02-2023 23:22:28	B38M	D	67,1	72,1	82,5
8	24-02-2023 23:24:35	B38M	D	67,9	71,9	82,9
8	24-02-2023 23:38:08	B38M	D	67,8	71,0	82,9
8	25-02-2023 05:59:06	A321	D	67,7	71,1	83,4
8	25-02-2023 22:04:36	B38M	D	65,9	69,7	79,9
8	25-02-2023 22:17:27	B38M	D	67,3	70,7	81,5
8	25-02-2023 22:19:40	B38M	D	66,9	69,9	81,5
8	25-02-2023 22:56:44	E190	D	68,3	72,9	82,3
8	25-02-2023 23:06:27	E75S	D	70,8	75,8	87,4
8	25-02-2023 23:14:30	E195	D	72,1	77,7	87,7
8	25-02-2023 23:17:09	E75S	D	67,9	71,7	84,4
8	25-02-2023 23:43:43	B38M	D	66,8	71,5	81,6
8	26-02-2023 05:56:14	B738	D	71,0	74,8	86,8
8	26-02-2023 05:59:22	A21N	D	67,3	71,7	82,5
8	26-02-2023 22:49:54	B738	D	68,6	72,4	83,8
8	26-02-2023 22:52:38	E190	D	68,6	71,9	83,2
8	26-02-2023 22:58:04	E195	D	68,0	70,6	82,0
8	26-02-2023 23:04:53	E75S	D	68,3	71,1	84,1
8	26-02-2023 23:06:37	E190	D	70,2	74,7	84,7
8	26-02-2023 23:14:02	E75S	D	73,2	76,7	86,9
8	26-02-2023 23:16:20	E75S	D	67,4	70,5	81,7
8	26-02-2023 23:21:25	E75S	D	70,4	74,6	86,3
8	26-02-2023 23:23:37	E195	D	72,3	77,0	87,7
8	26-02-2023 23:26:45	E195	D	69,2	72,5	83,4
8	26-02-2023 23:28:50	E195	D	73,1	78,4	88,6
8	27-02-2023 05:56:28	B38M	D	68,7	71,8	82,3
8	27-02-2023 05:59:10	A21N	D	67,8	71,0	81,3
8	27-02-2023 22:08:38	BCS3	A	67,7	72,1	81,5
8	27-02-2023 22:20:03	A319	A	69,0	73,1	82,2
8	27-02-2023 22:22:01	A320	A	69,6	74,8	83,6
8	27-02-2023 22:25:04	A321	A	68,1	71,6	80,4
8	27-02-2023 22:31:41	E195	A	69,7	73,8	82,9
8	27-02-2023 22:34:36	A21N	A	68,5	73,2	82,5
8	27-02-2023 22:48:59	A21N	A	69,3	73,3	82,1
8	27-02-2023 22:50:50	A21N	A	67,9	71,8	80,5
8	27-02-2023 22:53:39	A21N	A	67,2	71,6	80,6
8	27-02-2023 22:55:28	A321	A	68,7	72,6	81,2
8	27-02-2023 22:57:59	GA5C	A	65,3	67,2	75,3
8	27-02-2023 23:02:19	A321	A	68,5	72,8	81,5
8	27-02-2023 23:08:50	B38M	A	68,6	72,1	81,4
8	27-02-2023 23:17:08	B737	A	69,0	73,1	82,3
8	27-02-2023 23:34:22	A321	A	68,8	73,1	81,6
8	28-02-2023 00:15:08	A321	A	68,3	72,1	80,4
8	28-02-2023 05:37:08	B38M	A	68,9	73,0	82,0
8	28-02-2023 05:52:24	E75S	A	67,7	71,0	80,2
8	28-02-2023 21:59:59	B734	D	70,7	73,1	84,9
8	28-02-2023 22:14:53	A306	D	69,0	72,6	84,9
8	28-02-2023 22:58:57	E75S	D	65,6	67,6	80,7
8	28-02-2023 23:01:07	E190	D	65,8	67,8	79,8
8	28-02-2023 23:10:32	E75S	D	64,9	66,1	79,2
8	28-02-2023 23:12:02	B38M	D	64,8	67,1	78,6
8	28-02-2023 23:16:48	E75S	D	63,4	65,5	77,4
8	28-02-2023 23:19:13	E190	D	66,8	69,2	80,0
8	28-02-2023 23:21:08	E195	D	72,0	76,2	86,6
8	28-02-2023 23:23:23	E75S	D	68,9	71,9	84,2
8	28-02-2023 23:24:56	E75S	D	66,5	68,6	81,4
8	28-02-2023 23:28:29	B738	D	67,1	69,1	81,4

Nr punktu pomiarowego	Data i godz. zdarzenia	Samolot	Operacja*	$L_{Aeq}$	$L_{Amax}$	$L_{AE}$
				[dB]	[dB]	[dB]
8	28-02-2023 23:32:25	E190	D	69,8	72,8	84,2
8	28-02-2023 23:34:00	B738	D	68,4	71,4	83,0
8	28-02-2023 23:49:11	B38M	D	64,1	65,0	76,7

## LEGENDA

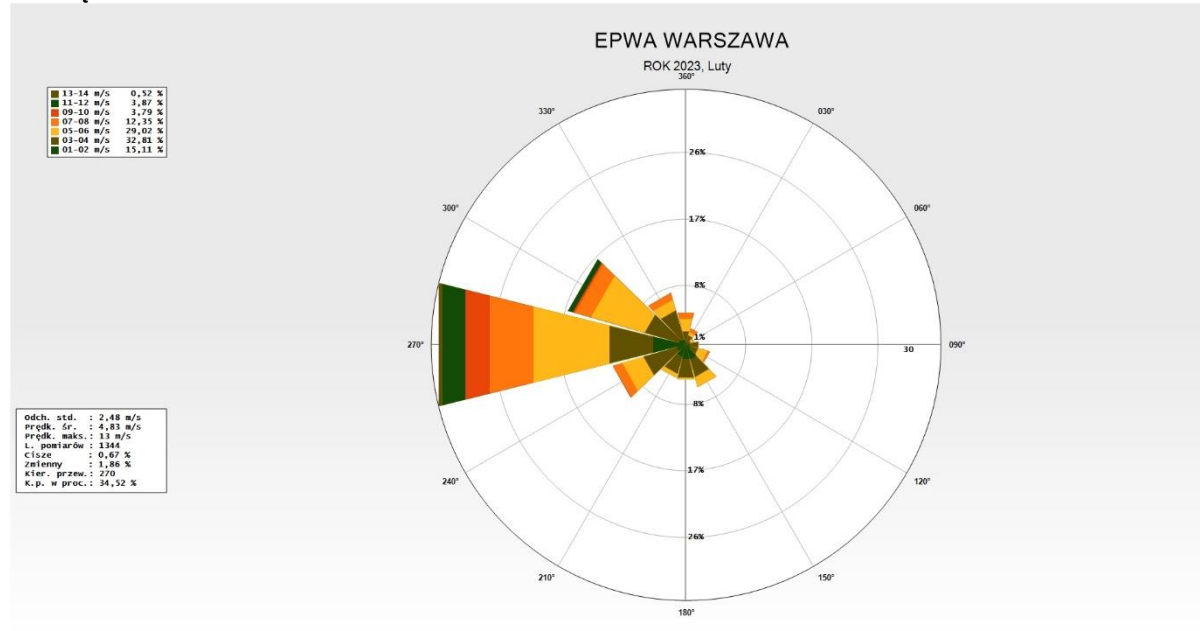
- Samolot – typ statku powietrznego
- Operacja: A – lądowanie, D – start, P - przelot
- $L_{Aeq}$  – równoważny poziom dźwięku dla zdarzenia akustycznego
- $L_{Amax}$  – maksymalny poziom dźwięku dla zdarzenia akustycznego
- $L_{AE}$  – ekspozycyjny poziom dźwięku dla zdarzenia akustycznego
- Kolorem niebieskim oznaczono zdarzenia akustyczne, które miały miejsce w czasie gdy nie były spełnione warunki meteorologiczne<sup>1</sup>, a także wystąpiły zakłócenia od innych źródeł hałasu.

## WARUNKI METEOROLOGICZNE DLA LOTNISKA:

Ustalane na wysokości: 106,51 m n.p.m

Wielkości ustalane	<b>Wartości maksymalne</b>	<b>Wartości minimalne</b>	<b>Wartości średnie miesięczne</b>
	w danym miesiącu	w danym miesiącu	
Temperatura [°C]	9,9	-8,7	1,4
Wilgotność względna [%]	99	46	81
Ciśnienie atmosferyczne [hPa]	1033,0	978,5	1008,6

## Miesięczna róża wiatrów



<sup>1</sup> Warunki meteorologiczne określone w punkcie D "Referencyjnej metodyki wykonywania ciągłych pomiarów poziomów hałasu wprowadzanego do środowiska przez starty, lądowania i przeloty statków powietrznych w związku z eksploatacją lotnisk oraz kryteria lokalizacji punktów pomiarowych" (Załącznik nr 1 do rozporządzenia Ministra Środowiska z dnia 16 czerwca 2011 r. w sprawie wymagań w zakresie prowadzenia pomiarów poziomów substancji lub energii w środowisku przez zarządzającego drogą, linią kolejową, linią tramwajową, lotniskiem lub portem).